

TUGAS AKHIR

ANALISIS DEBIT BANJIR DAN MITIGASINYA MENGGUNAKAN APLIKASI EARLY WARNING SYSTEM (EWS) KOTA JAMBI



*Dibuat Untuk Memenuhi Persyaratan Program Strata Satu S-1 Program Studi Teknik Sipil
Pada Fakultas Teknik Universitas Batanghari*



**PROGRAM STUDI TEKNIK SIPIL
FAKULTAS TEKNIK
UNIVERSITAS BATANGHARI
2025**

TUGAS AKHIR
ANALISIS DEBIT BANJIR DAN MITIGASINYA MENGGUNAKAN
APLIKASI EARLY WARNING SYSTEM (EWS) DI KOTA JAMBI



Disusun Oleh:

CUILLIN RAHIMADAN NISA

NPM: 20098322011116

Dengan ini Dosen Pembimbing Tugas Akhir Program Studi Teknik Sipil Fakultas Teknik Universitas Batanghari menyatakan Tugas Akhir dengan judul dan penyusunan sebagaimana diatas telah disetujui sesuai prosedur, ketentuan dan kelaziman yang berlaku dan dapat diajukan dalam Seminar Tugas Akhir Program Strata Satu (S-1) Program Studi Teknik Sipil Fakultas Teknik Universitas Batanghari.

Jambi,

2025

Dosen Pembimbing I

Ir. Wari Dony, ST., MT.

Dosen Pembimbing II

Ir. H. Wirva Murad, MM.

HALAMAN PENGESAHAN

ANALISIS DEBIT BANJIR DAN MITIGASINYA MENGGUNAKAN APLIKASI EARLY WARNING SYSTEM (EWS) DI KOTA JAMBI

Tugas akhir dengan judul diatas tersebut telah dipertahankan di hadapan panitia penguji Tugas Akhir dan Komprehensif Program strata (S1) Jurusan Teknik Sipil Fakultas Teknik Universitas Batanghari Jambi.

Nama Mahasiswa : CELLINE RAMADAN NISA

NPM : 2000822201116

Hari dan Tanggal : Jumat, 21 Februari 2025

Pukul : 10.00 WIB s/d Selesai

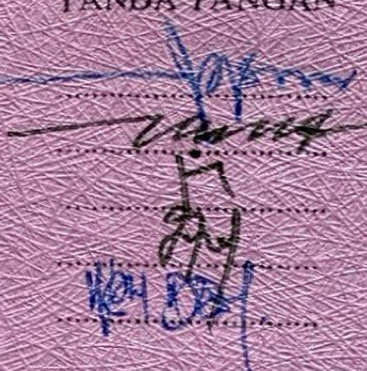
Tempat : Ruang Sidang Fakultas Teknik Universitas Batanghari

JABATAN

NAMA

TANDA TANGAN

- | | |
|----------------|-------------------------------------|
| 1. KETUA | : Suhendra, ST, MT |
| 2. SEKRETARIS | : Ir. H. Wirya Murad, MM |
| 3. PENGUJI I | : Dr. Ir. H. Fakhru Rozi Yamali, ME |
| 4. PENGUJI II | : Ari Setiawan, ST, MT |
| 5. PENGUJI III | : Ir. Wardi Dony, ST, MT |



Disahkan Oleh :

Dekan Fakultas Teknik



Dr. Ir. H. Fakhru Rozi Yamali, ME.

Ketua Program Studi Teknik Sipil



Dr. Ir. Hery Handayani, SE, MT.

HALAMAN PERNYATAAN KEASLIAN

Saya yang bertanda tangan di bawah ini:

Nama : CELLINE RAMADAN NISA

NPM : 2000822201116

Program Studi : Teknik Sipil

Fakultas : Teknik

Judul : Analisis Debit Banjir Dan Mitigasinya Menggunakan
Aplikasi Early Warning System (EWS) Di Kota Jambi

Menyatakan bahwa Laporan Tugas Akhir saya merupakan hasil karya saya sendiri didampingi tim pembimbing dan bukan hasil penjiplakan/plagiat dalam Laporan Tugas Akhir ini, maka saya bersedia menerima sanksi akademik dari Universitas Batanghari sesuai aturan yang berlaku.

Demikian pernyataan ini saya buat dalam keadaan sadar dan tanpa ada paksaan dari siapapun.

Jambi,

2025



CELLINE RAMADAN NISA
2000822201116

ABSTRAK

Indonesia merupakan negara tropis yang sering mengalami perubahan cuaca ekstrem, salah satunya adalah musim hujan berkepanjangan yang meningkatkan risiko terjadinya banjir. Kota Jambi, yang dilintasi oleh Sungai Batanghari, merupakan daerah yang rentan terhadap bencana banjir akibat tingginya curah hujan dan perubahan tata guna lahan di Daerah Aliran Sungai (DAS). Penelitian ini bertujuan untuk menghitung debit banjir pada Sungai Batanghari dalam periode 10 tahun serta menganalisis peran Early Warning System (EWS) dalam mendeteksi dan memberikan peringatan dini berdasarkan data tinggi muka air. Metode yang digunakan dalam penelitian ini meliputi Metode Rasional, Analisis Distribusi dan Frekuensi, serta analisis notifikasi peringatan EWS berdasarkan tinggi muka air. Berdasarkan hasil penelitian, intensitas curah hujan dengan durasi 60 menit dalam periode 10 tahun (2014-2023) adalah sebesar 138,795 mm, sementara debit banjir Sungai Batanghari dengan periode ulang 10 tahun adalah sebesar $127,585 \text{ m}^3/\text{detik}$. Pada kondisi debit tersebut, tinggi muka air Sungai Batanghari dapat mencapai 10 meter. Saat terjadi banjir, tinggi muka air dapat meningkat hingga 13 meter atau lebih, yang merupakan ambang batas aktivasi sistem Early Warning System untuk memberikan notifikasi peringatan kepada masyarakat.

Kata Kunci: Banjir, Debit Banjir, Early Warning System, Kota Jambi, Mitigasi Bencana

ABSTRACT

Indonesia is a tropical country that frequently experiences extreme weather changes, including prolonged rainy seasons that increase the risk of flooding. Jambi City, traversed by the Batanghari River, is vulnerable to flooding due to high rainfall and land-use changes in the Watershed (DAS). This study aims to calculate the flood discharge of the Batanghari River over a 10-year period and analyze the role of the Early Warning System (EWS) in detecting and providing early warnings based on water level data. The methods used in this study include the Rational Method, Distribution and Frequency Analysis, and Early Warning System notification analysis based on water level height. The results show that the rainfall intensity for a 60-minute duration over a 10-year period (2014-2023) is 138.795 mm, while the flood discharge of the Batanghari River with a 10-year return period is 127.585 m³/second. At this discharge condition, the Batanghari River's water level can reach 10 meters. During floods, the water level can rise to 13 meters or more, which is the threshold for activating the Early Warning system to issue warning notifications to the public.

Keywords: Flood, Flood Discharge, Early Warning System, Jambi City, Disaster Mitigation

MOTTO

“... tetapi boleh jadi kamu tidak menyukai sesuatu, padahal itu baik bagimu,
dan boleh jadi kamu menyukai sesuatu, padahal itu tidak baik bagimu.

Allah mengetahui, sedang kamu tidak mengetahui.”

(QS Al-Baqarah: 216)

“Apa yang menjadi milikmu akan kamu temukan sendirinya.”

(Ali bin Abi Thalib)

“When you want something, all the universe conspires to help you achieve it”

(Paulo Coelho)

“As time goes on, you'll understand. What lasts. Lasts; what doest, doesnt.

Time solve most things. And what time can't solve, you have to solve
yourself”

(Haruki Murakami)

“Long story short, i survived”

(Taylor Swift)

KATA PENGANTAR

Puji dan syukur Penulis panjatkan kepada Allah SWT, yang telah melimpahkan rahmat dan karunia-Nya, sehingga Penulis dapat menyelesaikan Proposal Penelitian ini yaitu “Analisis Debit Banjir dan Mitigasinya Menggunakan Aplikasi Early Warning System (EWS) di Kota Jambi”.

Adapun maksud dan tujuan dalam penyusunan proposal penelitian ini adalah untuk memenuhi salah satu syarat untuk menempuh Program Strata I guna memperoleh gelar Sarjana Teknik pada Program Studi Teknik Sipil Universitas Batanghari.

Dalam proses penyusunan proposal penelitian ini penulis banyak sekali mendapatkan dukungan baik secara langsung maupun tidak langsung sehingga penulis mampu menyelesaikan proposal penelitian ini. Dalam kesempatan ini juga penulis ingin mengucapkan rasa terimakasih kepada :

1. Keluarga tercinta, khususnya kedua orang tua penulis Bapak Asrul dan Ibu Nurwasiah serta Nenek tercinta, Ibu Husna yang telah memberikan kasih sayang dukungan yang amat sangat banyak baik secara materil ataupun moril, serta saudara/i tersayang yaitu Silva Nabila Putri, Dinda Karin Azzahra, Muhammad Exsel Ruliyando yang selalu mendoakan, memotivasi dan memberikan semangat kepada penulis
2. Bapak Dr. Ir. H. Fakhrul Rozi Yamali, ME. Selaku Dekan Fakultas Teknik Universitas Batanghari.
3. Ibu Elvira Handayani, ST, MT. Selaku Ketua Program Studi Teknik Sipil Universitas Batanghari.
4. Bapak Ir. Wari Dony, ST, MT. Selaku Dosen Pembimbing I yang telah memberikan bimbingan dan saran sepenuh hati serta meluangkan waktu demi menyempurnakan proposal tugas akhir ini.
5. Bapak Ir. H. Wirya Murad, MM. Selaku Dosen Pembimbing II yang telah memberikan bimbingan dan saran sepenuh hati serta meluangkan waktu demi menyempurnakan proposal tugas akhir ini
6. Keluarga Besar Beruyut H. Samsuri, yang tiada hentinya memberikan semangat

dan motivasi kepada penulis.

7. Kakak-kakak dan Adik tersayang, yaitu Anggun Nitami, Oktania, Reka Maulia, dan Najwa Nurmala Putri yang selalu memberikan dukungan materil maupun moril kepada penulis.
8. Sasqia Syalsabilla, selaku sahabat serta saudara bagi penulis selama di perantauan.
9. Amelia Kartika Sitrorus, selaku Rekan serta Saudara bagi penulis selama di perantauan.
10. Teman-teman angkatan 2020 Prodi Teknik Sipil Universitas Batanghari, terkhusus teman seperjuangan yaitu Aslamia Pardede, Azizah Hairun Nissa, Nurgusti Larasati, Keysha Alivia serta yang tidak bisa disebutkan namanya satu persatu yang telah banyak membantu serta memberikan semangat yang tiada henti kepada penulis.

Akhir kata penulis mengucapkan terima kasih kepada seluruh pihak yang telah turut serta membantu penulis dalam melakukan penulisan proposal penelitian ini dan semoga penulisan proposal penelitian ini dapat memberikan manfaat bagi penulis khususnya dan pembaca umumnya. Semoga semua bantuan, dorongan dan bimbingan yang telah diberikan ini akan mendapat balasan dari Allah SWT.

Jambi, 2025

CELLIN RAMADAN NISA
200082220116

DAFTAR ISI

HALAMAN PERSETUJUAN	ii
HALAMAN PENGESAHAN.....	iii
HALAMAN KEASLIAN	iv
ABSTRAK.....	v
M O T T O.....	vii
KATA PENGANTAR	viii
DAFTAR ISI	x
DAFTAR GAMBAR	xiii
DAFTAR TABEL.....	xiv
DAFTAR NOTASI	xvii
BAB I PENDAHULUAN.....	1
1.1 Latar Belakang	1
1.2 Rumusan Masalah	5
1.3 Tujuan Penelitian.....	5
1.4 Manfaat Penelitian	5
1.5 Batasan Masalah.....	6
BAB II LANDASAN TEORI.....	7
2.1 Definisi Analisis	7
2.2 Banjir.....	7
2.2.1 Jenis-Jenis Banjir.....	8
2.2.2 Faktor Terjadinya Banjir	9
2.2.3 Parameter terjadinya potensi banjir.....	10
2.3 Elevasi	11
2.4 Kemiringan Lereng	11
2.5 topografi	11
2.6 Kemiringan Lereng	11
2.7 Hidrologi	12
2.8 Mitigasi.....	14
2.9 Sungai.....	16
2.9.1 Daerah Aliran Sungai	17
2.9.2 Debit Banjir Rencana.....	19

2.10 Analisa Curah Hujan	20
2.10.1 Metode Rata-rata aljabar	20
2.10.2 Metode Poligon Thiessen.....	21
2.10.3 Metode Isohyet.....	23
2.11 Analisa frekuensi dan probabilitas	24
2.10.1 Metode Distribusi Normal.....	24
2.10.2 Metode Distribusi Log Normal	26
2.10.3 Metode Distribusi Log-Pearson Type III	26
2.10.4 Metode Gumbel.....	28
2.12 Uji Kecocokan Dsitribusi.....	30
2.13 Uji Chi-kuadrat.....	31
2.14 Koefisien Limpasan.....	32
2.15 Waktu Konsentrasi (tc)	33
2.16 Intensitas Curah Hujan	34
2.17 Periode Ulang Hujan.....	35
2.18 Perhitungan Debit Banjir Rencana	36
2.19 Koefisien Kekasarmanessan manning untuk tinggi muka air	36
2.20 Early Warning System	38
2.20.1 Tujuan <i>Early Warning System</i>	41
2.20.2 Target <i>Early Warning System</i>	41
2.20.3 <i>Close Circuit Television (CCTV)</i>	42
2.20.4 <i>Automatic Rain Recorder (ARR)</i>	43
2.20.5 <i>Automatic Water Level Recorder (AWLR)</i>	43
2.20.6 <i>Antena Global System (GSM)</i>	47
2.20.7 <i>Antena Global Positioning System (GPS)</i>	48
2.20.8 Telemetri	48
2.20.9 Data Logger	49
2.20.10 Solar Cell	50
2.21 Penelitian Terdahulu	53
BAB III METODOLOGI PENELITIAN	55
3.1 Studi Pendahuluan	55
3.2 Studi Literatur	55

3.3 Lokasi Penelitian	56
3.4 Jenis Penelitian.....	56
3.5 Teknik Pengumpulan Data.....	57
3.6 Metode penelitian	57
3.7 Pengumpulan data	58
3.8 Tahapan Penelitian.....	58
3.9 Bagan Alir	59
BAB IV ANALISA DAN PEMBAHASAN.....	61
4.1 Deskripsi Data	61
4.2 Analisa Curah Hujan	61
4.2.1 Curah Hujan Bulanan Maksimum.....	61
4.3 Analisis Distribusi Curah Hujan.....	65
4.3.1 Penentuan Jenis Distribusi.....	65
4.3.1.1 Metode Distribusi Normal	65
4.3.1.2 Metode Distribusi Log Normal	68
4.3.1.3 Metode Distribusi Log Pearson Type III	71
4.3.1.4 Metode Distribusi Gumbel.....	74
4.4 Perhitungan intensitas curah hujan.....	80
4.5 Mencari Kecepatan Aliran dan Kemiringan Saluran.....	119
4.6 Mencari Koefisien Pengaliran (C).....	120
4.7 Perhitungan waktu Konsentrasi	120
4.8 Tangkapan air hujan.....	121
4.9 Perhitungan Debit banjir	122
4.10 Analisa tinggi muka air	122
BAB V KESIMPULAN DAN SARAN.....	125
5.1 kesimpulan.....	125
5.2 Saran.....	125
DAFTAR PUSTAKA.....	127

DAFTAR GAMBAR

Gambar 2.1 Siklus Hidrologi	13
Gambar 2.2 Peta Daerah Aliran Sungai Batanghari.....	19
Gambar 2.3 Metode Poligon thiessen	22
Gambar 2.4 Metode Isohyet.....	23
Gambar 2.5 <i>Close Circuit Television (CCTV)</i>	42
Gambar 2.6 <i>Automatic Rain Recorder (ARR)</i>	44
Gambar 2.7 <i>Automatic Water Level Recorder (AWLR)</i>	45
Gambar 2.8 Telemetri.....	49
Gambar 2.9 <i>Solar Cell</i>	51
Gambar 3.1 Lokasi Penelitian dan penempatan alat	49
Gambar 3.2 Bagan alir penelitian.....	49
Gambar 4.1 Panjang Sungai Existing.....	68
Gambar 4.2 Grafik Distribusi Normal.....	68
Gambar 4.3 Grafik Distribusi Log Normal	71
Gambar 4.4 Grafik Distribusi Log Pearson III.....	74
Gambar 4.5 Grafik Distribusi Gumbel	77
Gambar 4.6 Rekapitulasi Analisis Curah Hujan.....	78
Gambar 4.7 Grafik Intensitas Durasi Metode <i>Talbot</i>	94
Gambar 4.8 Grafik Intensitas Durasi Metode <i>Ishiguo</i>	96
Gambar 4.9 Grafik Intensitas Durasi Metode <i>Sherman</i>	98
Gambar 4.10 Grafik Intensitas Durasi Tiga Metode	106

DAFTAR TABEL

Tabel 2.1 Nilai Variabel Reduksi Gauss	26
Tabel 2.2 <i>Reduced Mean</i> , Y_{nr} Sebagai Fungsi Periode Ulang	29
Tabel 2.3 <i>Reduced Variate</i> , Y_{Tr} Sebagai Fungsi Periode Ulang	29
Tabel 2.4 <i>Reduced Standard Deviation</i> , S_n	30
Tabel 2.5 Koefisien Limpasan.....	31
Tabel 2.6 Periode Ulang Yang Disyaratkan	35
Tabel 2.7 Koefisien Manning	57
Tabel 2.9 Klasifikasi Curah Hujan 24 jam	44
Tabel 2.10 Nilai Standar Deviasi	51
Tabel 2.11 Nilai Korelasi spearman	52
Tabel 2.12 Penelitian Terdahulu	53
Tabel 4.1 Data Curah Hujan Maksimum Bulanan Stasiun Meteorologi Sultan Thaha Jambi.....	62
Tabel 4.2 Curah hujan rata-rata	64
Tabel 4.3 Curah Hujan Maksimum tahunan	64
Tabel 4.4 Curah Hujan Maksimum Bulanan.....	64
Tabel 4.5 Perhitungan Variabel Dispersi Distribusi Normal	66
Tabel 4.6 Analisa Curah Hujan Rencana dengan Distribusi Normal	67
Tabel 4.7 Perhitungan Variabel Dispersi Distribusi Log Normal	68

Tabel 4.8 Analisa Curah Hujan Rencana dengan Distribusi Log Normal ...	70
Tabel 4.9 Analisa Curah Hujan Rencana dengan Distribusi Log Person III.	70
Tabel 4.10 Nilai K hasil distribusi log person III.....	73
Tabel 4.11 Analisa Curah Hujan Rencana dengan Distribusi Log.....	73
Tabel 4.10 Perhitungan Variable Disperse Distribusi Gumbel	74
Tabel 4.11 Analisa Curah Hujan Rencana dengan Distribusi Gumbel	76
Tabel 4.12 Hasil Analisis Frekuensi.....	77
Tabel 4.13 Rekapitulasi Analisis Curah Hujan Rencana Maksimum (4 Metode)	78
Tabel 4.14 Perbandingan Hasil Dispersi	79
Tabel 4.15 Hasil Uji Distribusi.....	79
Tabel 4.17 Perhitungan Intensitas Curah Hujan Periode Ulang 2 Tahun....	81
Tabel 4.18 Perhitungan Intensitas Curah Hujan Periode Ulang 5 Tahun....	82
Tabel 4.19 Perhitungan Intensitas Curah Hujan Periode Ulang 10 Tahun...	84
Tabel 4.20 Perhitungan Intensitas Curah Hujan Periode Ulang 25 Tahun... 86	
Tabel 4.21 Perhitungan Intensitas Curah Hujan Periode Ulang 50 Tahun... 88	
Tabel 4.22 Perhitungan Intensitas Curah Hujan Periode Ulang 100 Tahun.....	90
Tabel 4.23 Perhitungan Intensitas Curah Hujan Periode Ulang Tiga Metode.....	91
Tabel 4.24 Perhitungan Intensitas Durasi Metode Talbot.....	93
Tabel 4.25 Perhitungan Intensitas Durasi Metode Ishiguro	95

Periode Ulang 2 Tahun	99
Tabel 4.28 Perhitungan Standar Deviasi Rumus <i>Talbot, Ishiguro dan Sherman</i>	
Periode Ulang 5 Tahun	100
Tabel 4.29 Perhitungan Standar Deviasi Rumus <i>Talbot, Ishiguro dan Sherman</i>	
Periode Ulang 10 Tahun.....	101
Tabel 4.30 Perhitungan Standar Deviasi Rumus <i>Talbot, Ishiguro dan Sherman</i>	
Periode Ulang 25 Tahun.....	102
Tabel 4.31 Perhitungan Standar Deviasi Rumus <i>Talbot, Ishiguro dan Sherman</i>	
Periode Ulang 50 Tahun.....	103
Tabel 4.32 Perhitungan Standar Deviasi Rumus <i>Talbot, Ishiguro dan Sherman</i>	
Periode Ulang 100 Tahun.....	104
Tabel 4.33 Rekapitulasi Perhitungan Standar Deviasi Rumus Talbot, Ishiguro dan Sherman Berbagai Periode Ulang.....105	
Tabel 4.34 Rekapitulasi Perhitungan Intensitas Durasi Tiga Metode 105	
Tabel 4.37 Kemiringan Saluran dan Kecepatan Aliran..... 106	
Tabel 4.36 Koefisien Pengaliran (C)..... 120	

DAFTAR NOTASI

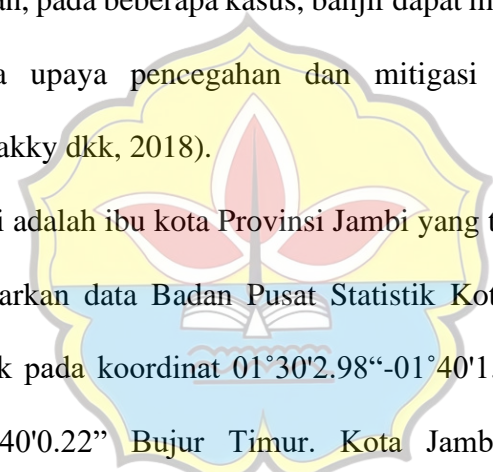
C_i	= Koefisien limpasan untuk daerah dengan luasan A_i
G	= Jumlah sub kelompok
h	= Parameter chi-kuadrat terhitung
I	= Intensitas curah hujan (mm/jam)
L	= Panjang sungai utama (km)
n	= Jumlah stasiun pengukuran
$P(X)$	= Fungsi densitas peluang normal
P_1, \dots, P_n	= Curah hujan di stasiun pengukuran (mm)
Q_s	= Debit saluran (m^3/detik)
Q_r	= Debit rencana (m^3/detik)
$Q_{r'}$	= Debit desain (m^3/detik)
R	= Jari-jari hidrolik saluran (m)
t	= Waktu (durasi) curah hujan (menit)
τ_g	= Waktu konsentrasi (jam)
V	= Kecepatan aliran (m/detik)
X	= Variabel acak kontinu
α	= Koefisien karakteristik DAS biasanya diambil 2.
μ	= Rata-rata nilai X
σ	= Simpangan baku nilai X

BAB I

PENDAHULUAN

1.1 Latar Belakang

Indonesia merupakan negara tropis yang sering mengalami perubahan cuaca yang ekstrim. Salah satu dampaknya adalah musim hujan yang berkepanjangan di berbagai daerah sehingga meningkatkan risiko terjadinya banjir. Banjir tidak hanya menimbulkan kerugian materi, namun juga berdampak pada kondisi psikologis masyarakat. Bahkan, pada beberapa kasus, banjir dapat mengakibatkan korban jiwa karena kurangnya upaya pencegahan dan mitigasi terhadap dampak yang ditimbulkan (Muzakky dkk, 2018).



Kota Jambi adalah ibu kota Provinsi Jambi yang terletak di Pulau Sumatra, Indonesia. Berdasarkan data Badan Pusat Statistik Kota Jambi, kota ini secara astronomis terletak pada koordinat $01^{\circ}30'2.98''$ - $01^{\circ}40'1.07''$ Lintang Selatan dan $103^{\circ}40'1.67''$ - $103^{\circ}40'0.22''$ Bujur Timur. Kota Jambi dilintasi oleh Sungai Batanghari yang memiliki kapasitas debit air sebesar 8,3 miliar m³ per tahun. Kondisi ini menyebabkan Kota Jambi menjadi daerah yang rentan terhadap banjir, terutama pada saat curah hujan tinggi yang berpotensi menyebabkan sungai meluap (Fhadilla, 2020).

Fenomena banjir menjadi isu yang menarik untuk dikaji secara mendalam guna menemukan solusi yang efektif dalam upaya penanggulangannya. Terdapat beberapa faktor utama yang mempengaruhi kejadian banjir, yaitu faktor curah

hujan, perubahan tata guna lahan di Daerah Aliran Sungai (DAS), serta perencanaan pembangunan dan pengendalian banjir di sepanjang aliran sungai.

Faktor curah hujan , yang mencakup intensitas, distribusi, serta durasi hujan, merupakan aspek eksternal berskala makro yang sulit dimodifikasi melalui intervensi manusia. Sementara itu, perubahan tata guna lahan di DAS memiliki hubungan erat dengan peningkatan risiko banjir. Kerusakan DAS akibat deforestasi, konversi lahan untuk permukiman dalam skala besar, serta pembukaan lahan untuk keperluan perkebunan dan aktivitas lainnya berkontribusi terhadap meningkatnya frekuensi dan intensitas banjir di wilayah tersebut.

Selain itu, aspek perencanaan pembangunan dan pengendalian banjir di sepanjang aliran sungai juga memainkan peran yang sangat signifikan. Upaya ini bertujuan untuk mencegah banjir dan sedimentasi sekaligus memastikan stabilitas alur sungai. Oleh karena itu, strategi mitigasi banjir harus mempertimbangkan pendekatan holistik yang mencakup pengelolaan tata guna lahan yang berkelanjutan serta perencanaan infrastruktur pengendalian banjir yang efektif.

Undang-Undang Nomor 24 Tahun 2007 tentang Penanggulangan Bencana mengamanatkan bahwa pemerintah, melalui Badan Nasional Penanggulangan Bencana (BNPB), serta pemerintah provinsi dan kabupaten/kota, memiliki tanggung jawab dalam menyusun langkah-langkah strategis untuk penanggulangan bencana. Upaya ini mencakup tahapan sebelum, saat, dan setelah terjadinya bencana guna memastikan efektivitas dalam mitigasi dan respons terhadap bencana.

Sebagai bagian dari perangkat pemerintahan, Badan Penanggulangan Bencana Daerah (BPBD) berperan dalam menjalankan tugas dan fungsi penanggulangan bencana di tingkat daerah. Untuk melindungi masyarakat dari berbagai risiko bencana, diperlukan langkah-langkah yang tepat dan berbasis inovasi, salah satunya melalui pemanfaatan teknologi. Kemajuan teknologi telah memberikan solusi dalam menghadapi tantangan penanggulangan dan pengurangan risiko bencana, salah satunya dengan membangun sistem peringatan dini atau *Early Warning System* (EWS).

Sistem peringatan dini ini memiliki peran krusial dalam mengantisipasi bencana hidrometeorologi yang berkaitan dengan faktor cuaca dan iklim. Keberadaan sistem ini menjadi elemen utama dalam strategi mitigasi bencana, karena mampu memberikan informasi dini kepada masyarakat, sehingga memungkinkan langkah-langkah preventif yang dapat mencegah jatuhnya korban jiwa serta mengurangi dampak ekonomi dan kerusakan material akibat bencana.

Mitigasi risiko banjir menjadi suatu keharusan yang mendesak mengingat pola siklus bencana di Indonesia yang terjadi secara berulang dalam rentang waktu tertentu. Oleh karena itu, pemanfaatan teknologi dalam upaya penanggulangan bencana menjadi aspek yang sangat penting bagi sebagian besar wilayah di Indonesia.

Untuk meningkatkan efektivitas manajemen risiko bencana, diperlukan pengembangan solusi berbasis teknologi informasi. Salah satu inovasi yang dapat diterapkan adalah sistem peringatan dini atau *Early Warning System* (EWS), yang berfungsi dalam menyampaikan informasi secara cepat dan akurat guna

mengurangi dampak bencana. Implementasi sistem ini memungkinkan dilakukannya langkah-langkah preventif yang lebih sistematis, sehingga dapat menekan potensi kerugian baik dari segi materi maupun korban jiwa

Early Warning System bencana adalah elemen yang sangat penting dalam upaya pengurangan risiko bencana. Dengan adanya *Early Warning System* bencana, maka masyarakat dapat melakukan respon yang sesuai untuk melakukan penyelamatan dan menghindari korban jiwa serta mengurangi dampak bencana tersebut. Agar *Early Warning System* dapat berjalan secara efektif maka dibutuhkan partisipasi aktif masyarakat yang berada di daerah berisiko, memfasilitasi kegiatan-kegiatan penyadaran publik dan kesiapsiagaan masyarakat, serta penyampaian peringatan yang terpercaya. *Early Warning System* mencakup serangkaian kegiatan pemberian peringatan sesegera mungkin kepada masyarakat tentang kemungkinan terjadinya bencana pada suatu tempat oleh lembaga yang berwenang.

Berdasarkan ulasan diatas, diperlukannya mitigasi banjir sebagai upaya mengurangi dampak bencana yang terjadi. Mitigasi banjir dilakukan menggunakan aplikasi dengan mengetahui informasi potensi kerawanan banjir melalui Aplikasi *Early Warning System* sehingga daerah penelitian dapat meningkatkan kesiagaan pemerintah maupun masyarakat terhadap risiko apabila terjadinya banjir. Oleh karena itu, penulis tertarik melakukan penelitian dengan judul “Analisa debit banjir dan mitigasinya menggunakan aplikasi *Early Warning System* di Kota Jambi”.

Penelitian ini diharapkan dapat memberikan manfaat bagi masyarakat, khususnya warga Jambi. Selain itu, hasil penelitian ini diharapkan dapat menjadi acuan bagi pihak-pihak terkait dalam melakukan perbaikan dan perawatan. Dengan

demikian, penelitian ini dapat memberikan kontribusi pada pengembangan *Early Warning System* serta meningkatkan pemahaman tentang faktor-faktor yang mempengaruhi terjadinya banjir.

1.2 Rumusan Masalah

Adapun masalah yang dapat dirumuskan :

1. Bagaimana hasil perhitungan debit banjir pada Sungai Batanghari periode 10 Tahun?
2. Bagaimana peran *Early Warning System* dalam mitigasi risiko banjir berdasarkan data tinggi muka air sungai?

1.3 Tujuan Penelitian

Berdasarkan rumusan masalah dapat dibuat tujuan penulisan sebagai berikut :

1. Menghitung debit banjir pada Sungai Batanghari periode 10 Tahun.
2. Menganalisis peran *Early Warning System* dalam mendekripsi dan memberikan peringatan dini berdasarkan data tinggi muka air.

1.4 Batasan Masalah

Agar penulisan tugas akhir dapat tertuju pada fokus utama permasalahan, maka perlu dibuat suatu batasan-batasan masalah. Adapun batasan masalah tersebut adalah sebagai berikut:

1. Penelitian dilakukan di Kawasan AWLR Tanggo Rajo Sungai Batanghari.
2. Debit banjir yang diperhitungkan hanya akibat dari curah hujan maksimum. Tidak diperhitungkan pengaruh besarnya sedimentasi, penambahan limbah kota, dan perkembangan kota terhadap besarnya banjir yang terjadi.

3. Perhitungan debit banjir rencana berdasarkan periode ulang 10 Tahun.
4. Debit banjir dihitung menggunakan Metode Rasional
5. Tidak mencakup model hidrologi kompleks seperti HEC-HMS atau SWAT.
6. Data curah hujan diperoleh dari stasiun penakar hujan Badan Meteorologi, Klimatologi, dan Geofisika (BMKG) Sultan Thaha Jambi.

1.5 Manfaat Penelitian

Manfaat dari penelitian ini antara lain:

1. Untuk menambah wawasan ilmu pengetahuan dan melatih menerapkan ilmu yang telah di pelajari selama ini. Selain itu penelitian ini juga bertujuan untuk memenuhi syarat dalam menyelesaikan program studi S-1 Fakultas Teknik Sipil Universitas Batanghari.
2. Memberikan informasi dan gambaran tentang penerapan mitigasi banjir melalui aplikasi *Early warning system*.
3. Penelitian ini diharapkan dapat memberikan referensi bagi perpustakaan Fakultas Teknik Sipil Universitas Batanghari penelitian yang lain terutama masalah mitigasi banjir.
4. Memberikan masukan kepada pemerintah daerah dalam upaya peringatan dini bahaya banjir

BAB II

LANDASAN TEORI

2.1 Definisi Analisis

Analisa atau analysis adalah suatu usaha untuk mengamati secara detail sesuatu hal atau benda dengan cara menguraikan komponen-komponen pembentuknya atau penyusunya untuk dikaji lebih lanjut. Analisa berasal dari Bahasa kuno yaitu analusis yang artinya melepaskan analisis terbentuk dari dua suku kata, yaitu anayang berarti kembali, dan luein yang artinya melepas kembali atau menguraikan. Kata analisis ini diserap kedalam bahasa inggris menjadi analysis yang kemudian diserap juga kedalam Bahasa Indonesia menjadi analisa (Ibrahim, 2013).

2.2 Banjir

Banjir adalah salah satu bencana alam dimana suatu tempat di daratan terendam oleh air dengan volume tinggi yang berlebihan. Hal ini bisa terjadi disebabkan oleh berbagai faktor alam seperti curah hujan yang tinggi, topografi, saluran drainase, minimnya resapan air yang mengalir pada suatu sungai atau saluran drainase melebihi atau diatas kapasitas pengalirannya bahkan faktor manusia dan sosial juga termasuk penyebabnya. Apabila banjir ini sering terjadi dalam durasi yang singkat ataupun lama, tentu saja akan mengganggu kegiatan manusia yang menyebabkan kerugian yang semakin lama dibiarkan terjadi semakin besar pula kerugian yang dialami. Banjir berasal dari aliran limpasan yang mengalir melalui sungai atau menjadi genangan. Sedangkan limpasan adalah aliran air

mengalir pada permukaan tanah yang ditimbulkan oleh curah hujan setelah air mengalami infiltrasi dan evavorasi, selanjutnya mengalir menuju kesungai.

Menurut Suripin (2003), Banjir adalah suatu kondisi di mana tidak tertampungnya air dalam saluran pembuang (palung sungai) atau terhambatnya aliran air di dalam saluran pembuang, sehingga meluap menggenangi daerah dataran banjir sekitarnya. Menurut Departemen Permukiman dan Prasarana Wilayah (2002), Banjir adalah aliran yang relatif tinggi dan tidak tertampung lagi oleh alur sungai atau saluran.

2.2.1 Jenis-Jenis Banjir

Menurut Kategori atau jenis banjir terbagi berdasarkan lokasi sumber aliran permukaan dan berdasarkan mekanisme terjadinya banjir.

1. Berdasarkan lokasi sumber aliran permukaannya:
 - a. Banjir Kiriman (Banjir Bandang), Banjir yang diakibatkan oleh tingginya curah hujan di daerah hulu sungai. Banjir yang terjadi di daerah yang permukaannya arendah dan disebabkan oleh tingginya intensitas hujan yang tinggi. Bencana ini terjadi karena keadaan air pada daerah yang terkena banjir sudah tidak dapat diserap oleh lapisan tanah. Bencana ini juga tergolong bencana besar yang dapat meningkatkan kerugian pada suatu daerah.
 - b. Banjir Lokal, banjir yang terjadi karena volume hujan setempat yang melebihi kapasitas pembuangan di suatu wilayah. Penyebab terjadinya banjir lokal yaitu tingginya intensitas hujan dan belum adanya saluran drainase yang baik sesuai dengan sebaran luas hujan lokal. Atau bisa juga

didefinisikan secara singkat yaitu banjir yang terjadi karena volume hujan tidak dapat ditampung di suatu wilayah.

1. Berdasarkan mekanisme banjir terdiri atas 2 jenis yaitu:

- a. *Regular Flood*, Banjir yang diakibatkan oleh hujan.
- b. *Irregular Flood*, Banjir yang diakibatkan oleh selain hujan, seperti tsunami, gelombang pasang, dan hancurnya bendungan.

2.2.2 Faktor Terjadinya Banjir

Menurut (Rahmanizah et al., 2023) terdapat faktor-faktor yang dapat menyebabkan banjir, diantaranya:

1. Curah hujan yang tinggi menyebabkan debit air sungai lebih besar dari biasanya bahkan bisa melebihi kapasitas sungai.
2. Pengaruh fisiografi/geofisik seperti bentuk sungai, fungsi daerah kemiringan sungai, geometric hidrolik (bentuk penampang seperti lebar, kedalaman, potongan memanjang, material sungai), lokasi sungai, dan hal-hal yang mempengaruhi terjadinya banjir.
3. Topografi dapat mengalirkan air dari daerah yang tinggi ke daerah yang lebih rendah. Daerah-Daerah dataran rendah atau cekungan, merupakan salah satu karakteristik wilayah banjir atau genangan.
4. Permukaan tanah lebih rendah dibandingkan permukaan air laut karena diakibatkan konsolidasi lahan, beban bangunan terlalu berat, pengambilan air tanah yang berlebihan dan pengeringan sekitar pantai.
5. Banyak pemukiman yang dibangun pada dataran sepanjang sungai yang seharusnya dataran banjir dibebaskan dari pembangunan.

6. Aliran sungai tidak lancar akibat banyaknya sampah serta bangunan di pinggir sungai sehingga air menghambat aliran air dan memperdangkal permukaan sungai.
7. Kurangnya tutupan lahan di daerah hulu sungai dan di Daerah Aliran Sungai, karena banyaknya alih fungsi lahan sehingga kurangnya vegetasi menyebabkan terjadi erosi yang berlebihan dan terjadinya sedimentasi yang berlebihan sehingga mengurangi kapasitas sungai.
8. Perencanaan sistem pengendalian banjir yang tidak tepat, sistem pengendalian yang tidak tepat bahkan dapat menambah kerusakan saat banjir.
9. Kerusakan bendungan dan bangunan pengendali banjir, penelitian yang kurang memadai menimbulkan kerusakan dan akhirnya tidak berfungsi dapat meningkatkan banjir lebih besar.

2.2.3 Parameter Terjadinya Potensi Banjir

Banjir disebabkan oleh dua kategori yaitu banjir akibat alami dan banjir akibat aktivitas manusia. Banjir akibat alami dipengaruhi oleh curah hujan, fisiografi, erosi dan sedimentasi, kapasitas sungai, kapasitas drainase, dan pengaruh air pasang. Sedangkan banjir akibat aktivitas manusia disebabkan karena tindakan manusia yang menyebabkan perubahan-perubahan lingkungan seperti perubahan kondisi DAS, kawasan pemukiman di sekitar bantaran, rusaknya drainase lahan, kerusakan bangunan pengendali banjir, rusaknya hutan (vegetasi alami), dan perencanaan sistem pengendali yang tidak tepat.

2.4 Elevasi

Ketinggian (Elevasi) lahan adalah ukuran ketinggian lokasi di atas permukaan laut. Ketinggian mempunyai pengaruh terhadap terjadinya banjir. Semakin rendah suatu daerah maka semakin berpotensi terjadi banjir , begitu pula sebaliknya. Semakin tinggi suatu daerah, maka semakin aman akan bencana banjir (Immanuel Sitepu, Yudo Prasetyo, 2017).

2.5 Kemiringan Lereng

Kelerengan atau kemiringan lahan merupakan perbandingan persentase antara jarak vertikal (tinggi lahan) dengan jarak horizontal (panjang lahan datar). Semakin landai kemiringan lerengnya maka semakin berpotensi terjadi banjir, begitu pula sebaliknya. Semakin curam kemiringannya, maka semakin aman akan bencana banjir (Immanuel Sitepu, Yudo Prasetyo, 2017).

Kelerengan mempengaruhi jumlah dan kecepatan limpasan permukaan, drainase permukaan, penggunaan lahan dan erosi. Aliran limpasan permukaan akan menjadi lambat dan memungkinkan terjadi genangan atau banjir jika kelerengan semakin landai. Sedangkan semakin curam kelerengan akan menyebabkan aliran limpasan permukaan menjadi cepat sehingga air hujan yang jatuh akan langsung dialirkan dan tidak terjadi penggenangan, sehingga resiko banjir menjadi kecil.

2.6 Topografi

Keadaan topografi adalah keadaan yang menggambarkan kemiringan lahan atau kontur lahan, semakin besar kontur lahan berarti lahan tersebut memiliki kemiringan lereng yang semakin besar. Peta topografi mutlak digunakan, khususnya di dalam perencanaan pengembangan wilayah, sehubungan dengan

pemulihan lokasi atau di dalam pekerjaan konstruksi.

Secara topografis, Provinsi Jambi terdiri atas 3 (tiga) kelompok variasi ketinggian yaitu (Bappeda, 2010):

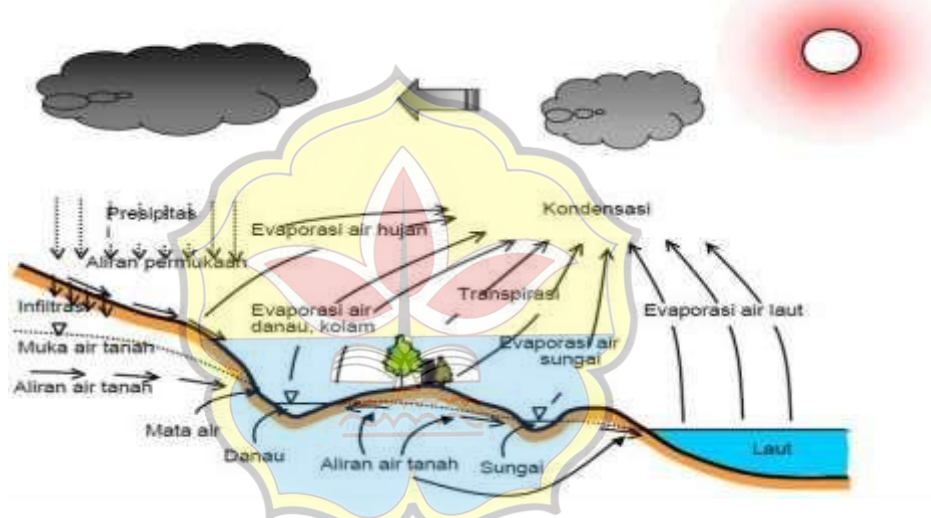
1. Daerah dataran rendah 0-100 m (69,1%), berada di wilayah timur sampai tengah. Daerah dataran rendah ini terdapat di Kota Jambi, Kabupaten Tanjung Jabung Barat, Kabupaten Tanjung Jabung Timur, sebagian Kabupaten Batanghari, Kabupaten Bungo, Kabupaten Tebo, Kabupaten Sarolangun dan Kabupaten Merangin;
2. Daerah dataran dengan ketinggian sedang 100-500 m (16,4%), pada wilayah tengah. Daerah dengan ketinggian sedang ini terdapat di Kabupaten Bungo, Kabupaten Tebo, Kabupaten Sarolangun dan Kabupaten Merangin serta sebagian Kabupaten Batanghari;
3. Daerah dataran tinggi > 500 m (14,5%), pada wilayah barat. Daerah pegunungan ini terdapat di Kabupaten Kerinci, Kota Sungai Penuh serta sebagian Kabupaten Bungo, Kabupaten Tebo, Kabupaten Sarolangun dan Kabupaten Merangin.

2.7 Hidrologi

Hidrologi adalah suatu ilmu tentang kehadiran dan gerakan air di alam kita ini. Secara khusus hidrologi didefinisikan sebagai ilmu yang mempelajari sistem kejadian air di atas, pada permukaan, dan di dalam tanah. Definisi tersebut terbatas pada hidrologi rekayasa. Secara luas hidrologi meliputi pula berbagai bentuk air, termasuk transformasi antara keadaan cair, padat, dan gas dalam atmosfer, di atas dan di bawah permukaan tanah. Di dalamnya tercakup pula air laut yang merupakan

sumber dan penyimpanan air yang mengaktifkan kehidupan di planet bumi ini (Soemarto, 1995).

Analisis hidrologi dilakukan untuk mendapatkan karakteristik hidrologi dan meteorologi daerah aliran sungai. Tujuannya adalah untuk mengetahui karakteristik hujan, debit air yang ekstrim maupun yang wajar yang akan digunakan sebagai dasar analisis selanjutnya dalam pelaksanaan detail desain.



Gambar 2.1 Siklus Hidrologi

Sumber: Suripin, 2003

Berdasarkan gambar di atas, air laut menguap karena radiasi matahari menjadi awan kemudian, awan yang terjadi oleh penguapan air bergerak di atas daratan karena tertuju angin. Presipitasi yang terjadi karena adanya tabrakan antara butir-butir uap air akibat desakan angin, dapat berbentuk hujan dan salju. Setelah jatuh ke permukaan tanah, akan menimbulkan limpasan (*runoff*) yang mengalir kembali ke laut. Dalam usahanya untuk mengalir kembali ke laut beberapa diantaranya masuk ke dalam tanah (*infiltration*) dan bergerak terus ke bawah

(perkolasi) ke dalam daerah jenuh (*saturated zone*) yang terdapat di bawah permukaan air tanah atau yang juga dinamakan permukaan freatic. Air dalam daerah ini bergerak perlahan-lahan melewati akuifer masuk ke sungai atau kadang-kadang langsung masuk ke laut.

Air yang masuk ke dalam tanah (*infiltration*) memberi hidup kepada tumbuhan namun ada diantaranya naik ke atas lewat akuifer diserap akar dan batangnya, sehingga terjadi transpirasi, yaitu evaporasi (penguapan) lewat tumbuh-tumbuhan melalui bagian bawah daun (stomata). Air tertahan di permukaan tanah (*surface detention*) sebagian besar mengalir masuk ke sungai-sungai sebagai limpasan permukaan (*surface runoff*) ke dalam palung sungai.

2.8 Mitigasi

Mitigasi adalah upaya berkelanjutan untuk mengurangi dampak bencana terhadap manusia dan harta benda. Dari pengertian ini, Mitigasi merupakan kata yang diambil dari kata latin yakni *mittigare*, kata *mittigare* telah digunakan sejak abad ke 14 yang tersusun dari dua kata yaitu *mitis* (lunak, lembut, atau jinak) dan *aggare* (melakukan, mengerjakan, membuat). Berdasarkan istilah tersebut kata mitigasi dapat diartikan sebagai penjinakan yakni membuat suatu yang liar menjadi lunak, dimana bencana sebagai sesuatu yang dianggap liar dengan adanya mitigasi dapat dijinakkan atau dilemahkan. Mitigasi adalah upaya untuk mengurangi dampak bencana baik secara struktural maupun non struktural dengan berdasar pada acuan terhadap perundangundangan dan penelitian yang pernah dilakukan, upaya mitigasi dilakukan untuk segala jenis bencana baik bencana alam maupun bencana non alam.

Penanggulangan bencana banjir adalah berbagai upaya yang dapat dilakukan baik oleh pemerintah, masyarakat dan pemangku kepentingan lainnya (*stakeholder*) dalam rangka menanggulangi bencana banjir baik yang dilakukan sebelum terjadinya banjir, pada saat terjadi maupun setelah terjadi banjir (Promise, 2009). Salah satu upaya penanggulangan banjir adalah mitigasi bencana banjir. Mitigasi banjir merupakan suatu cara untuk mengurangi dampak dari bencana banjir.

Mitigasi banjir secara umum dikelompokkan menjadi dua kelompok yaitu mitigasi struktural dan mitigasi non-struktural. Mitigasi struktural merupakan tindakan menormalisasi sungai, pembangunan waduk pengendali banjir, pengurangan debit puncak banjir, dan lain sebagainya. Sedangkan mitigasi non-struktural merupakan segala upaya pengurangan risiko bencana yang dilakukan bersifat non-fisik, organisasional dan sosial kemasyarakatan. Salah satu contoh upaya mitigasi non-struktural banjir dapat dilakukan dengan cara pembuatan peta zonasi banjir. Peta ini nantinya dijadikan sebagai sebuah acuan dalam penentuan pembangunan yang berbasis pengurangan risiko bencana banjir.

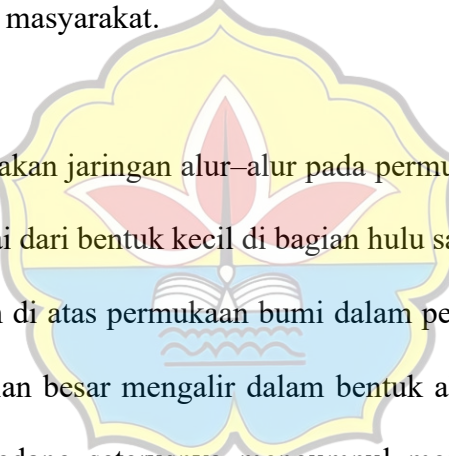
Mitigasi menurut UU No.24/2007 tentang penanggulangan bencana adalah serangkaian upaya yang harus disiapkan untuk menghadapi suatu bencana guna untuk mengurangi dampak yang ditimbulkan dari bencana tersebut. Menurut Peraturan Menteri dalam negeri Nomor 33 Tahun 2006 Berbagai kebijakan yang perlu ditempuh dalam mitigasi antara lain :

- a) Setiap upaya mitigasi bencana perlu membangun persepsi yang sama bagi semua pihak baik jajaran aparat pemerintah maupun segenap unsur

masyarakat yang ketentuan langkahnya diatur dalam pedoman umum, petunjuk pelaksanaan dan prosedur tetap yang dikeluarkan oleh instansi yang bersangkutan sesuai dengan bidang tugas unit masing-masing.

- b) Pelaksanaan mitigasi bencana dilaksanakan secara terpadu terkoordinir yang melibatkan seluruh potensi pemerintah dan masyarakat.
- c) Upaya preventif harus diutamakan agar kerusakan dan korban jiwa dapat di minimalkan.
- d) Penggalangan kekuatan melalui kerjasama dengan semua pihak, melalui pemberdayaan masyarakat.

2.9 Sungai



Sungai merupakan jaringan alur-alur pada permukaan bumi yang terbentuk secara alamiah, mulai dari bentuk kecil di bagian hulu sampai besar di bagian hilir. Air hujan yang jatuh di atas permukaan bumi dalam perjalannya sebagian kecil menguap dan sebagian besar mengalir dalam bentuk alur – alur kecil, kemudian menjadi alur-alur sedang seterusnya mengumpul menjadi satu alur besar atau utama. Dengan demikian dapat dikatakan sungai berfungsi menampung curah hujan dan mengalirkannya ke laut (Loebis:1993).

Fungsi pokok sungai adalah untuk mengalirkan kelebihan air permukaan tanah, sedangkan fungsi lainnya adalah dapat digunakan untuk kesejahteraan manusia, seperti Sumber air minum, Pembangkit Listrik Tenaga Air, Pengairan, Transportasi air, untuk meninggikan tanah yang rendah dan mengatur suhu tanah. Menurut peraturan perundang-undangan yang ada, fungsi sungai adalah:

- a. Sungai sebagai sumber air yang merupakan salah satu sumber daya alam

yang mempunyai fungsi serba guna bagi kehidupan manusia.

- b. Sungai harus dilindungi dan dijaga kelestariannya, ditingkatkan fungsi dan pemanfaatannya, dan dikendalikan daya rusak terhadap lingkungan

2.9.1 Daerah Aliran Sungai

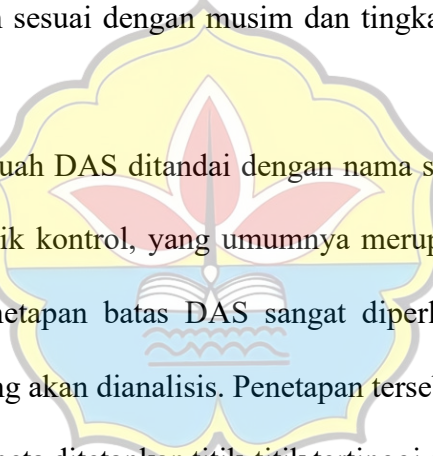
Daerah Aliran Sungai (DAS) adalah daerah yang dibatasi oleh punggung-punggung gunung/pegunungan di mana air hujan yang jatuh di daerah tersebut akan mengalir menuju sungai utama pada suatu titik/stasiun yang ditinjau. Daerah Aliran Sungai ditentukan dengan menggunakan peta topografi yang dilengkapi dengan garis-garis kontur. (Triatmodjo, 2009).

Luas Daerah Aliran Sungai diperkirakan dengan mengukur daerah itu pada peta topografi. Luas Daerah Aliran Sungai sangat berpengaruh terhadap debit sungai. Pada umumnya semakin besar Daerah Aliran Sungai semakin besar jumlah limpasan permukaan sehingga semakin besar pula aliran permukaan atau debit sungai. (Triatmodjo, 2009).

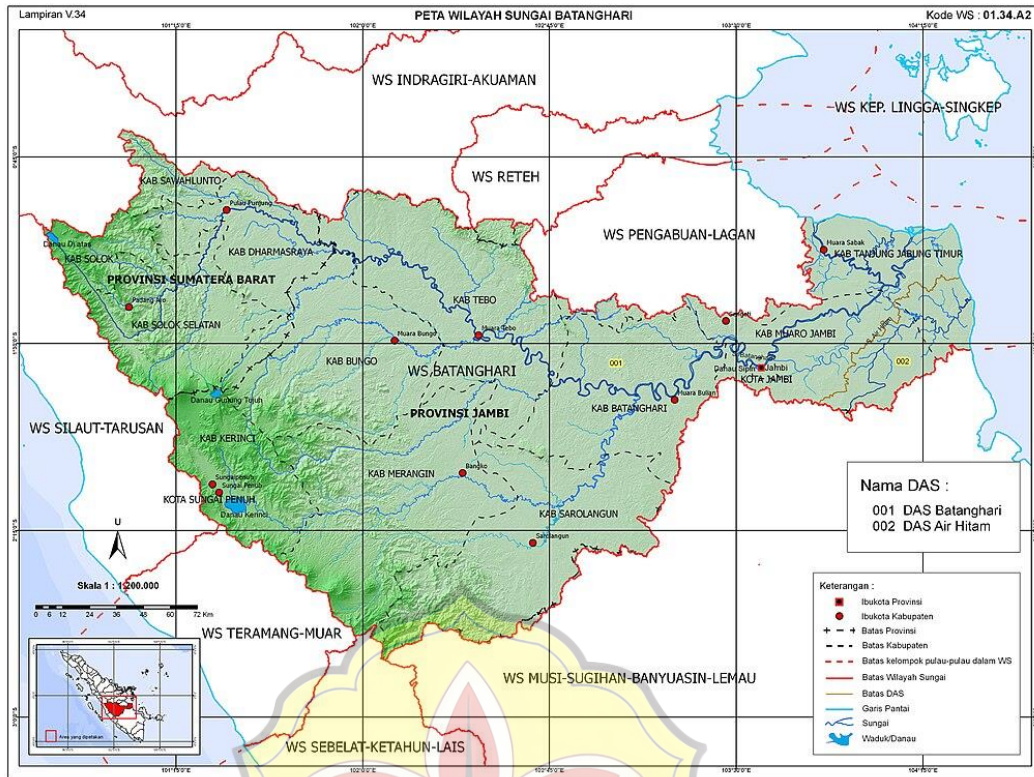
Daerah aliran sungai adalah suatu wilayah daratan yang merupakan satu kesatuan dengan sungai dan anak-anak sungainya, yang berfungsi menampung, menyimpan, dan mengalirkan air yang berasal dari curah hujan ke danau atau ke laut secara alami, yang batas di darat merupakan pemisah topografi dan batas di laut sampai dengan daerah perairan yang masih terpengaruh aktivitas daratan.

Ada beberapa istilah yang dipakai dalam unsur-unsur aliran sungai seperti debit, limpasan, limpasan permukaan, limpasan bawah permukaan, limpasan bulanan, limpasan tahunan, hidrograf, aliran Daerah Aliran Sungai

(*catchment area, basin, watershed*) adalah daerah di mana semua air hujan yang jatuh di daerah tersebut akan mengalir menuju ke dalam suatu sungai yang dimaksudkan. Aliran air tersebut tidak hanya berupa air permukaan yang mengalir di dalam alur sungai, tetapi termasuk juga aliran di lereng-lereng bukit yang mengalir menuju alur sungai sehingga daerah tersebut dinamakan daerah aliran sungai. Daerah tersebut umumnya dibatasi oleh batas topografi, yang berarti ditetapkan berdasarkan air permukaan. Batas DAS tidak ditetapkan berdasarkan air bawah tanah karena permukaan air tanah selalu berubah sesuai dengan musim dan tingkat kegiatan pemakaian (Sri Harto, 1993).



Penamaan sebuah DAS ditandai dengan nama sungai yang bersangkutan dan dibatasi oleh titik kontrol, yang umumnya merupakan stasiun hidrometri. Dalam praktik, penetapan batas DAS sangat diperlukan untuk menetapkan batas-batas DAS yang akan dianalisis. Penetapan tersebut mudah dilakukan dari peta topografi. Dari peta ditetapkan titik-titik tertinggi di sekeliling sungai utama (main stream) yang dimaksud, dan masing-masing titik tersebut dihubungkan satu dengan yang lainnya sehingga membentuk garis utuh yang bertemu ujung pangkalnya. Garis tersebut merupakan batas DAS di titik kontrol tertentu.



Gambar 2.2 Peta Daerah Aliran Sungai Batanghari

Sumber: Peraturan Menteri Pekerjaan Umum dan Perumahan Rakyat

No.04/PRT/M/2015

2.9.2 Debit Banjir Rencana

Debit banjir rencana adalah debit maksimum dari suatu sungai, atau saluran yang besarnya didasarkan/terkait dengan periode ulang tertentu. Atau Debit banjir rencana adalah debit dengan periode ulang tertentu (T) yang diperkirakan akan melalui suatu sungai atau bangunan air. Periode ulang adalah waktu hipotetik dimana suatu kejadian dengan nilai tertentu, debit rencana misalnya, akan disamai atau dilampaui 1 kali dalam jangka waktu hipotetik tersebut. Hal ini tidak berarti bahwa kejadian tersebut akan berulang secara teratur setiap periode ulang tersebut (Kamiana, 2011:13).

Soewarno (1995) berpendapat bahwa menentukan debit banjir rencana bergantung pada tujuan yang ingin dicapai. Debit banjir rencana memiliki macammacam kala ulang yang sesuai dengan perencanaan di suatu lokasi. Dalam pemilihan suatu teknik analisis penentuan banjir rencana tergantung dari data-data yang tersedia dan macam dari bangunan air yang akan dibangun.

Perhitungan debit banjir memerlukan data curah hujan yang diperoleh melalui stasiun-stasiun penakar hujan. Stasiun penakar hujan yang berpengaruh di DAS Code telah memakai alat otomatik yang menghasilkan curah hujan.

2.10 Analisa Curah Hujan

Analisis curah hujan merupakan suatu rangkaian proses pengolahan data (curah hujan) diawali dengan suatu proses identifikasi kondisi meteorologi, stasiun penakar atau pengukur, analisis data tercatat secara kualitas dan kuantitas yang dilanjutkan dengan perhitungan distribusi frekuensi yang dipilih dan selanjutnya didapat suatu nilai intensitas curah hujan untuk periode ulang tertentu(Soewarno:1995).

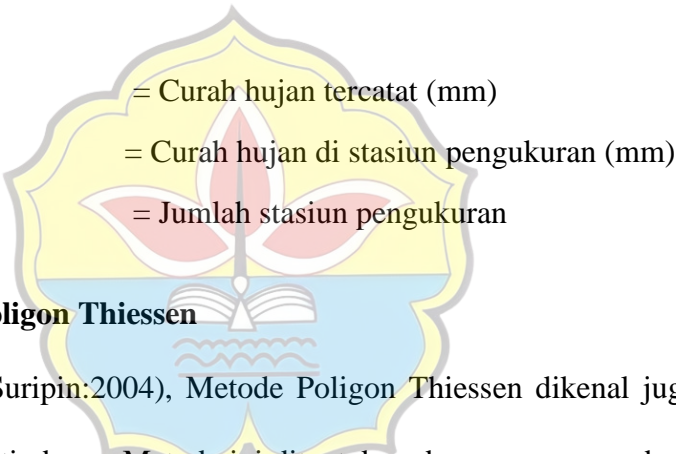
Analisis data curah hujan dimaksudkan untuk memperoleh besar curah hujan daerah yang diperlukan untuk perhitungan curah rencana. Beberapa metode yang dapat digunakan dalam perhitungan curah hujan daerah. Untuk menentukan tinggi curah hujan rata-rata pada suatu areal studi, ada 3 (tiga) cara yang dapat digunakan yaitu cara rata-rata Aljabar, cara poligon Thiessen dan cara garis Isohyet (Suripin:2004).

2.10.1 Metode Rata-rata Aljabar

Metode perhitungan rata-rata aljabar (*arithmatic mean*) merupakan metode yang sangat sederhana dalam perhitungan hujan pada suatu wilayah atau daerah. Metode ini cocok untuk kawasan dengan topografi datar, dengan jumlah pos curah hujan yang cukup banyak dan dengan anggapan bahwa curah hujan di daerah tersebut cenderung bersifat seragam (*uniform distribution*). Curah hujan dengan rata – rata aljabar dihitung dengan persamaan (Suripin:2004)

$$P = \frac{P_1 + P_2 + P_3 + \dots + P_n}{n} = \sum_{i=0}^n \frac{P_n}{n} \dots \quad (2.1)$$

Keterangan:



2.10.2 Metode Poligon Thiessen

Menurut (Suripin:2004), Metode Poligon Thiessen dikenal juga sebagai metode rata – rata timbang. Metode ini ditentukan dengan cara membuat poligon antar pos hujan pada suatu wilayah DAS kemudian tinggi hujan rata rata dihitung dari jumlah perkalian antara tiap-tiap luas poligon dan tinggi hujannya dibagi dengan luas seluruh DAS. Hasil metode Poligon Thiessen lebih akurat dibandingkan dengan metode rata –rata aljabar. Cara ini cocok untuk daerah dengan luas $500 – 5000 \text{ km}^2$. Tahapan penerapan metode ini meliputi langkah – langkah sebagai berikut:

- a. Letak pos penakar hujan ditandai pada peta DAS, kemudian buat garis lurus penghubung antar titik pos penakar.

- b. Setiap garis penghubung ditarik garis tegak lurus ditengah garis penghubung sehingga membentuk poligon.
 - c. Luas daerah yang hujannya dianggap mewakili oleh salah satu stasiun yang bersangkutan adalah daerah yang dibatasi oleh poligon tersebut

Adapun rumus dari metode ini ialah :

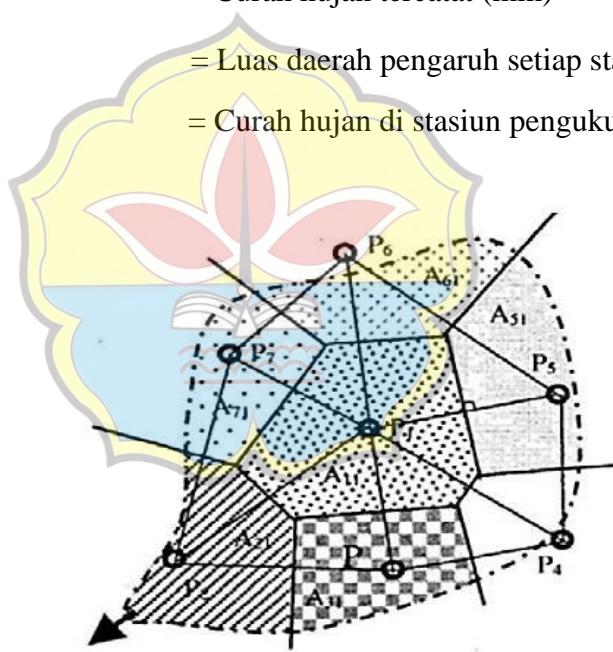
$$P = \frac{P_1A_1 + P_2A_2 + \dots + P_nA_n}{A_n + A_{n-1} + \dots + A_1} = \frac{\sum_{i=1}^n P_iA_i}{\sum_{i=1}^n A_i} \dots \quad (2.2)$$

Keterangan:

P = Curah hujan tercatat (mm)

A_n = Luas daerah pengaruh setiap stasiun(km^2)

P₁,...,P_n = Curah hujan di stasiun pengukuran (mm)



Gambar 2.3 Metode Poligon Thiessen

Sumber: Suripin,2004

2.10.3 Metode Isohyet

Menurut (Suripin:2004), Metode ini merupakan metode yang paling teliti untuk menghitung hujan rata-rata di suatu daerah, tapi cara ini diperlukan keahlian dan pengalaman yang lebih dibandingkan dengan metode sebelumnya. Cara ini memperhitungkan pengaruh tiap – tiap pos penakar hujan. Isohyet sendiri memiliki pengertian kontur yang menghubungkan titik – titik dengan kedalaman hujan yang sama. Metode ini cocok untuk daerah berbukit dan tidak teratur dengan luas lebih dari 5000 km^2 .

Hitung hujan rata-rata DAS dengan persamaan berikut:

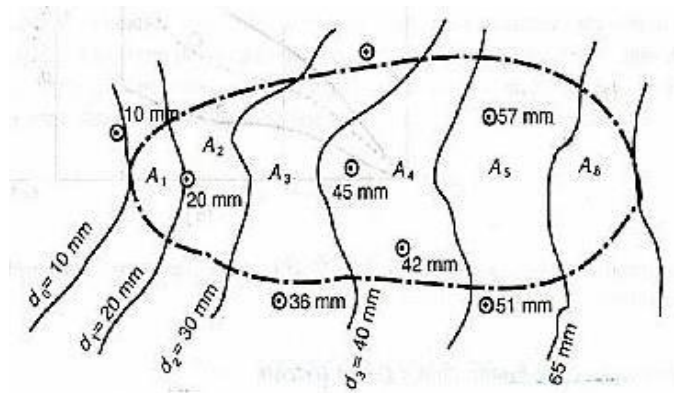
$$P = \frac{\frac{P_0+P_1}{2}A_1 + \frac{P_1+P_2}{2}A_2 + \dots + \frac{P_{n-1}+P_n}{2}A_n}{A_1+A_2+\dots+A_n} \quad (2.3)$$

Keterangan:

P = Curah hujan tercatat (mm)

A_n = Luas daerah pengaruh tiap-tiap stasiun (km^2)

P_1, \dots, P_n = Curah hujan di stasiun pengukuran (mm)



Gambar 2.4 Metode Isohyet

Sumber: Suripin, 2004

2.11 Analisa Frekuensi dan Probabilitas

Analisis frekuensi memerlukan data hujan yang diperoleh dari pos penakar hujan, baik yang manual maupun yang otomatis. Analisis ini berdasarkan pada sifat statistik data kejadian di masa lalu untuk memperoleh probabilitas besaran hujan di masa yang akan datang.

Analisis frekuensi data hidrologi bertujuan untuk menentukan nilai dari besaran-besaran peristiwa ekstrim yang berkaitan dengan frekuensi kejadiannya melalui penerapan distribusi probabilitas. Analisis frekuensi menggunakan variabel – variabel acak dan distribusi probabilitas yang merupakan bagian dari metode statistik. (Suripin:2004)

Dalam analisis statisitik terdapat parameter – parameter yang dapat membantu dalam menentukan jenis sebaran yang tepat. Dan jenis – jenis distribusi yang banyak digunakan dalam bidang hidrologi adalah sebagai berikut:

2.19.2 Metode Distribusi Normal

Distribusi normal merupakan distribusi kumulatif normal atau disebut pula distribusi Gauss. Fungsi densitas peluang normal (PDF = *probability density function*) yang paling dikenal adalah bentuk bell dan dikenal dengan distribusi normal. PDF distribusi normal dapat dituliskan dalam bentuk rata-rata dan simpangan bakunya, sebagai berikut: (Suripin:2004)

$$P(X) = \frac{1}{\sigma\sqrt{2\pi}} \exp\left(-\frac{(x-\mu)^2}{2\sigma^2}\right) - \infty \leq x \leq \infty \quad \dots \dots \dots \quad (2.4)$$

Keterangan:

P (X) : Fungsi densitas peluang normal

X : Variabel acak kontinu

μ : Rata-rata nilai X

σ : Simpangan baku nilai X

Rumus umum yang digunakan untuk distribusi normal adalah:

(Suripin:2004)

$$X_T = \bar{X} + K_T S$$

Keterangan:

X_T : Perkiraan nilai yang diharapkan terjadi dengan periode ulang T- tahunan

\bar{X} : Nilai rata-rata hitung variat

K_T : Faktor frekuensi

S : Standar Deviasi

Nilai faktor frekuensi umumnya sudah tersedia dalam bentuk tabel untuk mempermudah perhitungan, yang umum disebut sebagai tabel nilai variabel reduksi Gauss (*Variable reduced Gauss*). Nilai variabel reduksi Gauss dapat dilihat pada

Tabel 2.2 berikut:

Tabel 2.1 Nilai Variabel Reduksi Gauss

No	Periode Ulang, T (Tahunan)	Peluang	K_T
1	1,001	0,999	-3,05
2	1,005	0,995	-2,58
3	1,010	0,990	-2,33
4	1,050	0,950	-1,64
5	1,110	0,900	-1,28
6	1,250	0,800	-0,84
7	1,330	0,750	-0,67
8	1,430	0,700	-0,52
9	1,670	0,600	-0,25
10	2,000	0,500	0

11	2,500	0,400	0,25
12	3,330	0,300	0,52
13	4,000	0,250	0,67
14	5,000	0,200	0,84
15	10,000	0,100	1,28
16	20,000	0,050	1,64
17	50,000	0,020	2,05
16	100,000	0,010	2,33
20	500,000	0,002	2,88

Sumber : Suripin, 2004

3.19.2 Metode Distribusi Log Normal

Jika Variable acak $Y = \log X$ terdistribusikan secara normal, maka x dikatakan mengikuti distribusi Log Normal. Ini dapat dinyatakan sebagai berikut (Suripin:2004)

Keterangan:

Y_T = Perkiraan nilai yang diharapkan terjadi dengan periode ulang T-tahunan

\bar{Y} = Nilai rata-rata hitung variat

K_T = Faktor frekuensi, merupakan fungsi dari peluang atau periode ulang

S= Standard Deviasi

4.19.2 Metode Distribusi Log Person III

Distribusi ini tidak memiliki konsep yang melatar belakangi pemakaian distribusi Log Normal untuk banjir puncak, maka distribusi probabilitas ini hampir

tidak berbasis teori. Salah satu distribusi dari serangkaian distribusi yang dikembangkan Person yang menjadi perhatian ahli sumberdaya air adalah Log-Pearson Type III. Tiga parameter penting yang diperlukan oleh distribusi Log-Pearson Type III adalah:

- a. Harga rata-rata
 - b. Simpangan baku
 - c. Koefisien kemencengan (jika koefisien kemencengan sama dengan nol, distribusi kembali ke distribusi Log Normal)

Berikut ini langkah-langkah penggunaan distribusi Log-Pearson Type III (Suripin:2004)

- a. Ubah data kedalam bentuk logaritmis, $X = \log Y$
 - b. Hitung harga rata-rata

- c. Hitung harga simpangan baku

$$S = \left(\frac{1}{n-1} \sum_{i=1}^n (\log X_i - \log \bar{x})^2 \right)^{0.5} \dots \quad (2.7)$$

- d. Hitung koefisien kemencengan atau kecondongan

$$G = \frac{n \sum_{i=1}^n (\log X_i - \log \bar{X})^2}{(n-1)(n-2)s^3} \dots \dots \dots (2.8)$$

- e. Hitung logaritma hujan atau banjir dengan periode ulang T dengan rumus:

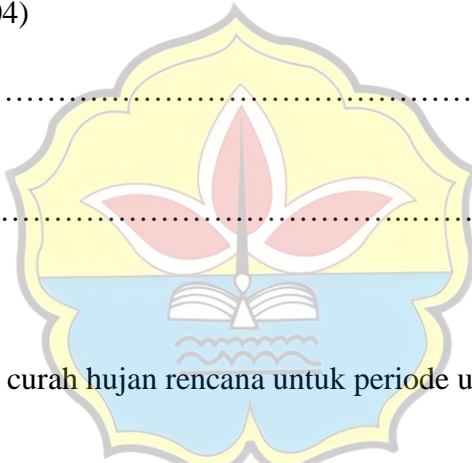
Nilai K untuk Log – Pearson III dapat dilihat pada lampiran 3

5.19.2 Metode Gumbel

Distribusi Gumbel umumnya digunakan untuk analisis data ekstrem, misalnya untuk analisis frekuensi banjir. Persoalan yang utama dengan nilai-nilai ekstrim datang dari persoalan banjir.

Apabila jumlah populasi yang terbatas (sampel), maka persamaan dapat dilihat (Suripin:2004)

Keterangan:



X_T = Besarnya curah hujan rencana untuk periode ulang T tahun

\bar{X} = Harga rata-rata dari data curah hujan

S = Simpangan baku data hujan

K_T = Faktor frekuensi

Y_n = Reduced mean sebagai fungsi dari banyak n data

Y_T = Reduced variate sebagai fungsi dari banyak periode ulang T tahun

S_n = Reduced standard deviasi sebagai fungsi dari banyaknya n data

Nilai Y_n (*Reduced Mean*) dapat dilihat pada tabel berikut :

Tabel 2.2 Reduced Mean, Y_{nr} Sebagai Fungsi Periode Ulang

N	0	1	2	3	4	5	6	7	8	9
10	0,4952	0,4996	0,5035	0,507	0,51	0,5128	0,5157	0,5181	0,5202	0,522
20	0,5236	0,5252	0,5268	0,5283	0,5296	0,5309	0,532	0,5332	0,5343	0,5353
30	0,5362	0,5371	0,538	0,5388	0,5396	0,5403	0,541	0,5418	0,5424	0,5436
40	0,5436	0,5442	0,5448	0,5453	0,5458	0,5463	0,5468	0,5473	0,6477	0,5481
50	0,5485	0,5489	0,5493	0,5497	0,5501	0,5504	0,5508	0,5511	0,5515	0,5518
60	0,5521	0,5524	0,5527	0,553	0,5533	0,5535	0,5538	0,554	0,5543	0,5543
70	0,5548	0,555	0,5552	0,5555	0,5557	0,5559	0,5561	0,5563	0,5565	0,5567
80	0,5569	0,557	0,5572	0,5574	0,5576	0,5578	0,558	0,5581	0,5583	0,5585
90	0,5586	0,5587	0,5589	0,5591	0,5592	0,5593	0,5595	0,5596	0,5598	0,5599
100	0,56	0,5602	0,5603	0,5604	0,5606	0,5607	0,5608	0,5609	0,561	0,5611

Sumber : Suripin, 2004

Nilai Y_t (Reduced Variate) dapat dilihat pada tabel berikut :**Tabel 2.3 Reduced Variate, Y_{Tr} Sebagai Fungsi Periode Ulang**

Periode Ulang, $T_r(Tahun)$	Reduced Variate Y_{Tr}	Periode Ulang, $T_r(Tahun)$	Reduced Variate Y_{Tr}
2	0,3668	100	4,6012
5	1,5004	200	5,2969
10	2,251	250	5,5206
20	2,9709	500	6,2149
25	3,1993	1000	6,9087
50	3,9028	5000	8,5188
75	4,3117	10000	9,2121

Sumber : Suripin, 2004

Nilai S_n (Reduced Standard Deviation) dapat dilihat pada tabel berikut :

Tabel 2.4 Reduced Standard Deviation, S_n Sebagai Fungsi Periode Ulang

N	0	1	2	3	4	5	6	7	8	9
10	0,9496	0,9576	0,9833	0,9971	1,0095	1,0206	1,0316	1,0411	1,0493	1,0565
20	1,0628	1,0696	1,0754	1,0811	1,0864	1,0915	1,0961	1,1004	1,1047	1,108
30	1,1124	1,1159	1,1193	1,1226	1,1255	1,1285	1,1313	1,1339	1,1363	1,1388
40	1,1413	1,1436	1,1458	1,148	1,1499	1,1519	1,1538	1,1557	1,1574	1,159
50	1,1607	1,1623	1,1638	1,1658	1,1667	1,1681	1,1696	1,1708	1,1721	1,1734
60	1,1747	1,1759	1,177	1,1762	1,1793	1,1803	1,1814	1,1824	1,1834	1,1844
70	1,1854	1,1863	1,1873	1,1881	1,189	1,1898	1,1906	1,1915	1,1923	1,193
80	1,1938	1,1945	1,1953	1,1959	1,1967	1,1973	1,198	1,1987	1,1994	1,2001
90	1,2007	1,2013	1,202	1,2026	1,2032	1,2038	1,2044	1,2049	1,2055	1,206
100	1,2065	1,2069	1,2073	1,2077	1,2081	1,2084	1,2087	1,209	1,2093	1,2096

Sumber : Suripin, 2004

2.12 Uji Keselarasan Distribusi

Diperlukan pengujian parameter untuk menguji kecocokan (*The Goodness of fittest test*) distribusi frekuensi sample data terhadap fungsi distribusi peluang yang diperkirakan dapat menggambarkan atau mewakili distribusi frekuensi tersebut.

Pengujian parameter yang sering dipakai adalah:

Tabel 2.5 Uji Distribusi

Jenis Distribusi	Syarat	Perhitungan	Kesimpulan
Normal	$C_s = 0$	-0,09	Tidak Memenuhi
	$C_k = 3$	5,67	
Log Normal	$C_s = 3C_v + C_v^3 = 0,087$	-1,180	Tidak Memenuhi
	$C_k = C_v^8 + 6C_v^6 + 15C_v^4 + 16C_v^2 + 3 = 3,01$	6,680	

Log Pearson III	$C_s \neq 0$	0,031	Memenuhi
	$C_k \neq 0$	-1,180	
Gumbel	$C_s = 1,14$	-0,09	Tidak Memenuhi

Sumber: Suripin, 2004

2.12.1 Uji Kuadrat

Uji Chi-kuadrat dimaksudkan untuk menentukan apakah persamaan distribusi yang telah dipilih memenuhi syarat untuk dijadikan dasar dalam menentukan debit air rencana dengan periode ulang tertentu atau mewakili distribusi statistik sampel data yang dianalisis. Pengambilan keputusan uji ini menggunakan parameter X^2 , yang dapat dihitung dengan rumus sebagai berikut (Suripin:2004):

Keterangan:

h = Parameter chi-kuadrat terhitung

G = Jumlah sub kelompok

O_i = Jumlah nilai pengamatan pada sub kelompok i

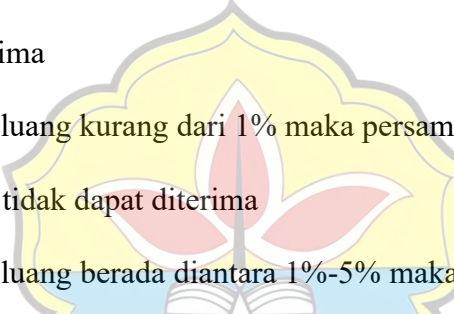
E_i = Jumlah nilai teoritis pada sub kelompok i

Prosedur Uji Chi-kuadrat adalah sebagai berikut:

1. Urutkan data pengamatan (dari besar kekecil atau sebaliknya)
 2. Kelompokkan data menjadi G sub grup yang masing-masing beranggotakan minimal 4 data pengamatan
 3. Jumlah data pengamatan berdasarkan O_i tiap tiap sub-grup

4. Jumlahkan data dari persamaan distribusi yang digunakan sebesar E_i
 5. Pada tiap sub-grup hitung nilai
 6. Jumlah seluruh G sub-grup nilai $\frac{(O_i - E_i)^2}{E_i}$ untuk menentukan nilai chikuadrat terhitung.
 7. Tentukan derajat kebebasan $dk = G - R - I$ (nilai R = 2 untuk distribusi normal dan bionomial)

Interpretasi hasil uji adalah sebagai berikut:

- 
 - a. Apabila peluang lebih dari 5%, maka persamaan distribusi yang digunakan dapat diterima
 - b. Apabila peluang kurang dari 1% maka persamaan distribusi yang digunakan tidak dapat diterima
 - c. Apabila peluang berada diantara 1%-5% maka tidak mungkin mengambil keputusan, misal perlu data tambahan.

Nilai kritis untuk distribusi chi-kuadrat dapat dilihat pada lampiran 4.

2.13 Koefisien Limpasan (C)

Koefisien limpasan merupakan nilai banding antara bagian hujan yang membentuk limpasan langsung dengan hujan total yang terjadi. Koefisien limpasan untuk tiap bagian daerah yang memiliki fungsi lahan yang berbeda dapat dihitung dengan rumus (Triatmodjo:2008)

$$C = \frac{\sum c_i A_i}{\sum A_i} \dots \quad (2.12)$$

Keterangan :

C_i = Koefisien limpasan untuk daerah dengan luasan A_i

A_i = Luasan dengan nilai C yang berbeda

$\sum A_i$ = Penjumlahan semua luasan dengan nilai C yang berbeda.

Untuk mempermudah perhitungan koefisien limpasan, dapat dilihat pada Tabel 2.6, dimana pada tabel tersebut terdapat angka – angka koefisien limpasan pada masing – masing fungsi lahan.

Tabel 2.6 Koefisien Limpasan

Daerah	Koefisien aliran (C)
Perumahan tidak begitu rapat	0,25 - 0,40
Perumahan kerapatan sedang	0,40 - 0,70
Perumahan rapat	0,70 - 0,80
Taman dan daerah rekreasi	0,20 - 0,30
Daerah industry	0,80 - 0,90
Daerah perniagaan	0,90 - 0,95

Sumber : Wesli, 2008

2.14 Waktu Konsentrasi (tc)

Waktu konsentrasi yang dimaksud adalah waktu yang diperlukan saat air hujan jatuh pada titik awal hulu saluran sampai pada titik hilir saluran. Salah satu metode untuk memperkirakan waktu konsentrasi adalah rumus yang dikembangkan oleh Kirpich dengan rumus sebagai berikut:

Rumus Rasional :

$$T_d = \frac{L_s}{3600 x V} \dots \dots \dots \quad (2.14)$$

Keterangan :

Tc = Waktu Konsentrasi /jam

To = Waktu yang di perlukan air untuk mengalir di permukaan ke saluran /jam

Td = Waktu perjalanan dari pertama masuk saluran sampai titik keluar /jam

2.15 Intensitas Curah Hujan

Intensitas curah hujan adalah jumlah hujan yang dinyatakan dalam tinggi atau kedalaman air hujan per satuan waktu. Sifat umum hujan adalah semakin hujan berlangsung intensitasnya cenderung semakin tinggi dan semakin besar periode ulangnya semakin tinggi pula intensitasnya.

Besarnya intensitas hujan sangat berpengaruh terhadap besarnya debit yang akan dibuang. Intensitas hujan berbanding lurus dengan debit. Semakin besar intensitas hujan, maka debit yang harus dialirkan pada daerah tersebut akan semakin besar.

Salah satu cara yang dapat digunakan untuk menentukan besarnya intensitas hujan adalah dengan rumus Mononobe (Suripin:2004)

$$I = \frac{R_{24}}{24} \left(\frac{24}{t} \right)^2 /_3 \dots \dots \dots \quad (2.16)$$

Keterangan:

I = Intensitas curah hujan (mm/jam)

t = Waktu (durasi) curah hujan (menit)

R_{24} = Curah hujan maksimum dalam 24 jam (mm)

2.16 Periode Ulang Hujan

Menurut Robert J. Kodoatie (2013), kala ulang atau periode ulang dapat didefinisikan sebagai interval waktu dari suatu peristiwa yang mencapai suatu harga tertentu atau melampaui harga tersebut. Pengertian Q_{25} tidak berarti terjadi banjir setiap 25 tahun. Analisis periode ulang debit menggunakan ilmu statistik dalam menentukan besaran tersebut, yaitu dalam konsep analisis kemungkinan (Probability). Periode ulang tahunan adalah rerata selang waktu perkiraan terjadinya banjir. Berikut tabel periode ulang yang diisyaratkan menurut Departemen Pekerjaan Umum:

Tabel 2.7 Periode Ulang yang Diisyaratkan

Bangunan / Saluran Drainase	Periode Ulang
Sungai Besar atau Saluran Primer	25 tahun
Sungai Kecil	10 tahun
Saluran Sekunder	10 tahun
Saluran Tersier (Saluran Permukiman)	1 tahun
Saluran Tersier (Industri dan Komersial)	2 tahun
Gorong-gorong	10 tahun
Gorong-gorong Jalan Tol	25 tahun
Saluran Drainase Jalan	5 tahun

Sumber: Departemen Pekerjaan Umum, standar Metode Menghitung Design Flood, Jakarta: Badan Penerbit PU (1990).

2.17 Perhitungan Debit Banjir Rencana

Metode rasional adalah metode untuk menghitung debit banjir maksimum dari curah hujan.

Rumus metode rasional : (Wesli:2008)

Keterangan :

Q_T = Debit rencana ($m^3/detik$)

C = Koefesien pengaliran

I_T = Itensitas curah hujan dengan periode ulang (T) tahun (mm/jam)

A = Luas daerah aliran (Km^2)

2.18 Koefisien Kekasarmanan Manning untuk Tinggi Muka Air

Rumus Manning mempunyai bentuk yang sangat sederhana tetapi memberikan hasil yang memuaskan, oleh karena itu rumus Manning dapat digunakan untuk mengetahui tinggi muka air suatu sungai . Rumus kecepatan rata-rata pada perhitungan kapasitas penampang saluran menggunakan rumus Manning (Sosrodarsono:2003).

Persamaan untuk debit yang mengalir adalah :

$$Q = \frac{1}{n} x R^{\frac{2}{3}} x S^{\frac{1}{2}} x A \dots \quad (2.20)$$

Keterangan :

V = Kecepatan aliran (m/detik)

- Q = Debit saluran ($m^3/detik$)
 n = Koefisien kekasaran Manning
 R = Jari-jari hidrolik saluran (m)
 So = Kemiringan dasar saluran
 A = Luas penampang aliran (m^2)

Besarnya koefisien Manning dapat mengacu pada tabel 2.7 berikut :

Tabel 2.8 Koefisien Manning

Bahan	Koefisien Manning (n)
Besi tuang dilapis	0,014
Kaca	0,010
Saluran beton	0,013
Bata dilapis mortar	0,015
Lumpur atau pasir	0,025
Saluran tanah bersih	0,022
Saluran tanah bersih	0,030
Saluran dengan dasar batu dan tebing rumput	0,040
Saluran pada galian batu cadas	0,040

Sumber : Wesli, 2008

2.19 Early Warning System

Early Warning System adalah suatu sistem terintegrasi antara pemantauan bahaya, serta prediksi, penilaian resiko bencana, komunikasi dan kesiapsiagaan bencana yang memungkinkan individu, masyarakat serta pemerintah untuk mengambil tindakan yang tepat guna meminimalisir dampak dari suatu bencana.

Early Warning System harus bersifat efektif dan berpusat pada masyarakat. *Early Warning System* dibangun dengan tujuan untuk memberikan informasi tentang bencana alam atau tandatanda yang mendahuluinya dengan harapan bahwa atas

informasi yang diterima setiap orang akan mengambil langkah-langkah pengamanan terhadap dirinya sesegera mungkin. Informasi disampaikan dalam berbagai bentuk, se bisa mungkin dalam Bahasa yang bersifat kritis dan sederhana untuk di pahami. Informasi tentang potensi resiko bahaya adalah output dari pengolahan data-data dari berbagai sumber, yang di proses dengan kecepatan maksimum sehingga diperoleh hasil informasi yang berkualitas, cepat dan mudah diperoleh.

Early Warning System atau Sistem Peringatan Dini merupakan serangkaian sistem untuk memberitahukan akan timbulnya kejadian alam, dapat berupa bencana maupun tanda-tanda alam lainnya. Peringatan dini pada masyarakat atas bencana merupakan tindakan memberikan informasi dengan bahasa yang mudah dicerna oleh masyarakat. Kesigapan dan kecepatan reaksi masyarakat diperlukan karena waktu yang sempit dari saat dikeluarkannya informasi dengan saat (dugaan) datangnya bencana.

Menurut *National Oceanic and Atmospheric Administration* (NOAA), *Flood Early Warning System* merupakan sistem mitigasi bencana non struktural untuk peringatan dini bencana banjir yang terdiri dari empat elemen yang saling terkait, yaitu Penilaian dan pengetahuan tentang risiko banjir di daerah tersebut; Pemantauan bahaya lokal (perkiraan) dan layanan peringatan; Layanan sosialisasi dan penyebaran risiko banjir; Respons kemampuan masyarakat.

Sistem multifungsi ini meningkatkan kesiapsiagaan masyarakat dalam hal peringatan maupun peningkatan pemahaman tentang risiko serta respons banjir

yang tepat untuk meminimalkan ancaman keamanan dan infrastruktur. Sebagai bagian dari peringatan, sistem memberikan prediksi skala, waktu, lokasi, dan kemungkinan kerusakan dari banjir yang akan datang. Sebuah *Flood Early Warning System* biasanya didasarkan pada sejumlah kode warna untuk tingkat peringatan, yang menunjukkan risiko mengenai tingkat peringatan (misalnya, sedang, tinggi, berat). Sistem ini menggunakan data dari sensor untuk mengukur ketinggian air di titik-titik strategis di daerah aliran sungai atau pertahanan banjir (tanggul, bendungan) untuk memperkirakan potensi kejadian banjir.

Menurut Sudarto, Penyediaan *Early Warning System* berupa alat pengirim dan penerima informasi. Infrastruktur ini merupakan teknologi pendekripsi datangnya bencana yang terdiri dari sirine dan lampu. Teknologi ini seharusnya dapat memberikan informasi tentang peringatan terjadinya bencana yang disampaikan dan dapat diterima oleh semua pihak. Informasi peringatan bencana berupa isyarat atau rambu, pesan, audio, dan visual. Alat *Early Warning System* yang normal akan memberi tanda tentang kondisi Sungai secara berkala. Tanda tersebut diberikan melalui nyala lampu, apabila merah berarti kondisi siaga bencana banjir dan kuning berarti untuk kondisi waspada. Alat ini menjadi alat peringatan akan terjadinya banjir. Efektivitas dari alat *Early Warning System* diketahui melalui observasi langsung di lapangan pada wilayah yang rawan banjir dengan menilai ketersediaan dan keberfungsiannya.

Secara umum *Early Warning System* yang merupakan aplikasi sistem untuk memberitahukan akan timbulnya kejadian alam, yang dapat berupa bencana maupun tanda-tanda alam lainnya. Peringatan dini penyampaian informasi tersebut

diwujudkan dalam bentuk sirine, media sosial dan lain sebagainya. Harapannya adalah agar masyarakat dapat merespon informasi tersebut dengan cepat dan tepat karena waktu yang sempit dari saat dikeluarkannya informasi hingga saat (dugaan) datangnya bencana.

Keluarnya informasi tentang kondisi bahaya merupakan muara dari suatu alur proses analisis data-data mentah tentang sumber bencana dan sintesis dari berbagai pertimbangan. Ketepatan informasi hanya dapat dicapai apabila kualitas analisis dan sintesis yang menuju pada keluarnya informasi mempunyai ketepatan yang tinggi. Dengan demikian dalam hal ini terdapat dua bagian utama dalam *Early Waning system* yaitu bagian hulu yang berupa usaha-usaha untuk mengemas data-data menjadi informasi yang tepat dan menjadi hilir yang berupa usaha agar infomasi cepat sampai di Masyarakat.

2.19.1 Tujuan *Early Warning System*

Bagi masyarakat Indonesia, *Early Warning System* dalam menghadapi bencana sangatlah penting, mengingat secara geologis dan klimatologis wilayah Indonesia termasuk daerah rawan bencana alam. Dengan ini diharapkan akan dapat dikembangkan upaya-upaya yang tepat untuk mencegah atau paling tidak mengurangi terjadinya dampak bencana alam bagi masyarakat. Keterlambatan dalam menangani bencana dapat menimbulkan kerugian yang semakin besar bagi masyarakat.

Dalam siklus penanggulangan bencana, sistem peringatan dini bencana alam mutlak sangat diperlukan dalam tahap kesiagaan, sistem peringatan dini untuk

setiap jenis data, metode pendekatan maupun instrumentasinya. Tujuan akhir dari peringatan dini ini adalah masyarakat dapat tinggal dan beraktivitas dengan aman pada suatu daerah serta tertatanya suatu kawasan. Untuk mencapai tujuan akhir tersebut maka sebelumnya perlu dicapai beberapa hal sebagai berikut:

1. Diketahuinya daerah-daerah rawan bencana di Indonesia
2. Meningkatkannya *knowledge, attitude dan practice* dari masyarakat dan aparat terhadap fenomena bencana, gejala-gejala awal dan mitigasinya.
3. Tertatanya suatu kawasan dengan mempertimbangkan potensi bencana.

2.19.2 Target *Early Warning System*

Target yang akan diberi peringatan dini adalah masyarakat dan aparat, terutama yang tinggal di daerah rawan bencana. Target ini seharusnya mencakup beberapa generasi dan beberapa kelas sosial masyarakat. Keterlibatan masyarakat, aparat dan akademisi peneliti dari multi disiplin, misal geografi, geologi, pertanian, teknik sipil, dan ilmu sosial sangat penting dalam sistem peringatan dini. Sistem peringatan dini akan lebih tepat apabila dirumuskan oleh ketiga komponen ini. Apabila salah satu komponen saja yang dominan dikhawatirkna sistem ini tidak akan berjalan efektif.

2.19.3 *Close Circuit Television (CCTV)*

CCTV (*Closed Circuit Television*) merupakan kamera yang dapat digunakan untuk memuat rekaman setiap informasi yang dapat dilihat, dibaca dan didengar dengan bantuan sarana rekaman CCTV. Rekaman CCTV dijadikan sebagai alat bukti yang sistemnya menggunakan video camera untuk menampilkan

dan merekam gambar pada waktu dan tempat tertentu dimana perangkat ini terpasang yang berarti menggunakan signal yang bersifat tertutup, tidak seperti televisi biasa yang merupakan broadcast signal.



2.19.4 *Automatic Rain Recorder (ARR)*

Automatic Rain Recorder (ARR) atau biasa disebut Penakar hujan dengan tipe otomatis merupakan alat ukur dengan mekanisme pencatatan hujan secara otomatis atau perekam yang berfungsi untuk mengukur tinggi rendahnya curah hujan dan dapat mencatat lamanya waktu hujan dengan periode waktu tertentu. Penakar hujan otomatis memiliki kesamaan dengan penakar hujan manual dimana menggunakan tiga komponen yaitu corong, bejana pengumpul dan alat ukur.



Prinsip kerja dari penakar hujan otomatis pada setiap hujan turun, air masuk ke corong dan disalurkan ke pelampung sehingga pena naik dan membuat grafik pada pias dimana ketinggian dari grafik menunjukkan jumlah curah hujan yang turun. Jika curah hujan bernilai 10 mm atau lebih, maka pena menunjukkan nilai 10 mm yang merupakan nilai maksimal dan air akan tumpah dari pelampung ke pipa hevel dan pena turun menjadi angka 0. Namun, jika masih tejadi hujan maka pena akan mencatat lagi, proses ini berlangsung terus menerus. Alat penakar ini dapat mengetahui kapan terjadi hujan, durasi hujan, dan intensitas hujan dalam jangka waktu tertentu. Untuk kapasitas pada pengukuran tidak terbatas, pena yang digunakan jenis pena

cartridge, dan jam Hellman menggunakan pegas sehingga diputar setiap jangka waktu tertentu.

Tabel 2.9 Klasifikasi Curah Hujan 24 Jam

Kriteria Hujan	Jumlah Curah Hujan
Sangat Ringan	< 5 mm
Ringan	5-20 mm
Sedang	20-50 mm
Lebat	50 – 100 mm
Sangat Lebat	> 100 mm

Sumber : Badan Meteorologi, Klimatologi, dan Geofisika (BMKG)

2.19.5 Autmatic Water Lever Recorder (AWLR)

Menurut Triatmodjo (2008), *Autmatic Water Lever Recorder (AWLR)* adalah salah satu alat pencatat muka air sungai otomatis yang mencatat secara kontinyu sepanjang waktu. Pengukuran berdasarkan elevasi terhadap datum lokal (biasanya elevasi muka air laut rata – rata. Pengukuran muka air sungai dilakukan di lokasi yang akan dibuat bangunan air seperti bangunan bendung.

Keuntungan penggunaan *Autmatic Water Lever Recorder (AWLR)* diantaranya yaitu tinggi muka air minimum dan maksimum tercatat secara otomatis dan tepat pada waktu terjadinya. Fluktuasi muka dapat tercatat secara otomatis, meminimalisir kesalahan pengukuran karena faktor manusia, dan masih banyak keuntungan lainnya. Data AWRL masih berupa data elevasi muka air, maka untuk merubah menjadi debit aliran di perlukan *rating curve*. *Rating curve* adalah grafik

hubungan debit dengan elevasi muka air.

Prinsip kerja *Automatic Water Lever Recorder* melibatkan penggunaan sensor tingkat air, unit pengendalian, dan sistem komunikasi untuk memantau dan mengendalikan tingkat air dalam suatu tempat atau waduk. Berikut adalah prinsip kerja umum dari sistem AWLR:

1. Sensor Tingkat Air: *Autmatic Water Lever Recorder* menggunakan sensor khusus yang ditempatkan di dalam sumber air yang akan dimonitor, seperti sumur, tangki, atau sungai. Sensor ini dirancang untuk mendeteksi tingkat air dengan akurasi tinggi. Ada beberapa jenis sensor yang dapat digunakan, seperti sensor tekanan, sensor ultrasonik, atau sensor elektrodes yang mendeteksi perubahan konduktivitas air.
2. Pengukuran dan Pemantauan: Sensor tingkat air terus-menerus mengukur tingkat air dan mengirimkan data pengukuran ke unit pengendalian. Data ini dapat berupa tingkat air aktual atau data yang diolah seperti tingkat air rata-rata dalam periode tertentu.
3. Unit Pengendalian: Unit pengendalian adalah komponen otomatisasi utama dalam sistem *Autmatic Water Lever Recorder*. Ini menerima data dari sensor tingkat air dan melakukan perbandingan dengan parameter yang telah ditentukan sebelumnya. Misalnya, jika tingkat air mencapai batas atas yang telah ditentukan, unit pengendalian dapat mengirimkan perintah untuk mematikan pompa air guna mencegah meluapnya air. Sebaliknya, jika tingkat air terlalu rendah, unit pengendalian dapat mengaktifkan pompa untuk mengisi air.

4. Sistem Komunikasi: *Autmatic Water Lever Recorder* biasanya dilengkapi dengan sistem komunikasi yang memungkinkan pengguna untuk memantau tingkat air dan mengontrol sistem secara jarak jauh. Komunikasi ini dapat menggunakan teknologi nirkabel seperti Wi-Fi, GSM, atau satelit. Pengguna dapat mengakses data pengukuran dan mengirim perintah melalui perangkat seperti komputer, smartphone, atau sistem pemantauan pusat.
5. Alarm dan Notifikasi: Sistem *Autmatic Water Lever Recorder* juga dapat dilengkapi dengan alarm dan notifikasi yang memungkinkan pengguna untuk segera mengetahui jika terjadi masalah dengan tingkat air. Misalnya, jika tingkat air mencapai tingkat yang berbahaya, sistem dapat mengirimkan peringatan melalui pesan teks atau email kepada pengguna atau petugas yang bertanggung jawab.

Dengan prinsip kerja ini, *Autmatic Water Lever Recorder* dapat secara otomatis memantau, mengendalikan, dan memberi tahu pengguna tentang tingkat air dalam waktu nyata, sehingga membantu menghindari potensi kerusakan atau masalah yang terkait dengan tingkat air yang tidak terkendali.



Gambar 2.7 Automatic Rain Water Level Recorder (ARR)

Sumber: PT Mertani, 2018

2.19.6 Antena Global System for Mobil (GSM)

Antena yaitu sebuah transformator atau struktur transmisi antara gelombang terbimbing dengan gelombang ruang bebas atau sebaliknya. Pada umumnya antena memancarkan GEM (Gelombang Elektromagnetik) dan menerima sinyal tersebut. Jenis antena GSM mirip dengan antena omni yang mampu menampung 5 klien sekaligus dan juga digunakan dalam jaringan Point to Multi Point. Global system for mobile atau yang lebih sering dikenal dengan sebutan GSM adalah penyedia data dan voice. Teknologi GSM sendiri memanfaatkan gelombang mikro dan pengiriman sinyal nya dibagi berdasarkan waktu, sehingga informasi yang dikirimkan sampai ke tujuan. Untuk teknologi GSM sendiri kebanyakan diterapkan di komunikasi bergerak, terkhusus untuk telepon genggam atau smartphone. Kelebihan dari GSM adalah interface yang lebih bagi para provider maupun para

penggunaanya. Untuk sebagian jaringan GSM ber operasi pada band 900 MHz dan band 1800 MHz.

2.19.7 Antena Global Positioning System (GPS)

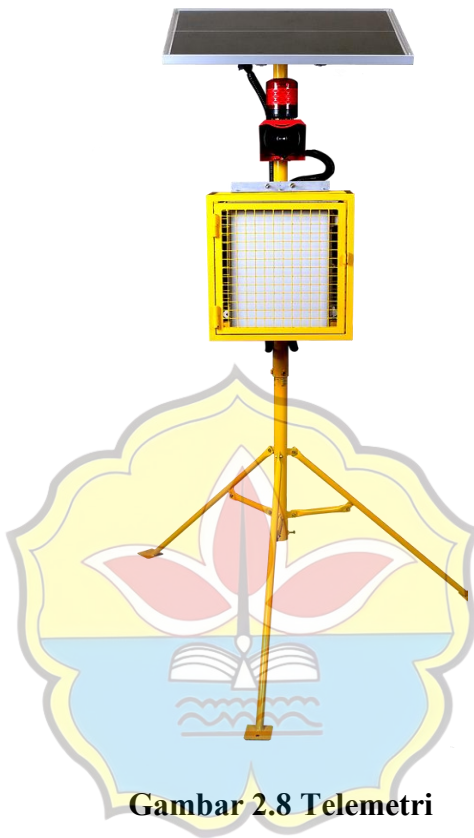
Antena GPS adalah perangkat yang digunakan untuk menerima sinyal dari satelit GPS. Sinyal-sinyal dari satelit GPS digunakan untuk menentukan posisi, kecepatan, dan waktu. Antena GPS dapat digunakan di darat, laut, udara, maupun angkasa. Antena GPS juga merupakan perangkat yang menerima sinyal radio dari frekuensi yang bervariasi. Antena memperluas sinyal dan mengubahnya menjadi sinyal elektronik sehingga dapat ditafsirkan oleh penerima GPS. Penerima GPS kemudian menggunakan sinyal ini untuk memberikan perkiraan lokasi penerima yang akurat.

2.19.8 Telemetri

Telemetri adalah sebuah teknologi pengukuran dilakukan dari jarak jauh dan melaporkan informasi kepada perancang atau operator sistem. Kata telemetri berasal dari bahasa yunani yaitu tele artinya jarak jauh sedangkan metron artinya pengukuran. Secara istilah telemetri diartikan sebagai suatu bidang keteknikan yang memanfaatkan instrumen untuk mengukur panas, radiasi, kecepatan atau property lainnya dan mengirimkan data hasil pengukuran ke penerima yang letaknya jauh secara fisik, berada diluar dari jangkauan pengamat atau user.

Telemetri dalam keadaan bergerak berpengaruh pada saat pengukuran, pengukuran tersebut untuk mendapatkan nilai percepatan pada suatu benda bergerak. Telemetri bergerak sangat rentan terhadap *noise*. *Noise* yang sering

terjadi adalah *noise* dari getaran, suhu, tekanan atmosfer, dan benda yang menjadi penghalang.



Sumber: PT Mertani, 2018

2.19.9 Data Logger

Data logger adalah sebuah alat elektronik yang berfungsi sebagai perekam data dan pengumpulan data secara otomatis. Data yang dikumpulkan diperoleh dari sensor yang mengubah besaran fisika menjadi sinyal dalam bentuk tegangan listrik yang kemudian dikirimkan ke mikroprosesor untuk proses pengolahan sesuai dengan keinginan dan kebutuhan penelitian. Data logger biasanya dilengkapi dengan baterai untuk sumber tenaga dan dilengkapi dengan memori ekternal untuk

tempat penyimpanan data. Beberapa data logger juga dilengkapi dengan papan tampilan seperti LCD sebagai komponen antarmuka dan berdiri sendiri. Dalam sejarahnya data logger memiliki perbedaan dengan sistem akuisisi data. Ada beberapa perbedaan spesifik yang dapat membedakan data logger dengan sistem akuisisi data, diantaranya adalah:

1. Frekuensi data logger lebih lambat dari pada sistem akuisisi data. Data logger memiliki frekuensi paling cepat 1Hz sedangkan sistem akuisisi data memiliki frekuensi paling lambat 1Hz.
2. Data logger adalah perangkat yang dapat berdiri sendiri karena terdapat memori untuk penyimpanan data, sedangkan sistem akuisisi data harus menggunakan komputer untuk memperoleh data.
3. Data logger harus dilengkapi dengan RTC sedangkan sistem akuisisi tidak perlu dilengkapi dengan RTC karena sudah terdapat pada komputer yang digunakan.

2.19.10 Solar Cell

Menurut Purwoto (2018), Solar Cell atau sel surya adalah suatu komponen yang dapat mengkonversi energi cahaya matahari menjadi energi listrik. Sel surya ini bekerja menggunakan efek potovoltaic atau disebut dengan sel photovoltaic. Sel photovoltaic atau efek photovoltaic yaitu suatu fenomena dimana munculnya tegangan listrik karena adanya hubungan atau kontak dua elektroda yang dihubungkan dengan sistem padat atau cair saat mendapatkan energi cahaya. Maka dari itu, solar cell atau sel surya sering disebut dengan sel photovoltaic (PV). Efek photovoltaic dapat dikatakan sebagai teknologi yang fungsinya untuk

mengkonversi radiasi cahaya matahari menjadi energi listrik secara langsung. Solar cell juga merupakan sebuah hamparan semikonduktor yang dimana dapat menyerap photon dari sinar matahari mengubah menjadi energi listrik.



Gambar 2.9 Solar Cell

Sumber: PT. Mertani, 2018

2.20 Penelitian Terdahulu

Penelitian ini didasari oleh penelitian terdahulu baik dari jenis penelitian maupun metode penelitian yang digunakan. Penjelasan beberapa penelitian terdahulu yang relevan dapat dilihat pada tabel 2.12 berikut

Tabel 2.12 Penelitian Terdahulu

No	Judul/Penulis/Tahun/ Intansi	Tujuan	Metode	Kesimpulan
1	Kajian Early Warning System untuk banjir studi kasus di kenjeran surabaya / Hari, Widianto, Puspa, Dewi, Rusguwanto, Yanggah / 2023 / Universitas Widya kartika, Universitas Kristen petra, Universitas Bina Nusantara.	Untuk mengukur ketinggian muka air dan mengetahui kinerja rumah pompa terhadap sistem EWS.	Action Research	Dari hasil analisa jumlah EWS yang ada di Surabaya, khususnya di daerah Kenjeran sudah sesuai karena telah mencakup 80% dari areal wilayah tersebut.
2	Rancang Bangun <i>Monitoring Early Warning System</i> Banjir Berdasarkan Ketinggian Aliran Sungai Menggunakan Modem SIM900 dan <i>Internet of Things</i> / Sumardiono, Alimudin, zaenurrohman, Susanti / 2022 / Politeknik Negeri Cilacap.	Untuk memberikan <i>alarm</i> warga sekitar sungai agar lebih siaga dan menyebarkan informasi melalui <i>website</i> .	Modem SIM900	Hasil pengujian menunjukkan bahwa persentase <i>error</i> pengukuran jarak sensor yang terbaca di serial monitor dengan yang terukur pada penggaris sangat kecil, yaitu 0,00023 % pada sensor 1.

3	<i>Early Warning System Berbasis Internet Of Things (IOT)</i> pada Daerah Rawan Bencana Banjir di Kota Semarang / Sari dan Christianto / 2023 / Universitas semarang.	Untuk membangun sistem deteksi dini banjir di kota semarang	<i>Prototype</i>	<i>Prototype early warning system berbasis Internet of Things (IOT) merupakan alternatif baru yang sangat minim di daerah Kota Semarang khususnya Kelurahan Dadapsari.</i>
4	Perancangan sistem peringatan dini banjir berbasis mikrokontroler dan <i>short message service</i> /Ramadhan, Kurniawan, Sugiana / 2020 / Universitas Telkom.	Untuk memberikan siaga dini banjir kepada warga di kecamatan balendah.	 Program Arduino IDE	Jika ketinggian air sudah lebih dari 200cm maka sistem akan mengirimkan SMS otomatis berupa potensi terjadinya banjir.
5	Monitoring Ketinggian Air dan Curah Hujan Dalam <i>Early Warning System</i> Bencana Banjir Berbasis IoT / Wandi, dan Ashari / 2023 / Universitas Gajah Mada.	Untuk memantau ketinggian air dan mengembangkan sistem untuk mengirim informasi notifikasi kepada pengguna.	 Rancangan Model	Penggunaan sensor ketinggian air dan sensor curah hujan sangat diperlukan dalam pembuatan sistem <i>Early Warning System</i> untuk mendeteksi potensi banjir dengan baik.

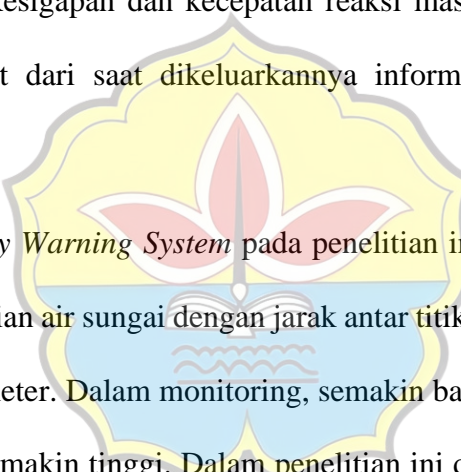
Sumber : Data Olahan Penulis (2024)

BAB III

METODOLOGI PENELITIAN

3.1 Studi Pendahuluan

Early Warning System atau Sistem Peringatan Dini merupakan serangkaian sistem untuk memberitahukan akan timbulnya kejadian alam, dapat berupa bencana maupun tanda-tanda alam lainnya. Peringatan dini pada masyarakat atas bencana merupakan tindakan memberikan informasi dengan bahasa yang mudah dicerna oleh masyarakat. Kesigapan dan kecepatan reaksi masyarakat diperlukan karena waktu yang sempit dari saat dikeluarkannya informasi dengan saat (dugaan) datangnya bencana.



Sistem *Early Warning System* pada penelitian ini terdapat dua titik sistem pembacaan ketinggian air sungai dengan jarak antar titik (skala laboratorium) yaitu dengan jarak 100 meter. Dalam monitoring, semakin banyak data yang didapatkan maka akurasinya semakin tinggi. Dalam penelitian ini digunakan dua titik sebagai simulasi. Penempatan titik pembacaan ketinggian air dapat diibaratkan titik-titik aliran sungai yang rawan banjir. Studi pendahuluan ini dapat menjadi acuan, baik dalam rangka pengenalan dan perumusan hipotesis.

3.2 Studi Literatur

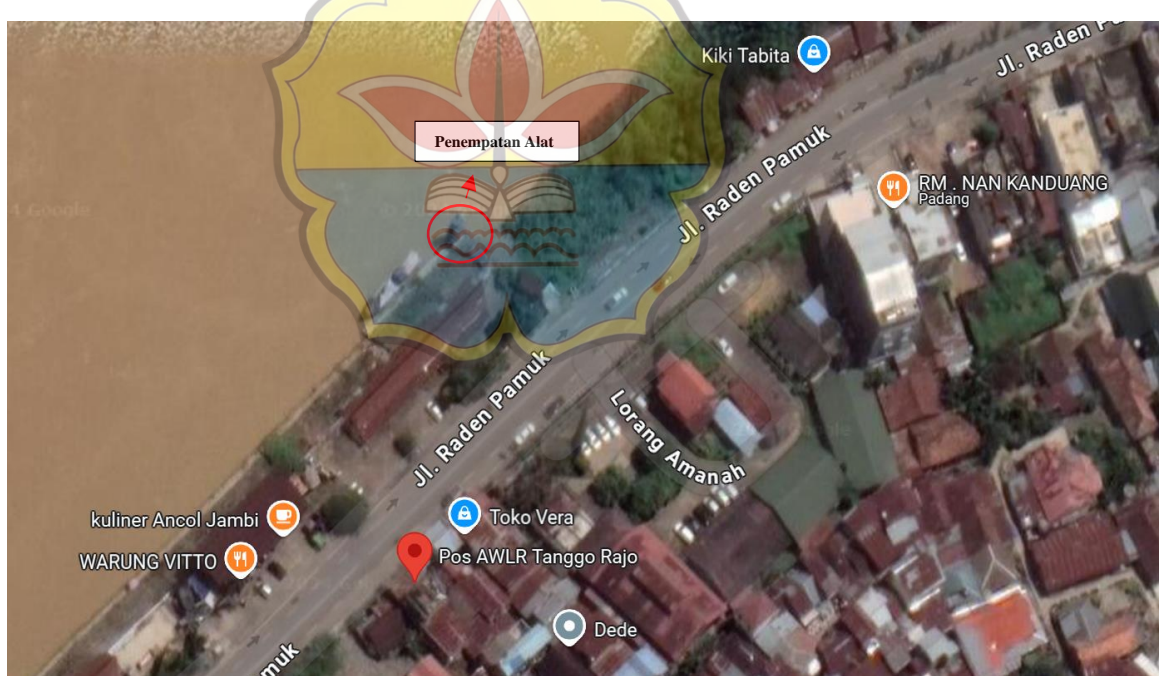
Studi literatur adalah sebuah proses dimana seorang penulis skripsi melakukan pencarian informasi dari berbagai sumber untuk memperoleh pemahaman yang lebih baik tentang topik penelitiannya. Dalam studi literatur, penulis skripsi akan mencari literatur dari berbagai sumber seperti buku, jurnal,

artikel, dan sumber informasi elektronik lainnya yang relevan dengan topik penelitian yang sedang diangkat.

Dalam melaksanakan studi literatur, penulis skripsi harus memperhatikan kualitas dan relevansi dari literatur yang digunakan serta kemampuan untuk mensintesis dan mengintegrasikan temuan dari literatur yang telah dibaca. Untuk referensi literatur bisa dilihat pada Tabel 2.12 Penelitian Terdahulu.

3.3 Lokasi Penelitian

Penelitian dilakukan di Pos AWLR Tanggo Rejo yang terletak di Jalan Sultan Thaha No.17,Pasar Jambi, Kec. Pasar Jambi, Kota Jambi, Jambi 36123.



Gambar 3.1 Lokasi Penelitian dan Penempatan Alat

Sumber : Google Earth (2024)

3.4 Jenis Penelitian

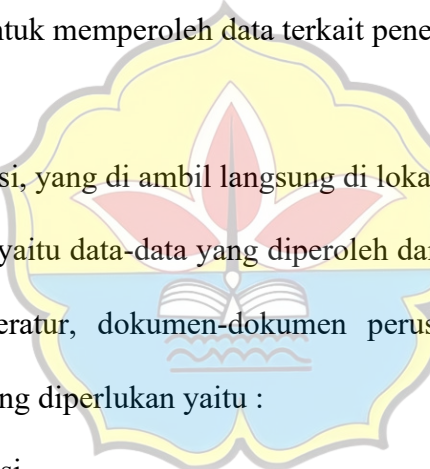
Jenis penelitian yang digunakan adalah Penelitian Deskriptif dengan pendekatan kualitatif. Penelitian ini dilakukan dengan melakukan survei pada

Lokasi terkait dengan hasil berupa observasi kemudian dianalisis secara kualitatif.

3.5 Teknik Pengumpulan Data

Data penelitian merujuk pada informasi atau bahan yang digunakan sebagai dasar dalam melakukan analisis, interpretasi, dan penarikan kesimpulan dalam penelitian. Data yang digunakan pada penelitian ini antara lain:

1. Data Primer yaitu data-data yang diperoleh langsung dari sumber asli, diamati, dan dicatat. Data Primer dalam penelitian ini diperoleh dengan cara :
 - a. Observasi lapangan, yaitu dengan pengamatan/survei secara langsung ke lapangan untuk memperoleh data terkait penelitian.
 - b. Kuisioner
 - c. Dokumentasi, yang di ambil langsung di lokasi Penelitian
2. Data Sekunder yaitu data-data yang diperoleh dari penelitian yang sudah ada, jurnal, dan literatur, dokumen-dokumen perusahaan serta situs internet.



Adapun data yang diperlukan yaitu :

- a. Denah lokasi
- b. Data curah hujan dari 2014-2023 yang di peroleh dari Badan Meteorologi Klimatologi dan Geofisika (BMKG)

3.6 Metode Penelitian

Metode yang digunakan pada penelitian ini adalah Metode Rasional, Analisis Distribusi dan Frekuensi, dan Tujuannya untuk menghasilkan perhitungan dari data curah hujan yang sudah diolah Perhitungan dan analisis berdasarkan urutan pekerjaannya dilakukan setelah data terkumpul.

3.7 Pengumpulan Data

Sebelum memulai pengumpulan dan pengolahan data, maka tahap - tahap persiapan dengan kegiatan yang diperlukan sebagai berikut. Tahap persiapan meliputi kegiatan - kegiatan berikut :

1. Studi pustaka terhadap materi untuk menentukan garis besarnya.
2. Menentukan data-data yang diperlukan
3. Menyiapkan surat izin penelitian ke instansi-instansi terkait seperti Badan Meteorologi Klimatologi dan Geofisika (BMKG).
4. Penyebaran data kuisioner kepada masyarakat terdampak banjir.
5. Survey lokasi untuk mendapatkan gambaran umum kondisi sebenarnya.

3.8 Tahapan Penelitian

Kegiatan penelitian merupakan suatu proses pemecahan masalah secara sistematis untuk menjelaskan bagaimana penelitian berlangsung, sehingga mampu menghasilkan kesimpulan yang akurat, yaitu dengan cara:

- a. Kepustakaan

Kepustakaan data didapatkan dengan cara mengumpulkan berbagai data yang berasal dari literatur, jurnal, dokumen, mengolah data tertulis, buku-buku referensi atau buku-buku sumber yang mempunyai hubungannya dengan objek kajian.

- b. Metode Observasi

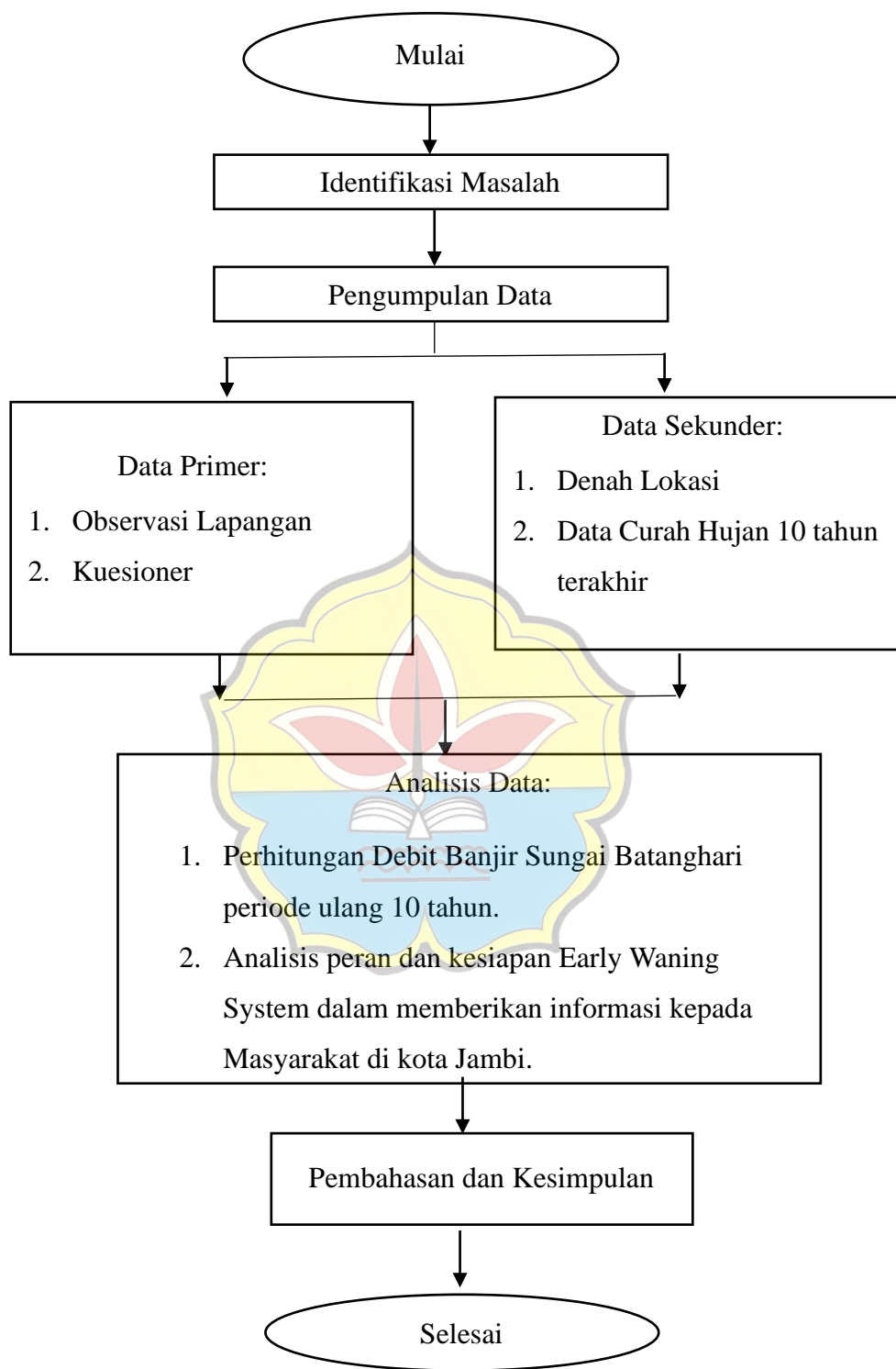
Metode observasi yang dimaksud merupakan suatu cara pengumpulan data, dengan melakukan pengamatan langsung ke lokasi untuk mengetahui kondisi sebenarnya di lapangan. Pengumpulan data dengan cara mengiventarisasi data

curah huajn dan klimatologi dari Badan Meteorologi Klimatologi dan Geofisika (BMKG) antara lain, Data curah hujan bulanan dengan periode 10 Tahun 2014-2023 didapat dari Badan Meteorologi Klimatologi dan Geofisika (BMKG) Sultan Thaha Jambi.

3.9 Bagan Alir

Bagan alir adalah tahapan untuk memudahkan dalam pembahasan serta analisa. Bagan Alir pada proses penelitian ini dapat dilihat pada Gambar 3.2.





Gambar 3.2 Bagan Alir Penelitian

Sumber: Data Olahan (2024)

BAB IV

ANALISA DAN PEMBAHASAN

4.1 Deskripsi Data

Daerah Aliran Sungai Batanghari merupakan DAS terbesar kedua di Indonesia (Departemen Kehutanan, 2002)

Luas DAS = 49,000 km²

Panjang Sungai = 870 km

Lebar Sungai = 273,14 meter

Panjang Sungai *Existing* = 150 meter



Gambar 4.1 Panjang Sungai Existing

Sumber: Google Earth (2025)

4.2 Analisa Curah Hujan

4.2.1 Curah Hujan Bulanan Maksimum

Untuk menganalisa curah rencana dan debit banjir rencana pada Sungai Batanghari diperlukan data curah hujan bulanan selama 10 tahun terakhir (2014-2023). Pada penelitian ini data curah hujan yang digunakan diperoleh BMKG Kota Jambi. Berikut ini data curah hujan 10 tahun terakhir pada Stasiun Meteorologi Sultan Thaha Jambi.

Tabel 4. 1 Tabel Data Curah Hujan Kota Jambi

	2014	2015	2016	2017	2018	2019	2020	2021	2022	2023
Bulan	Curah Hujan (mm)									
Januari	92	158	104	129	135	167	152	192	292	191
Februari	26	111	195	191	220	291	86	48	173	158
Maret	101	178	70	196	307	151	232	357	305	286
April	338	304	234	298	212	386	205	329	127	171
Mei	109	134	80	158	290	161	220	231	197	335
Juni	102	35	76	233	87	160	95	145	148	197
Juli	195	73	127	55	31	21	198	186	227	150
Agustus	185	37	199	68	75	3	96	145	251	63
September	67	110	109	216	209	48	182	343	176	77
Oktober	101	36	130	230	138	195	368	236	478	26
November	228	345	209	340	421	95	268	313	269	227
Desember	238	298	140	273	237	148	324	247	156	210

Sumber : Data BMKG Sultan Thaha Jambi, 2024

Tabel 4. 2 Curah Hujan Rata-Rata

No	Tahun	Σx	X_i (mm)
1	2014	1782	148,5
2	2015	1819	151,58
3	2016	1673	139,42
4	2017	2387	198,92
5	2018	2362	196,83
6	2019	1826	152,17
7	2020	2426	202,17
8	2021	2773	231
9	2022	2799	233,25
10	2023	2091	174,25
Jumlah			1828,09
Rata-rata			182,80

Sumber : Data Olahan, 2024

Contoh Perhitungan jumlah Curah Hujan 2014

$$\begin{aligned}\sum x &= 92+26+101+338+109+102+195+185+67+101+228+238 \\ &= 1782\end{aligned}$$

Contoh Perhitungan Curah hujan rata-rata tahun 2014

 $\sum x$ pada Tahun 2014 adalah 1782

$$X_i = \frac{\sum x}{n} = \frac{1782}{12} = 148,5 \text{ mm}$$

Contoh Perhitungan Curah hujan rata-rata 10 tahun terakhir

 $\sum x$ 10 tahun terakhir adalah 1828,09

$$X_i = \frac{\sum x}{n} = \frac{1828,09}{10} = 182,80 \text{ mm}$$

1.2.2 Curah Hujan Tahunan Daerah

Analisa dilakukan dengan metode rata-rata aljabar. Metode ini biasa digunakan untuk mendapatkan besaran curah hujan untuk penyusunan rancangan pengendalian banjir (Sosrodarsono & Takeda, 1977).

Hujan kawasan diperoleh dari persamaan (Suripin, 2004):

$$P = \frac{P_1 + P_2 + P_3 \dots + P_n}{n}$$

Keterangan:

P = Curah hujan tercatat (mm)

P₁,...,P_n = Curah hujan di stasiun pengukuran (mm)

n = Jumlah stasiun pengukuran

Rata-rata maksimum diambil sebagai curah hujan areal Sungai Batanghari.

Tabel 4. 3 Data Curah Hujan Maksimum Tahunan (2014-2023)

Tahun	P rencana (mm)
2014	338
2015	345
2016	234
2017	340
2018	421
2019	386
2020	368
2021	357
2022	478
2023	335
Jumlah (Σ)	3602

Sumber : Data Olahan, 2024

P rencana Tahunan didapat dari curah hujan maksimum Per-Tahun pada **Tabel 4.1**

Tabel 4. 4 Data Curah Hujan Maksimum Bulanan (Januari-Desember)

Bulan	P rencana (mm)
Januari	292
Februari	291
Maret	357
April	386
Mei	335
Juni	233
Juli	227
Agustus	251
September	343
Oktober	478
November	421
Desember	324

Sumber : Data Olahan, 2024

P rencana Bulanan didapat dari Curah hujan Maksimum Per-Bulan pada **Tabel 4.1**

Hubungan antara curah hujan bulanan dan tahunan sangat penting untuk memahami siklus hidrologi dalam suatu wilayah. Curah hujan bulanan memungkinkan perhitungan curah hujan efektif yang dapat diakses oleh tanaman atau digunakan untuk menghitung curah hujan yang dapat berkontribusi pada aliran sungai dan reservoir. Dalam hal ini, data tahunan memberi gambaran tentang total pasokan air dari curah hujan, sedangkan data bulanan memberikan informasi yang diperlukan untuk perencanaan harian atau musiman (A.W Cowan, 1979).

4.3 Analisis Distribusi Curah Hujan

Untuk penentuan curah hujan yang akan dipakai dalam menghitung besarnya debit banjir rencana berdasarkan analisa distribusi curah hujan, awalnya dengan pengukuran dispersi dilanjutkan pengukuran dispersi dengan logaritma untuk menentukan jenis distribusi yang digunakan dan kemudian pengujian kecocokan sebaran dengan menggunakan uji chi-kuadrat. Dari hasil perhitungan curah hujan maksimum tahunan dengan metode rata-rata aljabar diatas perlu ditentukan kemungkinan terulangnya curah hujan maksimum harian guna menentukan debit banjir rencana.

4.3.1 Penentuan Jenis Distribusi

4.3.1.1 Metode Distribusi Normal

Metode distribusi normal dalam analisis curah hujan adalah pendekatan statistik yang digunakan untuk memodelkan dan memahami pola distribusi curah hujan yang terjadi di suatu daerah.

Tabel 4. 5 Perhitungan Variabel Dispersi Distribusi Normal

No	Tahun	Curah Hujan Maks (Xi)	(Xi - X)	(Xi - X) ²	(Xi - X) ³	(Xi - X) ⁴
1	2014	338	-22,2	492,84	-10941,048	242891,2656
2	2015	345	-15,2	231,04	-3511,808	53379,4816
3	2016	234	-126,2	15926,44	-2009916,72	253651491,1
4	2017	340	-20,2	408,04	-8242,408	166496,6416
5	2018	421	60,8	3696,64	224755,712	13665147,29
6	2019	386	28,5	812,25	23149,125	659750,0625
7	2020	368	7,8	60,84	474,552	3701,5056
8	2021	357	-3,2	-10,24	-32,768	104,8576
9	2022	478	117,8	13876,84	1634691,752	192566688,4
10	2023	335	-25,2	635,04	-16003,008	403275,8016
Jumlah		3602	2,7	36129,73	-165576,627	461412926,4
\bar{x}		360,2				
S		63,25				

Sumber : Data Olahan, 2024

a. Perhitungan Dispersi Distribusi Normal

$$\text{Nilai } (X_i - \bar{X}) \text{ Tahun 2014} = (338 - 360,2) = -22,2$$

$$\text{Nilai } (X_i - \bar{X})^2 \text{ Tahun 2014} = (-22,2)^2 = 492,84$$

$$\text{Nilai } (X_i - \bar{X})^3 \text{ Tahun 2014} = (492,84) = -10941,048$$

$$\text{Nilai } (X_i - \bar{X})^4 \text{ Tahun 2014} = (-10941,048) = 242891,2656$$

Nilai rata-rata curah hujan

$$X = \frac{\Sigma x}{n} = \frac{3602}{10} = 360,2$$

Standar Deviasi (S)

$$S = \sqrt{\frac{\sum(x_i - \bar{x})^2}{n-1}} = \sqrt{\frac{36129,73}{9}} = 63,25$$

Koefisiien Variasi (C_v)

$$C_v = \frac{s}{x} = \frac{63,25}{360,2} = 0,17$$

Koefisien skewness (C_s)

$$C_s = \frac{n \sum (x_i - \bar{x})^3}{(n-1)(n-2) s^3} = \frac{(10)(36129,73)}{(10-1)(10-2)63,25} = -0.09$$

Koefisien Kurtosis (C_k)

$$C_k = \frac{n^2 \sum (x_i - \bar{x})^4}{(n-1)(n-2) s^4} = \frac{10^2 \cdot 461412926,4}{(10-1)(10-2) 63,38^4} = 5,67$$

Lalu digunakan persamaan $X_T = \bar{X} + K_T S$ dan dapat dihitung curah hujan dengan periode ulang tertentu sebagai berikut:

T = Periode Ulang

K_T = Faktor frekuensi, merupakan fungsi dari periode ulang yang didapat dari

Tabel 2.1

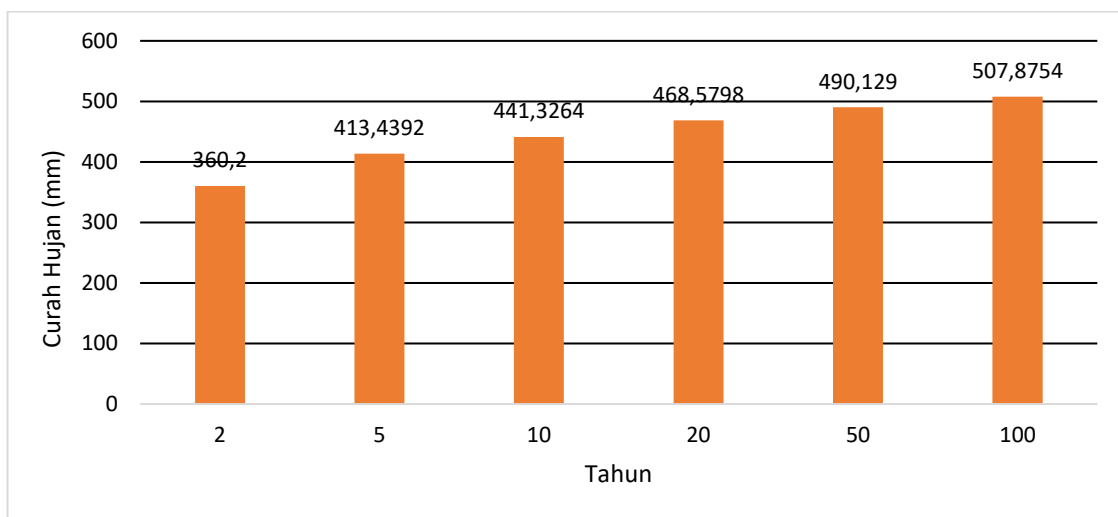
X = Nilai Rata-rata hitung variat

S = Deviasi Standar nilai variat

Tabel 4. 6 Analisa Curah Hujan Rencana dengan Distribusi Normal

No	Periode Ulang (T) Tahun	K_T	X	S	Curah Hujan (X _T) (mm)
1	2	0,000	360,2	63,25	360,2
2	5	0,840	360,2	63,25	413,4392
3	10	1,280	360,2	63,25	441,3264
4	20	1,710	360,2	63,25	468,5798
5	50	2,050	360,2	63,25	490,129
6	100	2,330	360,2	63,25	507,8754

Sumber : Data Olahan, 2024

**Gambar 4. 2 Grafik Distribusi Normal**

Sumber : Data Olahan, 2024

4.3.1.2 Metode Distribusi Log Normal

Tabel 4. 7 Perhitungan Variabel Dispersi Distribusi Log Normal

Tahun	Curah Hujan Maks (Xi)	(Log Xi)	(Log Xi - Log X)	(Log Xi - Log X) ²	(Log Xi - Log X) ³	(Log Xi - Log X) ⁴
2014	338	2,529	-0,028	0,001	0,000	0,000
2015	345	2,538	-0,019	0,000	0,000	0,000
2016	234	2,369	-0,187	0,035	-0,007	0,001
2017	340	2,531	-0,025	0,001	0,000	0,000
2018	421	2,624	0,068	0,005	0,000	0,000
2019	386	2,587	0,030	0,001	0,000	0,000
2020	368	2,566	0,009	0,000	0,000	0,000
2021	357	2,553	-0,004	0,000	0,000	0,000
2022	478	2,679	0,123	0,015	0,002	0,000
2023	335	2,525	-0,031	0,001	0,000	0,000
Jumlah	3602	25,501	-0,064	0,059	0,000	0,000
\bar{x}	360,2	2,550				
S	63,25					

Sumber : Data Olahan, 2024

b. Perhitungan Dispersi Log Normal

Nilai $(\log X_i)$ Tahun 2014 = $(\log 338) = 2,529$

Nilai $(\log X_i - \log \bar{X})^2 = (2,529 - 2,557)^2 = 0,001$

Nilai $(\log X_i - \log \bar{X})^3 = (2,529 - 2,557)^3 = 0,000$

Nilai $(\log X_i - \log \bar{X})^4 = (2,529 - 2,557)^4 = 0,000$

Nilai rata-rata curah hujan

$$\bar{x} = \frac{\sum \log x_i}{n} = \frac{25,501}{10} = 2,550 \text{ mm}$$

Standar Deviasi (S)

$$S = \sqrt{\frac{\sum (\log x_i - \log \bar{x})^2}{n-1}} = \sqrt{\frac{0,059}{10-1}} = 0,0806$$

Koefisiien Variasi (C_v)

$$C_v = \frac{S}{\log \bar{x}} = \frac{0,0806}{2,550} = 0,031$$

Koefisien skewness (C_s)

$$C_s = \frac{n \sum ((\log x_i - \log \bar{x})^3)}{(n-1)(n-2)S^3} = \frac{10 (0,000)}{(10-1)(10-2)0,0806^3} = -1,2$$

Koefisien Kurtosis (C_k)

$$C_k = \frac{n^2 \sum ((\log x_i - \log \bar{x})^4)}{(n-1)(n-2)(n-3)S^4} = \frac{10^2 \times 0,000}{(10-1)(10-2)(10-3)0,0806^4} = 6,680$$

Lalu digunakan persamaan $Y_T = \bar{Y} + K_T S$ dan harga variable reduksi Gauss

pada Tabel 2.1 dapat dihitung curah hujan dengan periode ulang tertentu sebagai berikut:

Tabel 4. 8 Analisa Curah Hujan Rencana dengan Distribusi Log Normal

No	Periode Ulang (T) Tahun	K _T	Log X	Log X _T	S	Curah Hujan
1	2	0,000	2,550	2,550	0,0806	354,813
2	5	0,840	2,550	2,617	0,0806	414,431
3	10	1,280	2,550	2,653	0,0806	449,556
4	20	1,710	2,550	2,687	0,0806	486,758
5	50	2,050	2,550	2,715	0,0806	518,340
6	100	2,330	2,550	2,737	0,0806	545,882

Sumber : Data Olahan, 2024

Analisa Curah Hujan Rencana Distribusi *Log Normal* :

T = Periode Ulang

K_T = Faktor frekuensi, merupakan fungsi dari periode ulang yang didapat dari**Tabel 2.1**

X = Nilai Rata-rata hitung variat

S = Deviasi Standar nilai variat

Untuk T = 2 Tahun

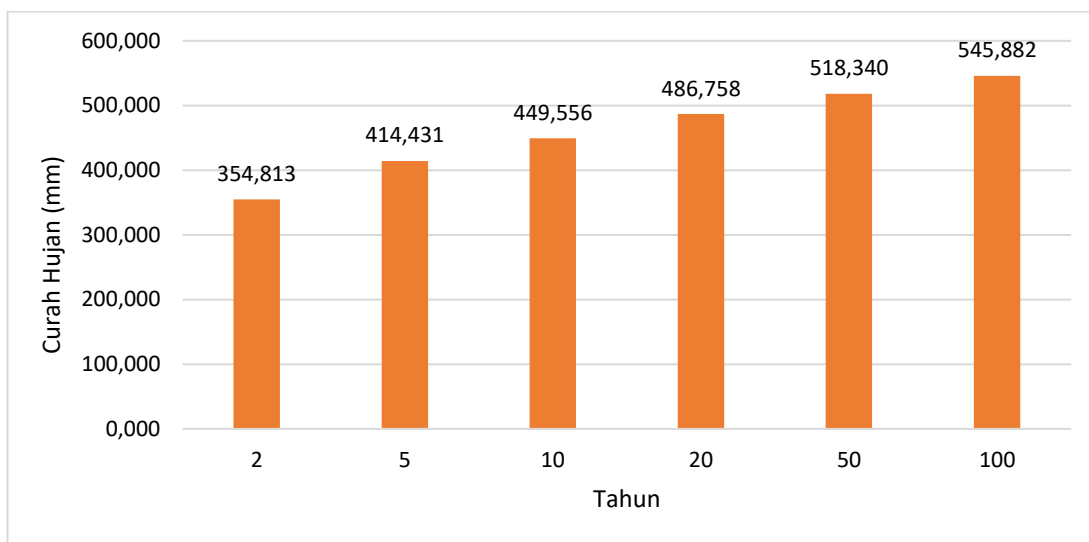
$$K_T = 0,00$$

$$\begin{aligned} \text{Log } X_T &= \text{Log } X + (K_T \times S) \\ &= 2,550 + (0,00 \times 0,0806) \end{aligned}$$

$$= 2,550 \text{ mm}$$

$$X_T = 354,813 \text{ mm}$$

$$S = \sqrt{\frac{\sum (\text{Log } x_i - \text{Log } \bar{x})^2}{n-1}} = \sqrt{\frac{0,059}{10-1}} = 0,0806$$

**Gambar 4. 3 Grafik Distribusi Log Normal**

Sumber : Data Olahan, 2024

4.3.1.3 Metode Distribusi Log Pearson Type III**Tabel 4. 9 Analisa Curah Hujan Distribusi Log-Person III**

No	Tahun	Curah Hujan Maks (Xi)	(Log Xi)	(Log Xi - Log X)	(Log Xi - Log X) ²	(Log Xi - Log X) ³	(Log Xi - Log X) ⁴
1	2014	338	2,529	-0,028	0,0076	-0,0000	0,000
2	2015	345	2,538	-0,019	0,0003	-0,0000	0,000
3	2016	234	2,369	-0,187	0,0350	-0,0065	0,0012
4	2017	340	2,531	-0,025	0,0006	-0,0000	0,0000
5	2018	421	2,624	0,068	0,0045	0,0003	0,0000
6	2019	386	2,587	0,030	0,0009	0,0000	0,0000
7	2020	368	2,566	0,009	0,0000	0,0000	0,0000
8	2021	357	2,553	-0,004	0,0000	0,0000	0,0000
9	2022	478	2,679	0,123	0,0151	0,0018	0,0002
10	2023	335	2,525	-0,031	0,0009	0,0000	0,0000
Jumlah		3602	25,501	-0,064	0,0581	-0,0044	0,0014
\bar{x}		360,2	2,557				
S		63,25					

Sumber : Data Olahan, 2024

c. Perhitungan Dispersi Distribusi Log Person Type III

Nilai rata-rata curah hujan

Nilai (Log Xi) Tahun 2014 = (Log 338) = 2,529

Nilai (Log Xi - LogX)² = (2,529 - 2,557)² = 0,001

Nilai (Log Xi - Log X)³ = (2,529 - 2,557)³ = 0,000

Nilai (Log Xi - Log X)⁴ = (2,529 - 2,557)⁴ = 0,000

Nilai rata-rata curah hujan

$$\bar{x} = \frac{\sum \log xi}{n} = \frac{25,501}{10} = 2,550 \text{ mm}$$

Standar Deviasi (S)

$$S = \sqrt{\frac{\sum (\log xi - \log \bar{x})^2}{n-1}} = \sqrt{\frac{0,059}{10-1}} = 0,0806$$

Koefisiien Variasi (C_v)

$$C_v = \frac{S}{\log \bar{x}} = \frac{0,0806}{2,550} = 0,031$$

Koefisiens skewness (C_s)

$$C_s = \frac{n \sum ((\log xi - \log \bar{x})^3)}{(n-1)(n-2)S^3} = \frac{10 (0,000)}{(10-1)(10-2)0,0806^3} = -1,2$$

Koefisiens Kurtosis (C_k)

$$C_k = \frac{n^2 \sum ((\log xi - \log \bar{x})^4)}{(n-1)(n-2)(n-3)S^4} = \frac{10^2 \times 0,000}{(10-1)(10-2)(10-3)0,0806^4} = 6,680$$

Dimana Nilai K adalah Variabel standar untuk X yang besarnya tergantung koefisiens hasil perhitungan C_s yang akan dicocokan pada lampiran 3 Nilai K untuk distribusi log pearson type III. Sehingga didapatkan nilai variable standar (k) untuk periode ulang yang dapat dilihat pada tabel 4.10 berikut:

Tabel 4. 10 Nilai K hasil distribusi Log Pearson III

No	Periode Ulang T (Tahun)	C _s	K
1	2	-1,2	0,195
2	5	-1,2	0,844
3	10	-1,2	1,086
4	20	-1,2	1,282
5	50	-1,2	1,379
6	100	-1,2	1,449

Sumber : Data Olahan, 2024

Perhitungan logaritma hujan atau banjir dengan periode ulang T dengan rumus persamaan : $\log X_T = \log \bar{X} + K \cdot S$

Tabel 4. 11 Analisa Curah Hujan Rencana dengan Distribusi Log-Person III

No	Periode Ulang (T) Tahun	K _T	Log X	Log X _T	S	Curah Hujan
1	2	0,020	2,550	2,552	0,0806	356,095
2	5	0,844	2,550	2,618	0,0806	414,737
3	10	1,086	2,550	2,637	0,0806	433,716
4	20	1,282	2,550	2,653	0,0806	449,722
5	50	1,379	2,550	2,661	0,0806	457,861
6	100	1,449	2,550	2,666	0,0806	463,826

Sumber : Data Olahan, 2024

Analisa Curah Hujan Rencana Distribusi Log Person III :

Untuk T = 2 Tahun

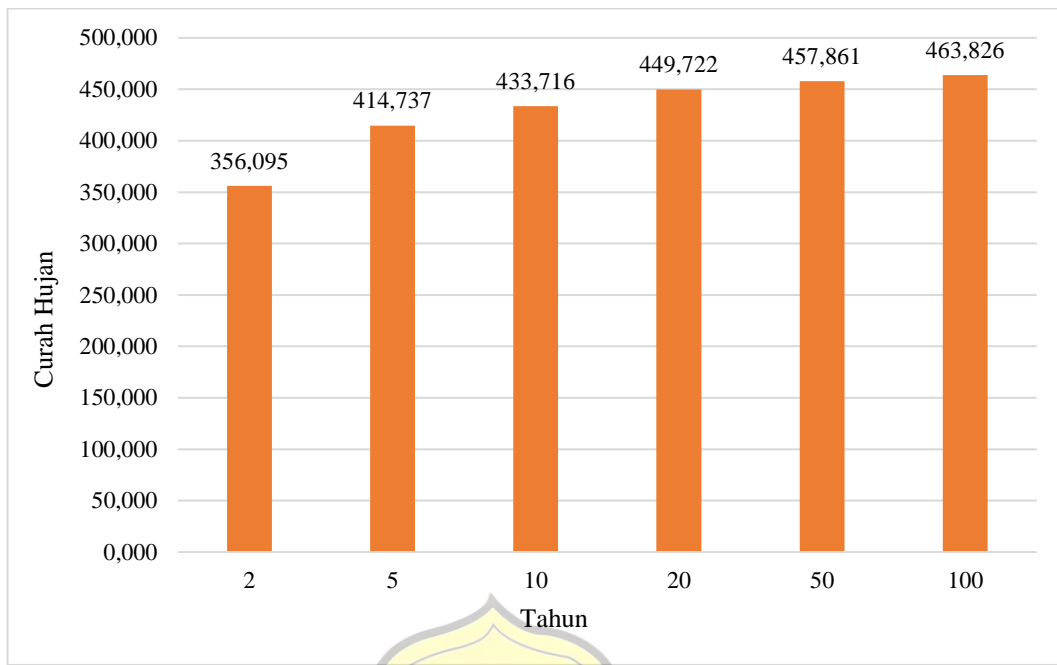
K_T = 0,020

$$\log X_T = \log X + (K_T \times S)$$

$$= 2,550 + (0,020 \times 0,0803)$$

$$= 2,552 \text{ mm}$$

$$X_T = 356,095 \text{ mm}$$

**Gambar 4. 4 Grafik Distribusi Person III**

Sumber : Data Olahan, 2024

4.3.1.4 Metode Distribusi Gumbel**Tabel 4. 12 Perhitungan Variable Disperse Distribusi Gumbel**

No	Tahun	Curah Hujan Maks (Xi)	(Xi - X)	(Xi - X) ²	(Xi - X) ³	(Xi - X) ⁴
1	2014	338	-22,2	492,84	-10941,048	242891,2656
2	2015	345	-15,2	231,04	-3511,808	53379,4816
3	2016	234	-126,2	15926,44	-2009916,728	253651491,1
4	2017	340	-20,2	408,04	-8242,408	166496,6416
5	2018	421	60,8	3696,64	224755,712	13665147,29
6	2019	386	28,5	812,25	23149,125	659750,0625
7	2020	368	7,8	60,84	474,552	3701,5056
8	2021	357	-3,2	-10,24	-32,768	104,8576
9	2022	478	117,8	13876,84	1634691,752	192566688,4
10	2023	335	-25,2	635,04	-16003,008	403275,8016
Jumlah		3602	2,7	36129,73	-165576,627	461412926,4
\bar{x}		360,2				
S		63,25				

Sumber : Data Olahan, 2024

d. Perhitungan Dispersi Distribusi Gumbel

Nilai $(X_i - \bar{X})$ Tahun 2014 = $(338 - 360,2) = -22,2$

Nilai $(X_i - \bar{X})^2$ Tahun 2014 = $(-22,2)^2 = 492,84$

Nilai $(X_i - \bar{X})^3$ Tahun 2014 = $(492,84) = -10941,048$

Nilai $(X_i - \bar{X})^4$ Tahun 2014 = $(-10941,048) = 242891,2656$

Nilai rata-rata curah hujan

$$\bar{X} = \frac{\sum x}{n} = \frac{3602}{10} = 360,2$$

Standar Deviasi (S)

$$S = \sqrt{\frac{\sum (x_i - \bar{x})^2}{n-1}} = \sqrt{\frac{36129,73}{9}} = 63,25$$

Koefisiensi Variasi (C_v)

$$C_v = \frac{s}{\bar{x}} = \frac{63,25}{360,2} = 0,17$$

Koefisiensi skewness (C_s)

$$C_s = \frac{n \sum (x_i - \bar{x})^3}{(n-1)(n-2)s^3} = \frac{(10)(36129,73)}{(10-1)(10-2)63,25} = -0,09$$

Koefisiensi Kurtosis (C_k)

$$C_k = \frac{n^2 \sum (x_i - \bar{x})^4}{(n-1)(n-2) s^4} = \frac{10^2 \cdot 461412926,4}{(10-1)(10-2) 63,38^4} = 5,67$$

Pada distribusi Gumbel, setelah memperoleh nilai rata-rata curah hujan dan simpangan baku, kemudian dicari nilai **Reduced Mean** (Y_n), **Reduced Standard Deviation** (S_n), dan **Recuded Variate** (Y_{Tr}) pada **Tabel 2.3**. Rumus yang digunakan dalam distribusi gumbel adalah sebagai berikut:

$$X_{Tr} = \bar{x} + \frac{Y_t - Y_n}{S_n} \cdot S$$

$$n = 6$$

$$Y_n = 0,4952$$

$$Y_{Tr} = 0,3668$$

$$S_n = 0,9496$$

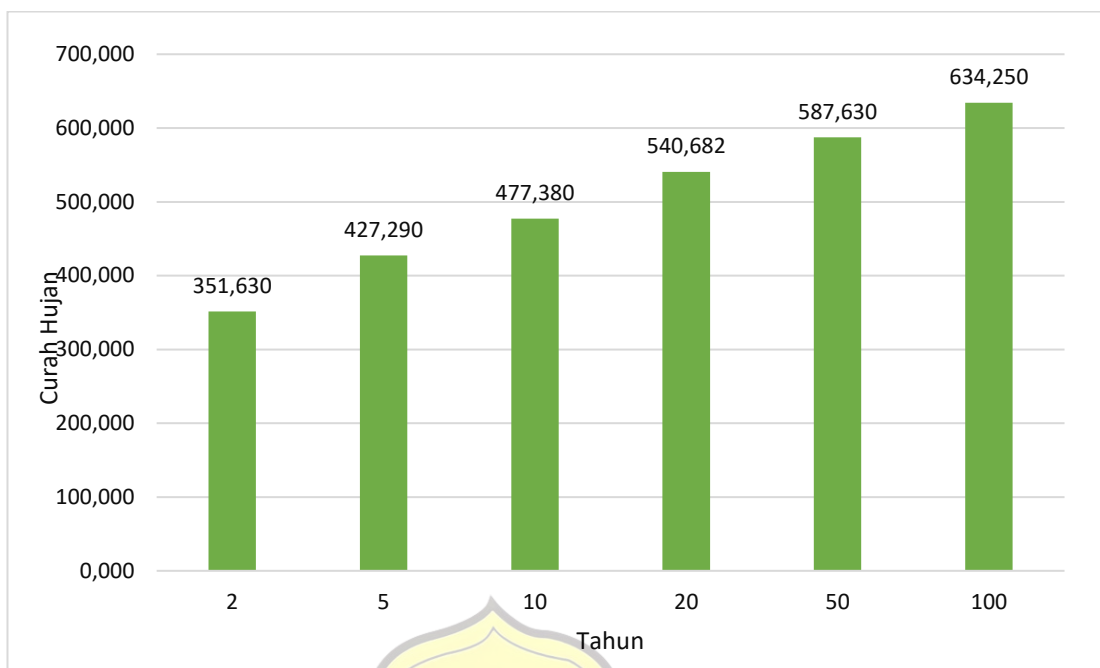
$$X_{Tr} = \bar{x} + \frac{Y_t - Y_n}{S_n} \cdot S = 360,2 + \frac{0,3668 - 0,4952}{0,9496} \cdot 63,25 = 351,630$$

$$P^{60} = \left[\frac{93 + 19}{2} \chi \frac{X_{Tr}}{199} \right] = \left[\frac{93 + 19}{2} \chi \frac{351,630}{199} \right] = 93,650 \text{ mm}$$

Tabel 4. 13 Analisa Curah Hujan Rencana dengan Distribusi Gumbel

No	Periode Ulang (T) Tahun	Ytr	Yn	Sn	X	S	K	Curah Hujan (X _{Tr})	P ⁶⁰ (T)
1	2	0,3668	0,4952	0,9496	360,2	63,25	-0,135	351,630	93,650
2	5	1,5004	0,4952	0,9496	360,2	63,25	1,509	427,290	113,800
3	10	2,2510	0,4952	0,9496	360,2	63,25	1,849	477,380	127,140
4	20	3,1993	0,4952	0,9496	360,2	63,25	2,848	540,682	144,000
5	50	3,9028	0,4952	0,9496	360,2	63,25	3,588	587,630	156,500
6	100	4,6020	0,4952	0,9496	360,2	63,25	4,324	634,250	168,920

Sumber : Data Olahan, 2024

**Gambar 4. 5 Grafik Distribusi Gumbel**

Sumber : Data Olahan, 2024

Tabel 4. 14 Hasil Analisis Frekuensi

Durasi	Periode Ulang (mm/menit)					
	2 Tahun	5 Tahun	10 Tahun	20 Tahun	50 Tahun	100 Tahun
5	229,988	360,271	470,79	610,564	774,681	926,887
10	172,131	269,64	352,356	456,968	579,799	693,716
20	120,039	188,04	295,724	318,677	404,336	483,778
30	95,213	149,149	194,903	252,769	320,712	383,724
40	80,221	125,664	164,214	212,968	270,212	323,303
50	70,004	109,66	143,3	185,845	235,799	282,128
60	65,51	97,922	127,961	165,951	210,558	251,928
80	52,122	81,648	106,695	138,372	175,565	210,06
120	40,117	62,843	82,121	106,502	135,129	161,679

Sumber : Data Olahan, 2024

$$P_i = (0,21 \cdot \ln T + 0,52) \times (0,54 \cdot t^{0,25} - 0,50) \times \left[\frac{P^{60} \times 60}{t} \right]$$

$$= (0,21 \cdot \ln 2 + 0,52) \times (0,54 \cdot 5^{0,25} - 0,50) \times \left[\frac{93,65 \times 60}{5} \right]$$

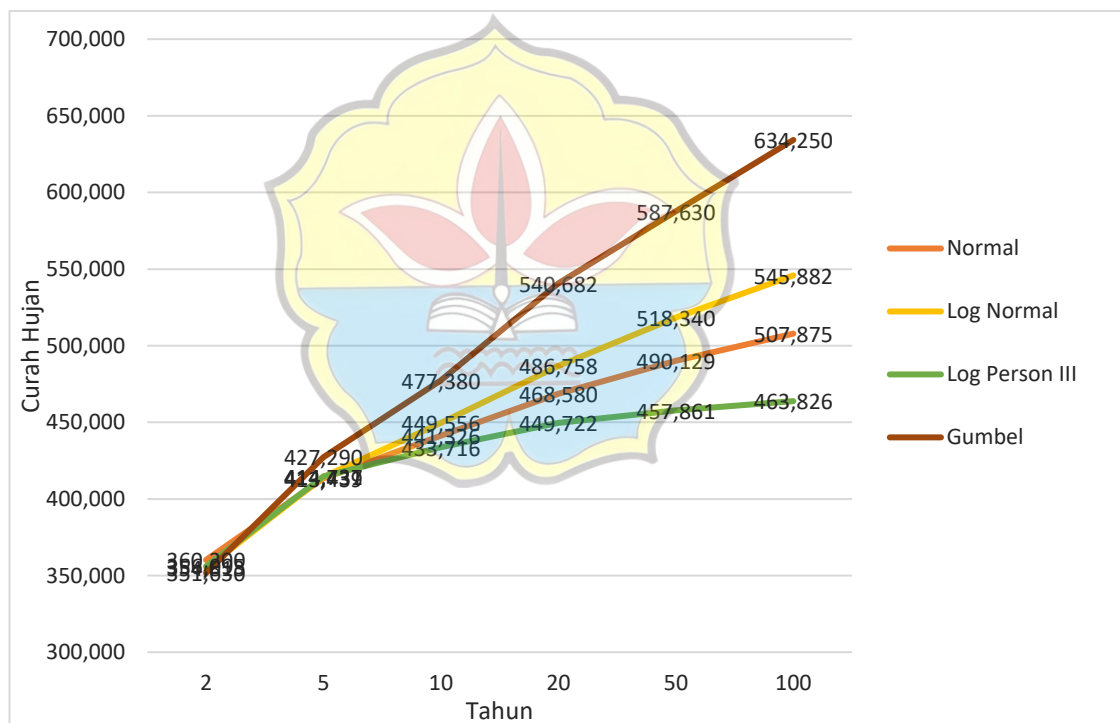
$$= 229,988 \text{ mm/menit}$$

Perbandingan hasil pengukuran dispersi dapat dilihat pada tabel di bawah ini:

Tabel 4. 15 Rekapitulasi Analisis Curah Hujan Rencana Maksimum(4 metode)

No	Periode Ulang T (Tahun)	Normal	Log Normal	Log Person III	Gumbel
1	2	360,200	354,813	356,095	351,630
2	5	413,439	414,431	414,737	427,290
3	10	441,326	449,556	433,716	477,380
4	20	468,580	486,758	449,722	540,682
5	50	490,129	518,340	457,861	587,630
6	100	507,875	545,882	463,826	634,250

Sumber : Data Olahan, 2024



Gambar 4. 6 Rekapitulasi Analisis Curah Hujan Rencana Maksimum (4 metode)

Sumber : Data Olahan, 2024

Dari hasil analisis distribusi frekuensi hujan dengan empat metode pada Tabel 4.15 dan Gambar 4.5 maka yang digunakan periode ulang 10 Tahun terlihat bahwa distribusi metode Gumbel Periode ulang 10 Tahun yang paling ekstrim sehingga data inilah yang digunakan untuk analisis berikutnya.

Tabel 4. 16 Perbandingan Hasil Dispersi

No	Dispersi	Hasil Dispersi			
		Normal	Log Normal	Log Person III	Gumbel
1	S	63,25	0,0806	0,0806	63,25
2	C _s	-0,090	-1,2	-1,2	-0,090
3	C _k	5,670	6,680	6,680	5,670
4	C _v	0,170	0,031	0,031	0,170

Sumber : Data Olahan, 2024

Penentuan jenis sebaran yang sesuai dengan data dilakukan dengan mencocokan parameter statistik dan logaritmik dengan syarat masing-masing sebaran.

Adapun hasil uji distribusi dapat dilihat pada tabel 4.17 di bawah ini:

Tabel 4. 17 Hasil Uji Distribusi

Jenis Distribusi	Syarat	Perhitungan	Kesimpulan
Normal	$C_s = 0$	-0,090	Tidak Memenuhi
	$C_k = 3$	5,670	
Log Normal	$C_s = 3C_v + C_v^3 = 0,087$	-1,2	Tidak Memenuhi
	$C_k = C_v^8 + 6C_v^6 + 15C_v^4 + 16C_v^2 + 3 = 3,01$	6,680	
Log Pearson III	$C_s \neq 0$	-1,2	Memenuhi
	$C_k \neq 0$	6,680	
Gumbel	$C_s = 1,14$	-0,090	Tidak Memenuhi
	$C_k = 5,4$	5,670	

Sumber : Data Olahan, 2024

Dapat dilihat pada tabel diatas metode Log Pearson Type III adalah metode yang paling mendekati parameter yang di syaratkan. Selanjutnya metode Log

Pearson Type III akan diuji menggunakan uji kecocokan distribusi untuk mengetahui apakah memenuhi syarat perencanaan.

4.4 Perhitungan Intensitas Curah Hujan (I)

Untuk hujan yang terjadi selama 5 menit sampai 2 jam, persamaan intensitas durasi hujan menggunakan perhitungan persamaan garis regresi *Intensity Duration Frequency Curve (Kurva IDF)* dengan *Metode Talbot, Ishiguro dan Sherman.*

Keterangan :

$$I = \text{didapat dari tabel 4.15 hasil analisis frekuensi}$$

$$\log t = \log(5) = 0,699$$

$$\log I = \log(229,988) = 2,362$$

$$\log t \times \log I = 0,699 \times 2,362 = 1,651$$

$$\log t^2 = 0,699^2 = 0,489$$

$$t \times I = 5 \times 229,988 = 1149,490$$

$$t \times I^2 = 5 \times 52894,480 = 264472,401$$

$$\sqrt{t} = \sqrt{5} = 2,236$$

$$I \times \sqrt{t} = 229,988 \times 2,236 = 514,269$$

$$I^2 \times \sqrt{t} = 52894,480 \times 2,236 = 118275,7$$

Tabel 4. 19 Perhitungan Intensitas Curah Hujan Periode Ulang 2 Tahun

t (menit)	I (mm/menit)	Log t	Log I	Log t x Log I	Log t^2	$t \times I$	I^2	$t \times I^2$	\sqrt{t}	$I \times \sqrt{t}$	$I^2 \times \sqrt{t}$
5	229,988	0,699	2,362	1,651	0,489	1149,940	52894,480	264472,401	2,236	514,269	118275,7
10	172,131	1,000	2,236	2,236	1,000	1721,310	29629,081	296290,812	3,162	544,326	93695,4
20	120,039	1,301	2,079	2,705	1,693	2400,780	14409,362	288187,230	4,472	536,831	64440,6
30	95,213	1,477	1,979	2,923	2,182	2856,390	9065,515	271965,461	5,477	521,503	49653,9
40	80,221	1,602	1,904	3,051	2,567	3208,840	6435,409	257416,354	6,325	507,362	40701,1
50	70,004	1,699	1,845	3,135	2,886	3500,200	4900,560	245028,001	7,071	495,003	34652,2
60	62,510	1,778	1,796	3,193	3,162	3750,600	3907,500	234450,006	7,746	484,200	30267,4
80	52,122	1,903	1,717	3,268	3,622	4169,760	2716,703	217336,231	8,944	466,193	24298,9
120	40,117	2,079	1,603	3,334	4,323	4814,040	1609,374	193124,843	10,954	439,460	17629,8
Jumlah	922,345	13,539	17,521	25,495	21,923	27.571,860	125.567,984	2.268.271,3	56,388	4.509,1	473.614,9

Sumber : Data Olahan, 2024

Tabel 4.19 Perhitungan Intensitas Curah Hujan Periode Ulang 5 Tahun

t (menit)	I (mm/menit)	Log t	Log I	Log t x Log I	Log t^2	$t \times I$	I^2	$t \times I^2$	\sqrt{t}	$I \times \sqrt{t}$	$I^2 \times \sqrt{t}$
5	360,271	0,699	2,557	1,787	0,489	1801,355	129795,19	648975,967	2,236	805,590	290230,9
10	269,640	1,000	2,431	2,431	1,000	2696,400	72705,73	727057,296	3,162	852,677	229915,7
20	188,04	1,301	2,274	2,959	1,693	3760,800	35359,04	707180,832	4,472	840,940	158130,4
30	149,149	1,477	2,174	3,211	2,182	4474,470	22245,42	667362,726	5,477	816,923	121843,2
40	125,664	1,602	2,099	3,363	2,567	5026,560	15791,44	631657,6358	6,325	794,769	99873,8
50	109,66	1,699	2,040	3,466	2,886	5483,000	12025,32	601265,780	7,071	775,413	85031,8
60	97,922	1,778	1,991	3,540	3,162	5875,320	9588,72	575323,085	7,746	758,501	74273,9
80	81,648	1,903	1,912	3,639	3,622	6531,840	6666,40	533311,672	8,944	730,282	59626,1
120	81,648	2,079	1,912	3,975	4,323	9797,760	6666,40	799967,508	10,954	894,409	73026,7
Jumlah	1.463,642	13,539	19,389	28,370	21,923	45.447,505	310843,66	5.892.102,5	56,388	7.269,5	1.191.953

Sumber : Data Olahan, 2024

Keterangan :

I = Didapat dari tabel 4.15 Hasil Analisis Frekuensi

$$\log t = \log (5) = 0,699$$

$$\log I = \log (360,271) = 2,557$$

$$\log t \times \log I = 0,699 \times 2,557 = 1,787$$

$$\log t^2 = 0,699^2 = 0,489$$

$$t \times I = 5 \times 360,271 = 1801,355$$

$$t \times I^2 = 5 \times 129795,193 = 648975,967$$

$$\sqrt{t} = \sqrt{5} = 2,236$$

$$I \times \sqrt{t} = (360,271 \times 2,557) = 805,590$$

$$I^2 \times \sqrt{t} = 129795,19 \times 2,236 = 290230,9$$

Tabel 4.21 Perhitungan Intensitas Curah Hujan Periode Ulang 10 Tahun

t (menit)	I (mm/menit)	Log t	Log I	Log t x Log I	Log t ²	t x I	I ²	t x I ²	\sqrt{t}	I x \sqrt{t}	I ² x \sqrt{t}
5	470,79	0,699	2,673	1,868	0,489	2353,950	221643,224	1108216,121	2,236	1052,718	495609,3
10	352,356	1,000	2,547	2,547	1,000	3523,560	124154,751	1241547,507	3,162	1114,248	392611,8
20	245,724	1,301	2,390	3,110	1,693	4914,480	60380,284	1207605,684	4,472	1098,911	270028,8
30	194,903	1,477	2,290	3,382	2,182	5847,090	37987,179	1139615,382	5,477	1067,528	208064,4
40	164,214	1,602	2,215	3,549	2,567	6568,560	26966,238	1078649,512	6,325	1038,581	170549,5
50	143,3	1,699	2,156	3,663	2,886	7165,000	20534,890	1026744,500	7,071	1013,284	145203,6
60	127,961	1,778	2,107	3,747	3,162	7677,660	16374,018	982441,051	7,746	991,182	126832,6
80	106,695	1,903	2,028	3,860	3,622	8535,600	11383,823	910705,842	8,944	954,309	101820,0
120	106,695	2,079	2,028	4,217	4,323	12803,400	11383,823	1366058,763	10,954	1168,785	124703,5
Jumlah	1.912,638	13,539	20,435	29,944	21,923	59.389,300	530.808,230	10.061.584	56,388	9.500	2.035.423

Sumber : Data Olahan, 2024

Keterangan :

$$I = \text{Didapat dari tabel 4.15 Hasil Analisis Frekuensi}$$

$$\log t = \log (5) = 0,699$$

$$\log I = \log (470,79) = 2,673$$

$$\log t \times \log I = 0,699 \times 2,673 = 1,868$$

$$\log t^2 = \log 5^2 = 0,699^2 = 0,489$$

$$t \times I = 5 \times 470,79 = 2353,950$$

$$t \times I^2 = 5 \times 221643,224 = 1108216,121$$

$$\sqrt{t} = \sqrt{5} = 2,236$$

$$I \times \sqrt{t} = 470,79 \times 2,236 = 1052,718$$

$$I^2 \times \sqrt{t} = 221643,234 \times 2,236 = 495609,3$$

Tabel 4.22 Perhitungan Intensitas Curah Hujan Periode Ulang 25 Tahun

t (menit)	I (mm/menit)	Log t	Log I	Log t x Log I	Log t ²	t x I	I ²	t x I ²	\sqrt{t}	I x \sqrt{t}	I ² x \sqrt{t}
5	610,564	0,699	2,786	1,947	0,489	3052,820	372788,398	1863941,990	2,236	1365,263	833580,2
10	456,968	1,000	2,660	2,660	1,000	4569,680	208819,753	2088197,530	3,162	1445,060	660346,0
20	318,677	1,301	2,503	3,257	1,693	6373,540	101555,030	2031100,607	4,472	1425,167	454167,9
30	252,769	1,477	2,403	3,549	2,182	7583,070	63892,167	1916765,021	5,477	1384,473	349951,8
40	212,968	1,602	2,328	3,730	2,567	8518,720	45355,369	1814214,761	6,325	1346,928	286852,5
50	185,845	1,699	2,269	3,855	2,886	9292,250	34538,364	1726918,201	7,071	1314,123	244223,1
60	165,951	1,778	2,220	3,947	3,162	9957,060	27539,734	1652384,064	7,746	1285,451	213321,9
80	138,372	1,903	2,141	4,075	3,622	11069,760	19146,810	1531744,831	8,944	1237,637	171254,3
120	106,502	2,079	2,027	4,215	4,323	12780,240	11342,676	1361121,120	10,954	1166,671	124252,8
Jumlah	2.448,616	13,539	21,338	31,236	21,923	73.197,140	884.978,303	15.986.388	56,388	11.971	3.337.951

Sumber : Data Olahan, 2024

Keterangan :

$$I \quad = \text{Didapat dari tabel 4.15 Hasil Analisis Frekuensi}$$

$$\log t \quad = \log (5) \quad = 0,699$$

$$\log I \quad = \log (610,564) \quad = 2,786$$

$$\log t \times \log I \quad = 0,699 \times 2,786 \quad = 1,947$$

$$\log t^2 \quad = 0,699^2 \quad = 0,489$$

$$t \times I \quad = 5 \times 610,564 \quad = 3052,820$$

$$I^2 \quad = 610,564^2 \quad = 372788,398$$

$$t \times I^2 \quad = 5 \times 372788,398 \quad = 1863941,990$$

$$\sqrt{t} \quad = \sqrt{5} \quad = 2,236$$

$$I \times \sqrt{t} \quad = 610,564 \times 2,236 \quad = 1365,263$$

$$I^2 \times \sqrt{t} \quad = 372788,398 \times 2,236 \quad = 833580,2$$

Tabel 4.23 Perhitungan Intensitas Curah Hujan Periode Ulang 50 Tahun

t (menit)	I (mm/menit)	Log t	Log I	Log t x Log I	Log t^2	$t \times I$	I^2	$t \times I^2$	\sqrt{t}	$I \times \sqrt{t}$	$I^2 \times \sqrt{t}$
5	774,681	0,699	2,889	2,019	0,489	3873,405	600130,652	3000653,259	2,236	1732,239	1341932,9
10	579,799	1,000	2,763	2,763	1,000	5797,990	336166,880	3361668,804	3,162	1833,485	1063053,0
20	404,336	1,301	2,607	3,391	1,693	8086,720	163487,601	3269752,018	4,472	1808,246	731138,8
30	320,712	1,477	2,506	3,702	2,182	9621,360	102856,187	3085685,608	5,477	1756,612	563366,5
40	270,212	1,602	2,432	3,896	2,567	10808,480	73014,525	2920580,998	6,325	1708,971	461784,4
50	235,799	1,699	2,373	4,031	2,886	11789,950	55601,168	2780058,420	7,071	1667,351	393159,6
60	210,558	1,778	2,323	4,131	3,162	12633,480	44334,671	2660080,282	7,746	1630,975	343414,9
80	175,565	1,903	2,244	4,271	3,622	14045,200	30823,069	2465845,538	8,944	1570,301	275689,9
120	135,129	2,079	2,131	4,430	4,323	16215,480	18259,847	2191181,597	10,954	1480,264	200026,6
Jumlah	3.106,791	13,539	22,268	32,635	21,923	92.872,065	1.424.675	25.735.507	56,388	15.188	5.373.567

Sumber : Data Olahan, 2024

Keterangan :

$$I \quad = \text{Didapat dari tabel 4.15 Hasil Analisis Frekuensi}$$

$$\log t \quad = \log (5) \quad = 0,699$$

$$\log I \quad = \log (774,681) \quad = 2,889$$

$$\log t \times \log I \quad = 0,699 \times 2,889 \quad = 2,019$$

$$\log t^2 \quad = 0,699^2 \quad = 0,489$$

$$t \times I \quad = 5 \times 774,681 \quad = 3873,405$$

$$I^2 \quad = 774,681^2 \quad = 600130,652$$

$$t \times I^2 \quad = 5 \times 600130,652 \quad = 3000653,259$$

$$\sqrt{t} \quad = \sqrt{5} \quad = 2,236$$

$$I \times \sqrt{t} \quad = 774,681 \times 2,236 \quad = 1732,239$$

$$I^2 \times \sqrt{t} \quad = 600130,652 \times 2,236 \quad = 1341932,9$$

Tabel 4.24 Perhitungan Intensitas Curah Hujan Periode Ulang 100 Tahun

t (menit)	I (mm/menit)	Log t	Log I	Log t x Log I	Log t ²	t x I	I ²	t x I ²	\sqrt{t}	I x \sqrt{t}	I ² x \sqrt{t}
5	926,887	0,699	2,967	2,074	0,489	4634,435	859119,511	4295597,554	2,236	2072,582	1921049,6
10	693,716	1,000	2,841	2,841	1,000	6937,160	481241,889	4812418,887	3,162	2193,723	1521820,5
20	483,778	1,301	2,685	3,493	1,693	9675,560	234041,153	4680823,066	4,472	2163,521	1046663,9
30	383,724	1,477	2,584	3,817	2,182	11511,720	147244,108	4417323,245	5,477	2101,743	806489,2
40	323,303	1,602	2,510	4,021	2,567	12932,120	104524,830	4180993,192	6,325	2044,748	661073,1
50	282,128	1,699	2,450	4,163	2,886	14106,400	79596,208	3979810,419	7,071	1994,946	562830,2
60	251,928	1,778	2,401	4,270	3,162	15115,680	63467,717	3808063,031	7,746	1951,426	491618,8
80	210,06	1,903	2,322	4,420	3,622	16804,800	44125,204	3530016,288	8,944	1878,834	394667,8
120	161,679	2,079	2,209	4,592	4,323	19401,480	26140,099	3136811,885	10,954	1771,105	286350,4
Jumlah	3.717,203	13,539	22,969	33,690	21,923	111.119,4	2.039.501	36.841.858	56,388	18.173	7.692.563

Sumber : Data Olahan, 2024

Keterangan :

$$I = \text{Didapat dari tabel 4.15 Hasil Analisis Frekuensi}$$

$$\log t = \log(5) = 0,699$$

$$\log I = \log(926,887) = 2,943$$

$$\log t \times \log I = 0,699 \times 2,943 = 2,074$$

$$\log t^2 = 0,699^2 = 0,489$$

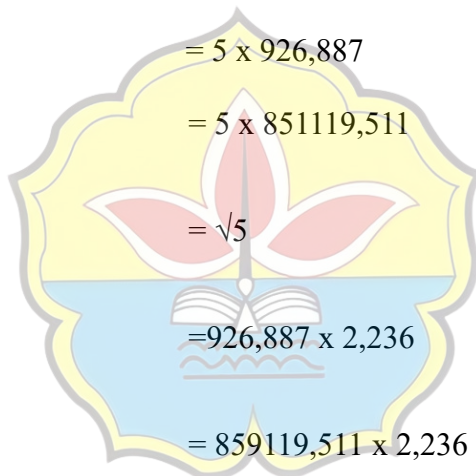
$$t \times I = 5 \times 926,887 = 4634,435$$

$$t \times I^2 = 5 \times 851119,511 = 4295597,554$$

$$\sqrt{t} = \sqrt{5} = 2,236$$

$$I \times \sqrt{t} = 926,887 \times 2,236 = 2072,582$$

$$I^2 \times \sqrt{t} = 859119,511 \times 2,236 = 1921049,6$$



Tabel 4. 25 Perhitungan Intensitas Curah Hujan Periode Ulang Tiga Metode

Periode Ulang Tahun (T)	Talbot		Ishiguro		Sherman		
	a	b	a	b	Log a	n	a
2	4903,563	17,954	463,035	-0,371	2,780	0,505	602,197
5	8397,317	20,585	785,979	-0,134	2,924	0,505	839,736
10	10973,345	20,585	1027,092	-0,134	3,040	0,505	1097,337
20	13017,906	17,955	1229,258	-0,371	3,204	0,505	1598,686
50	16517,014	17,955	1559,674	-0,371	3,307	0,505	2028,410
100	19762,264	17,955	1866,117	-0,371	3,385	0,505	2426,938

Sumber : Data Olahan, 2024

1. Talbot

$$\begin{aligned}
 a &= \frac{\Sigma(t \times I) x \Sigma(I^2) - \Sigma(I^2 x t) x \Sigma(I)}{N x \Sigma(I^2) - \Sigma(I) \Sigma(I)} \\
 &= \frac{(27571,860) x (125567,984) - (2268271,3) x (922,345)}{9 x (125567,984) - (922,345) x (922,345)} = 4903,563 \\
 b &= \frac{\Sigma(I) x \Sigma(t \times I) - N x \Sigma(I^2 x t)}{N x \Sigma(I^2) - \Sigma(I) \Sigma(I)} \\
 &= \frac{(922,345) x (27571,860) - 9 x (2268271,3)}{9 x (125567,984) - (922,345) x (922,345)} = 17,954
 \end{aligned}$$

2. Ishiguro

$$\begin{aligned}
 a &= \frac{\Sigma(I \sqrt{t}) x \Sigma(I^2) - \Sigma(I^2 x \sqrt{t}) x \Sigma(I)}{N x \Sigma(I^2) - \Sigma(I) \Sigma(I)} \\
 &= \frac{(4509,1) x (125567,984) - (473614,9) x (922,345)}{9 x (125567,984) - (922,345) x (922,345)} = 463,035 \\
 b &= \frac{\Sigma(I \sqrt{t}) x \Sigma(I) - N x \Sigma(I^2 x \sqrt{t})}{N x \Sigma(I^2) - \Sigma(I) \Sigma(I)} \\
 &= \frac{(4509,1) x (922,345) - 9 x (473614,9)}{9 x (125567,984) - (922,345) x (922,345)} = -0,371
 \end{aligned}$$

3. Sherman

$$\begin{aligned}
 \text{Log a} &= \frac{\Sigma(\text{Log } I) x \Sigma(\text{log } t)^2 - \Sigma(\text{Log } t x \text{Log } I) x \Sigma(\text{Log } t)}{N x \Sigma(\text{Log } t)^2 - \Sigma(\text{Log } t) x \Sigma(\text{Log } t)} \\
 &= \frac{(17,521) x (21,923) - (25,495) x (13,539)}{9 x (21,923) - (13,539) x (13,539)} = 2,780 \\
 a &= 10^{\text{Log } a} = 10 \log^{2,780} = 602,197 \\
 n &= \frac{\Sigma(\text{Log } I) x \Sigma(\text{log } t) - N x \Sigma(\text{Log } t x \text{Log } I)}{N x \Sigma(\text{Log } t)^2 - \Sigma(\text{Log } t) x \Sigma(\text{Log } t)} \\
 &= \frac{(17,521) x (21,923) - (25,495) x (13,539)}{9 x (21,923) - (13,539) x (13,539)} = 0,505
 \end{aligned}$$

1. Perhitungan Intensitas Durasi Metode *Talbot*

$$I = \frac{a}{t + b}$$

Tabel 4. 26 Perhitungan Intensitas Durasi Metode *Talbot*

No	Durasi (menit)	Periode Ulang (mm/menit)					
		2 Tahun	5 Tahun	10 Tahun	20 Tahun	50 Tahun	100 Tahun
1	5	213,621	328,219	428,905	567,114	719,553	860,927
2	10	175,413	274,561	358,787	465,680	590,852	706,941
3	20	129,196	206,909	270,382	342,986	435,179	520,681
4	30	102,255	166,006	216,931	271,463	344,431	412,103
5	40	84,6106	138,605	181,124	224,622	284,999	340,995
6	50	72,1595	118,968	155,464	191,568	243,060	290,816
7	60	62,9029	104,205	136,172	166,993	211,880	253,510
8	80	50,0596	83,485	109,096	132,897	168,619	201,749
9	120	35,5448	59,731	78,055	94,364	119,728	143,252

Sumber : Data Olahan, 2024

Dimana :

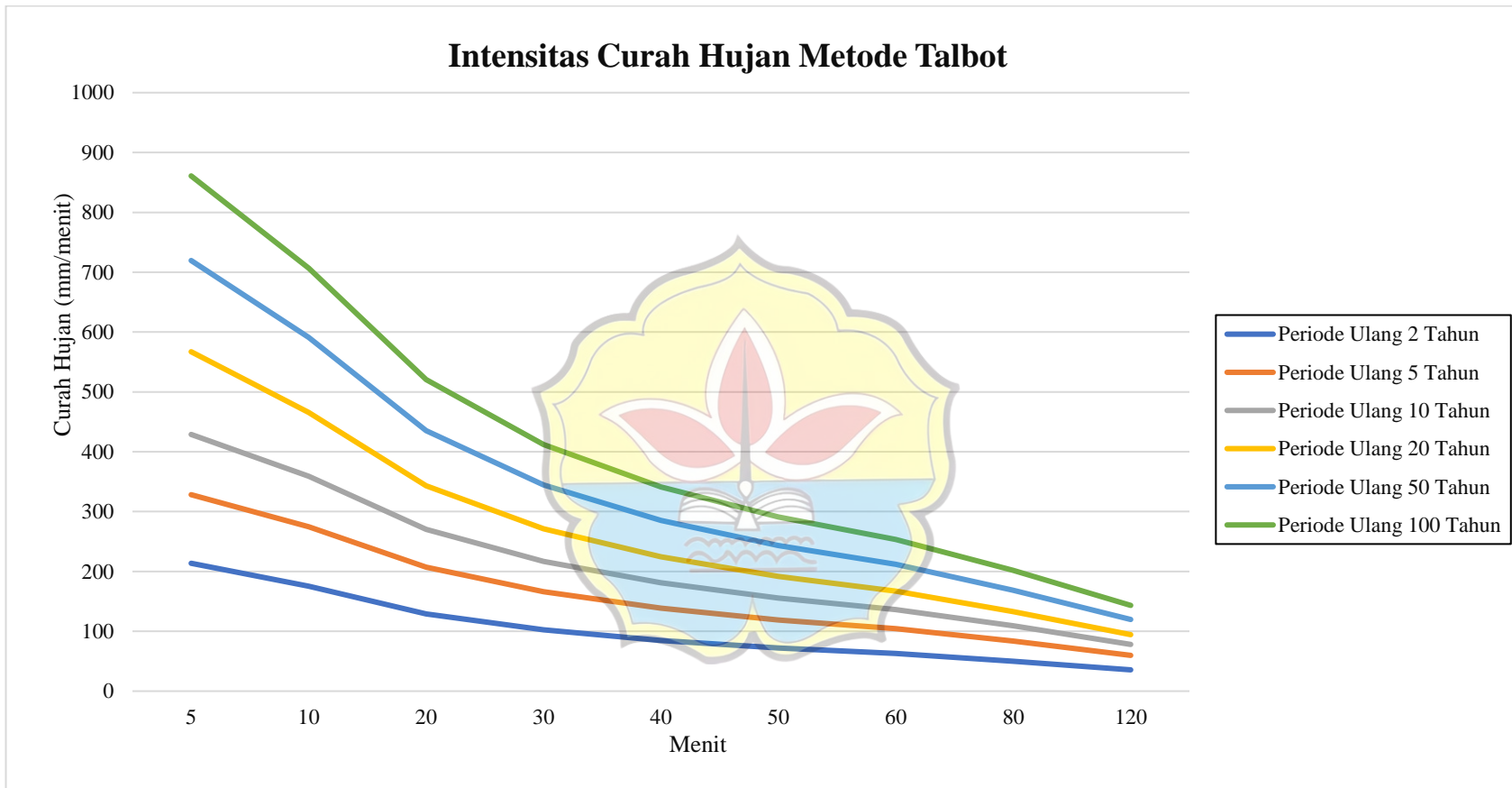
$$I = \frac{a}{t+b}$$

Keterangan :

a dan b = dari perhitungan pada tabel 4.25

$$= \frac{4903,563}{5 + 17,954} = 213,625$$

t = durasi (menit)



Gambar 4. 7 Grafik Intensitas Durasi Metode Talbot

Sumber : Data Olahan, 2024

2. Perhitungan Intensitas Durasi Metode *Ishiguro*

$$I = \frac{a}{\sqrt{t+b}}$$

Tabel 4. 27 Perhitungan Intensitas Durasi Metode *Ishiguro*

No	Durasi (menit)	Periode Ulang (mm/menit)					
		2 Tahun	5 Tahun	10 Tahun	20 Tahun	50 Tahun	100 Tahun
1	5	215,205	356,297	465,597	571,322	724,889	867,314
2	10	149,216	250,227	326,988	396,135	1669,656	601,366
3	20	104,511	176,341	230,436	277,453	843,805	421,197
4	30	85,0654	143,820	187,940	225,830	568,522	342,829
5	40	73,5539	124,482	162,670	195,270	430,880	296,435
6	50	65,7271	111,303	145,447	174,491	348,295	264,892
7	60	59,9631	101,583	132,745	159,189	293,238	241,662
8	80	51,8893	87,949	114,928	137,755	224,417	209,123
9	120	42,3346	71,790	93,813	112,389	155,596	170,616

Sumber : Data Olahan, 2024

Dimana :

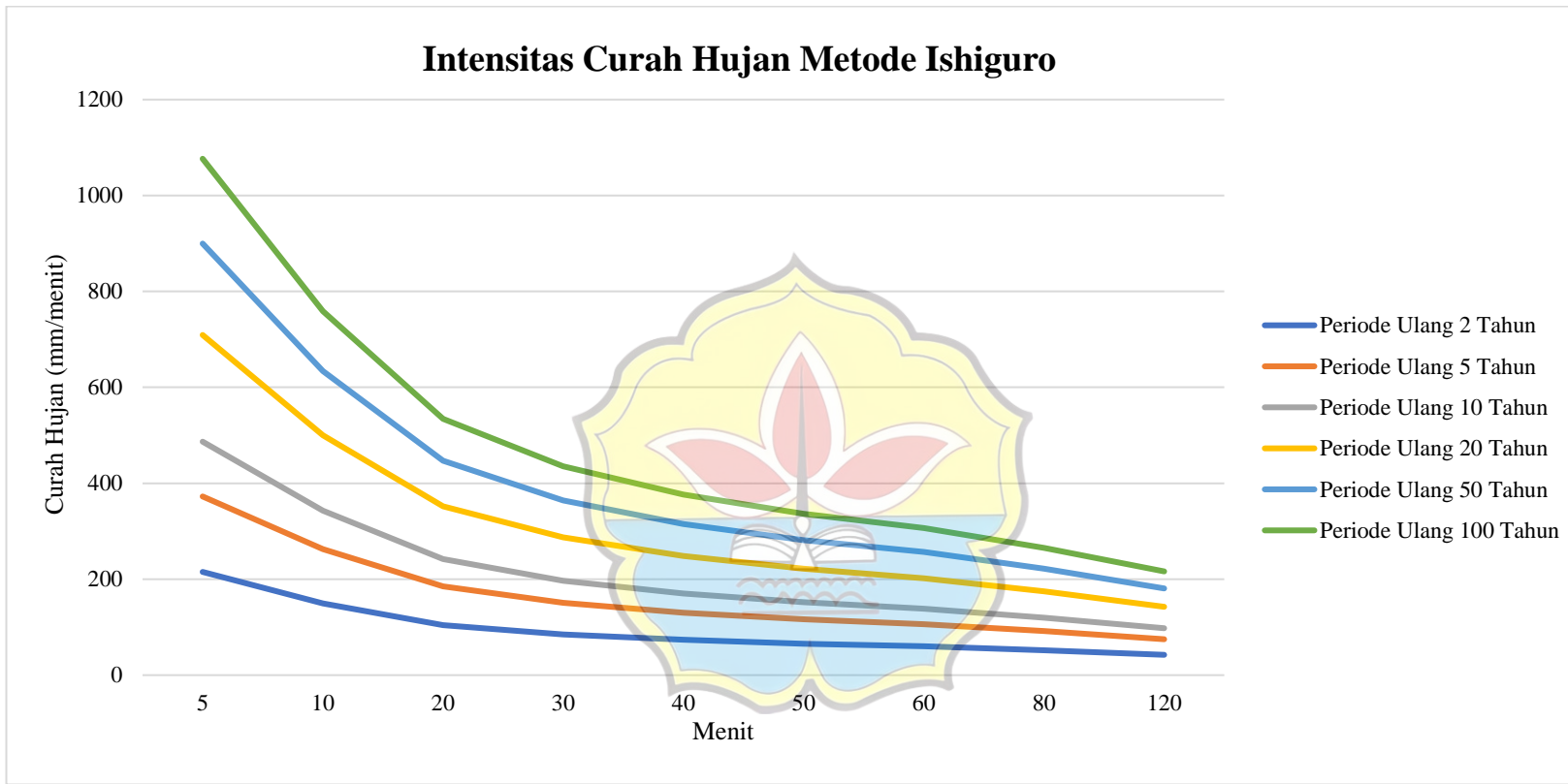
Keterangan :

$$I = \frac{a}{\sqrt{t+b}}$$

dan b = dari perhitungan pada tabel 4.25

$$= \frac{451.712}{\sqrt{5+ -0.378}} = 243.103$$

t = durasi (menit)



Gambar 4.8 Grafik Intensitas Durasi Metode Ishiguro

Sumber : Data Olahan, 2024

3. Perhitungan Intensitas Durasi Metode *Sherman*

$$I = \frac{a}{t^n}$$

Tabel 4. 28 Perhitungan Intensitas Durasi Metode *Sherman*

No	Durasi (menit)	Periode Ulang (mm/menit)					
		2 Tahun	5 Tahun	10 Tahun	20 Tahun	50 Tahun	100 Tahun
1	5	267,152	372,532	486,811	709,224	899,862	1076,661
2	10	188,251	262,508	343,036	499,762	634,097	758,680
3	20	132,653	184,979	241,724	352,162	446,823	534,612
4	30	108,092	150,729	196,967	286,957	364,091	435,625
5	40	93,4756	130,347	170,333	248,155	314,858	376,720
6	50	83,5138	116,456	152,181	221,709	281,304	336,573
7	60	76,1679	106,213	138,795	202,207	256,560	306,967
8	80	65,8685	91,851	120,027	174,865	221,868	265,459
9	120	53,6725	74,844	97,803	142,487	180,788	216,308

Sumber : Data Olahan, 2024

Dimana :

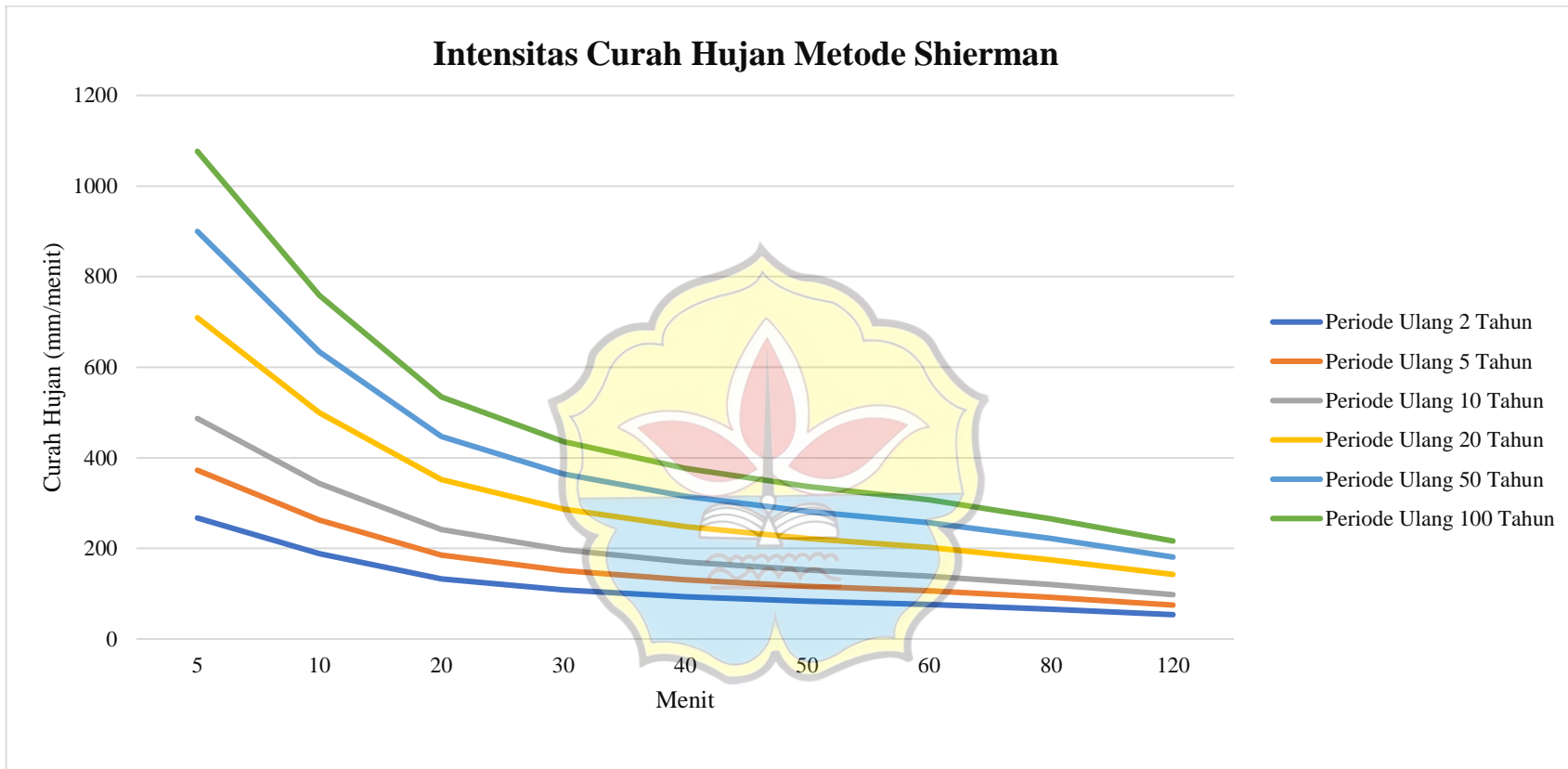
Keterangan :

$$I = \frac{a}{t^n}$$

a = dari perhitungan pada tabel 4.25

$$= \frac{588.535}{5^{0.555}} = 241.065$$

t = durasi (menit)



Gambar 4.9 Grafik Intensitas Durasi Metode Sherman

Sumber : Data Olahan, 2024

Tabel 4. 29 Perhitungan Standar Deviasi Rumus *Talbot*, *Ishiguro* dan *Sherman* Periode Ulang 2 Tahun

No	1 Terukur		Rumus					
	Menit	Pi (2 Tahun)	<i>Talbot</i>	$4 = (2-3)^2$	<i>Ishiguro</i>	$6 = (2-5)^2$	<i>Sherman</i>	$8 = (2-7)^2$
	1	2	3	$4 = (2-3)^2$	5	$6 = (2-5)^2$	7	$8 = (2-7)^2$
1	5	229,988	998,667	590867,405	215,205	218,539	267,152	1381,166
2	10	172,131	503,311	109680,192	149,216	525,107	188,251	259,869
3	20	120,039	263,133	20475,893	104,511	241,128	132,653	159,122
4	30	95,213	181,407	7429,406	85,065	102,974	108,092	165,859
5	40	80,221	140,544	3638,864	73,554	44,451	93,476	175,683
6	50	70,004	116,026	2118,024	65,727	18,292	83,514	182,516
7	60	62,51	99,6805	1381,646	59,963	6,487	76,168	186,538
8	80	52,122	79,249	735,874	51,889	0,054	65,869	188,967
9	120	40,117	58,817	349,690	42,335	4,918	53,672	183,752
Jumlah				736676,995		1161,950		2883,471
Standar Deviasi				194084,3		174,9		398,8

Sumber : Data Olahan, 2024

Dimana :

Pi(2) = didapat dari tabel 4.14 Talbot(3) = didapat dari tabel 4.25

Ishiguro(5) = didapat dari tabel 4.26 Sherman(7) = didapat dari tabel 4.27

Tabel 4. 30 Perhitungan Standar Deviasi Rumus *Talbot*, *Ishiguro* dan *Sherman* Periode Ulang 5 Tahun

No	1 Terukur		Rumus					
	Menit	Pi (5 Tahun)	<i>Talbot</i>	$4 = (2-3)^2$	<i>Ishiguro</i>	$6 = (2-5)^2$	<i>Sherman</i>	$8 = (2-7)^2$
	1	2	3	4	5	6	7	8
1	5	360,271	1700,048	1795002,356	356,297	15,796	372,532	150,322
2	10	269,64	860,316	348898,425	250,227	376,873	262,508	50,862
3	20	188,04	440,450	63710,998	176,341	136,875	184,979	9,369
4	30	149,149	300,495	22905,638	143,820	28,395	150,729	2,496
5	40	125,664	230,517	10994,244	124,482	1,396	130,347	21,935
6	50	109,66	188,531	6220,612	111,303	2,700	116,456	46,190
7	60	97,922	160,540	3920,989	101,583	13,401	106,213	68,736
8	80	81,648	125,551	1927,471	87,949	39,698	91,851	104,095
9	120	62,843	90,562	768,351	71,790	80,044	74,844	144,022
Jumlah				2254349,1		695,178		598,027
Standar Deviasi				589899,3		120,6		55,29

Sumber : Data Olahan, 2024

Dimana :

Pi(2) = didapat dari tabel 4.14 Talbot(3) = didapat dari tabel 4.25

Ishiguro(5) = didapat dari tabel 4.26 Sherman(7) = didapat dari tabel 4.27

Tabel 4. 31 Perhitungan Standar Deviasi Rumus Talbot, Ishiguro dan Sherman Periode Ulang 10 Tahun

No	1 Terukur		Rumus					
	Menit	Pi (10 Tahun)	Talbot		Ishiguro		Sherman	
	1	2	3	$4 = (2-3)^2$	5	$6 = (2-5)^2$	7	$8 = (2-7)^2$
1	5	470,79	2215,254	3043153,428	465,597	26,971	486,811	256,667
2	10	352,356	1117,919	586086,867	326,988	643,521	343,036	86,857
3	20	245,724	569,252	104670,258	230,436	233,714	241,724	15,999
4	30	194,903	386,363	36656,832	187,940	48,487	196,967	4,261
5	40	164,214	294,918	17083,587	162,670	2,385	170,333	37,447
6	50	143,300	240,051	9360,847	145,447	4,611	152,181	78,871
7	60	127,961	203,474	5702,160	132,745	22,887	138,795	117,375
8	80	106,695	157,751	2606,754	114,928	67,790	120,027	177,747
9	120	82,121	112,029	894,495	93,813	136,692	97,803	245,935
Jumlah				3806215,227		1187,057		1021,158
Standar Deviasi				1000456,3		205,877		94,4

Sumber : Data Olahan, 2024

Dimana :

Pi(2) = didapat dari tabel 4.14 Talbot(3) = didapat dari tabel 4.25

Ishiguro(5) = didapat dari tabel 4.26 Sherman(7) = didapat dari tabel 4.27

Tabel 4. 32 Perhitungan Standar Deviasi Rumus *Talbot*, *Ishiguro* dan *Sherman* Periode Ulang 20 Tahun

No	1 Terukur		Rumus					
	Menit	Pi (20 Tahun)	<i>Talbot</i>	$4 = (2-3)^2$	<i>Ishiguro</i>	$6 = (2-5)^2$	<i>Sherman</i>	$8 = (2-7)^2$
	1	2	3	4	5	6	7	8
1	5	610,564	2621,536	4044007,415	571,322	1539,969	709,224	9733,739
2	10	456,968	1319,745	744384,493	396,135	3700,625	499,762	1831,313
3	20	318,677	668,850	122621,072	277,453	1699,407	352,162	1121,270
4	30	252,769	451,885	39647,111	225,830	725,707	286,957	1168,821
5	40	212,968	343,402	17013,101	195,270	313,237	248,155	1238,116
6	50	185,845	278,313	8550,285	174,491	128,908	221,709	1286,224
7	60	165,951	234,920	4756,686	159,189	45,725	202,207	1314,516
8	80	138,372	180,678	1789,836	137,755	0,381	174,865	1331,732
9	120	106,502	126,437	397,412	112,389	34,658	142,487	1294,952
Jumlah			4983167,410			8188,616		20320,683
Standar Deviasi			1330695			1232,3		2810,9

Sumber : Data Olahan, 2024

Dimana :

Pi(2) = didapat dari tabel 4.14 Talbot(3) = didapat dari tabel 4.25

Ishiguro(5) = didapat dari tabel 4.26 Sherman(7) = didapat dari tabel 4.27

Tabel 4. 33 Perhitungan Standar Deviasi Rumus *Talbot*, *Ishiguro* dan *Sherman* Periode Ulang 50 Tahun

No	1 Terukur		Rumus					
	Menit	Pi (50 Tahun)	Talbot		Ishiguro		Sherman	
	1	2	3	4 = (2-3) ²	5	6 = (2-5) ²	7	8 = (2-7) ²
1	5	774,681	3321,357	6485560,827	724,889	2479,256	899,862	15670,243
2	10	579,799	1669,656	1187788,267	1669,656	117788,267	634,097	2948,271
3	20	404,336	843,805	193133,245	843,805	193133,245	446,823	1805,147
4	30	320,712	568,522	61409,650	568,522	61409,650	364,091	1881,702
5	40	270,212	430,880	25814,180	430,880	25814,180	314,858	1993,308
6	50	235,799	348,295	12655,315	348,295	12655,315	281,304	2070,701
7	60	210,558	293,238	6836,004	293,238	6836,004	256,560	2116,204
8	80	175,565	224,417	2386,541	224,417	2386,541	221,868	2143,995
9	120	135,129	155,596	418,912	155,596	418,912	180,788	2084,728
Jumlah				7976002,9		1492921,4		32714,3
Standar Deviasi				2134443,1		388128,8		4525,2

Sumber : Data Olahan, 2024

Dimana :

Pi(2) = didapat dari tabel 4.14 Talbot(3) = didapat dari tabel 4.25

Ishiguro(5) = didapat dari tabel 4.26 Sherman(7) = didapat dari tabel 4.27

Tabel 4. 34 Perhitungan Standar Deviasi Rumus *Talbot*, *Ishiguro* dan *Sherman* Periode Ulang 100 Tahun

No	1 Terukur		Rumus					
	Menit	Pi (2 Tahun)	<i>Talbot</i>	$4 = (2-3)^2$	<i>Ishiguro</i>	$6 = (2-5)^2$	<i>Sherman</i>	$8 = (2-7)^2$
	1	2	3	4	5	6	7	8
1	5	926,887	3970,407	9263016,246	867,314	3548,980	1076,661	22432,114
2	10	693,716	1994,181	1691209,222	601,366	8528,476	758,680	4220,325
3	20	483,778	1006,068	272786,654	421,197	3916,389	534,612	2584,070
4	30	383,724	676,697	85833,036	342,829	1672,417	435,625	2693,674
5	40	323,303	512,011	35610,794	296,435	721,870	376,720	2853,346
6	50	282,128	413,200	17179,845	264,892	297,071	336,573	2964,218
7	60	251,928	347,326	9100,720	241,662	105,389	306,967	3029,337
8	80	210,06	264,983	3016,528	209,123	0,878	265,459	3069,100
9	120	161,679	182,640	439,370	170,616	79,870	216,308	2984,303
Jumlah				11378192,4		18871,3		46830,5
Standar Deviasi				3048817,1		2839,9		6477,8

Sumber : Data Olahan, 2024

Dimana :

Pi(2) = didapat dari tabel 4.14

Talbot(3) = didapat dari tabel 4.25

Ishiguro(5) = didapat dari tabel 4.26

Sherman(7) = didapat dari tabel 4.27

Tabel 4. 35 Rekapitulasi Perhitungan Standar Deviasi Rumus Talbot, Ishiguro dan Sherman untuk Berbagai Periode Ulang (Tahun)

No	Periode Ulang (Tahun)	Metode Talbot	Metode Ishiguro	Metode Sherman
1	2	194084,25	174,86	398,84
2	5	589899,35	120,57	55,29
3	10	1000456,31	205,88	94,41
4	20	1330695,04	1232,29	2810,86
5	50	2134443,06	388128,81	4525,16
6	100	3048817,13	2839,95	6477,82

Sumber : Data Olahan, 2024

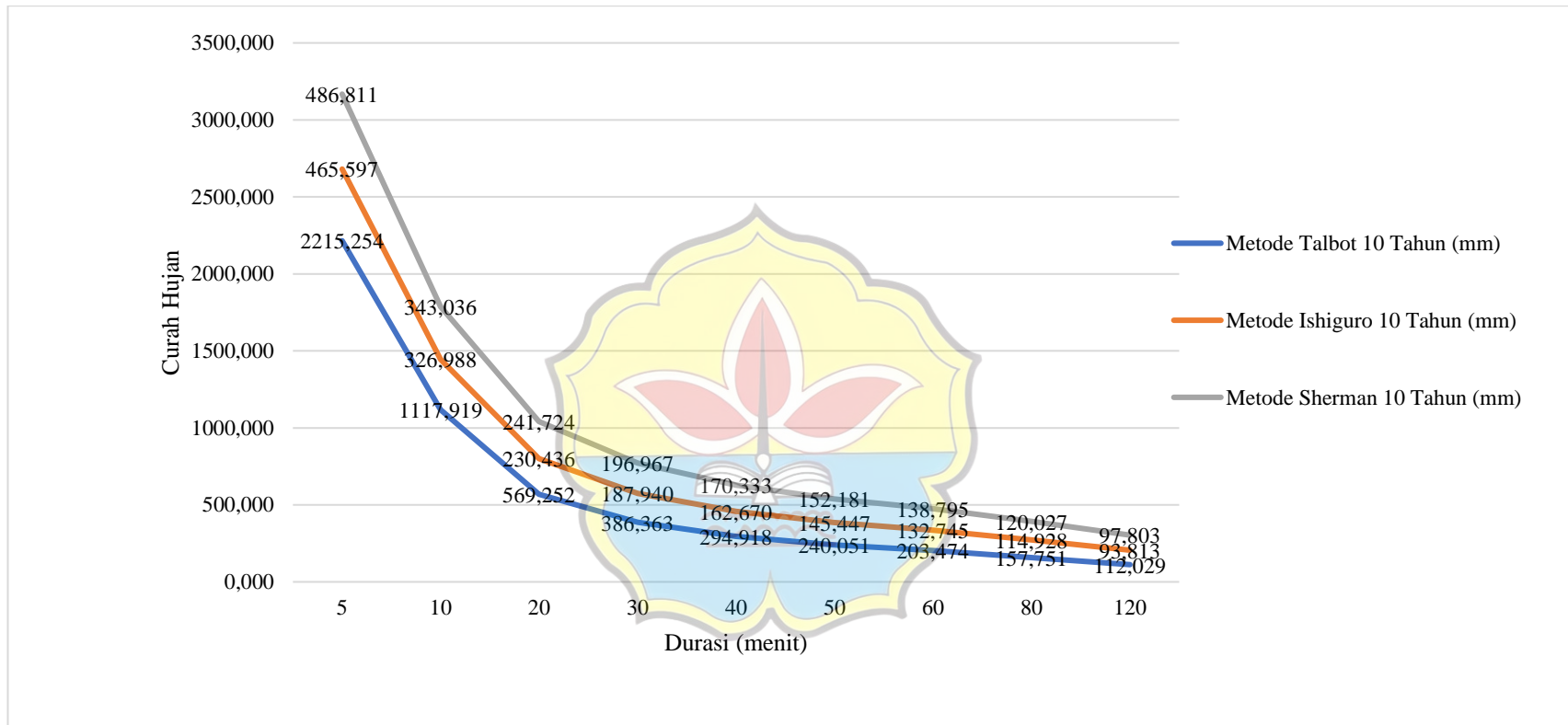
Catatan :

Dari analisis data tersebut diatas dapat dipilih rumus sebagai persamaan regresi intensitas hujan rencana adalah rumus yang mempunyai standard deviasi terkecil. Mengacu pada tabel 4.32, dapat disimpulkan bahwa rumus yang sesuai untuk menentukan *Kurve IDF* dengan periode ulang 2, 5, 10, 20, 50 dan 100 tahun adalah rumus dari **Metode Sherman**.

Tabel 4. 36 Rekapitulasi Perhitungan Intensitas Durasi Tiga Metode

No	Durasi (menit)	Metode Talbot 10 tahun (mm)	Metode Ishiguro 10 Tahun (mm)	Metode Sherman 10 Tahun (mm)
1	5	2215,254	465,597	486,811
2	10	1117,919	326,988	343,036
3	20	569,252	230,436	241,724
4	30	386,363	187,940	196,967
5	40	294,918	162,670	170,333
6	50	240,051	145,447	152,181
7	60	203,474	132,745	138,795
8	80	157,751	114,928	120,027
9	120	112,029	93,813	97,803

Sumber : Data Olahan, 2024



Gambar 4. 10 Grafik Intensitas Durasi Tiga Metode

Sumber : Data Olahan, 2024

4.5 Mencari Kecepatan Aliran dan Kemiringan Saluran

Berikut langkah mencari kecepatan aliran (v) dan kemiringan saluran (So) sebagai berikut :

Tabel 4. 37 Kemiringan Saluran dan Kecepatan Aliran

Kemiringan Rata-rata Dasar Saluran %	Kecepatan Rata-rata (m/detik)
<1	0,40
1 - 2	0,60
2 - 4	0,90
4 - 6	1,20
6 - 10	1,50
10 - 15	2,40

Sumber : Wesli, 2008

Mencari kecepatan aliran (V) dan kemiringan saluran (So) untuk Saluran.

ketinggian didapat yang tertinggi 7 meter dan terendah 6 meter, maka :

$$V = \text{kontur tertinggi} - \text{kontur terendah} = 7 - 6 = 1 \text{ meter}$$

Karena beda tinggi kontur tanah meter, maka kecepatan aliran (V)

0,60m/detik.

Dengan panjang sungai existing = 150 meter,

$$So = \frac{7 - 6}{150} = 0,0067$$

4.6 Mencari Koefisien Pengaliran (C)

Berdasarkan hasil survey di lokasi, maka dapat disimpulkan bahwa Daerah Perniagaan yang ada di sekitar Sungai Batanghari, Kecamatan Pasar Jambi, Kota Jambi termasuk Daerah Perniagaan. Maka untuk besarnya nilai koefisien pengaliran (C) diambil sesuai zona, disini penulis mengambil nilai sebesar 0,925.

Koefisien pengaliran tersebut didapat dari tabel 4.37.

Tabel 4. 38 Koefisien Pengaliran (C)

Daerah	Koefisien aliran (c)
Perumahan tidak begitu rapat	0,25 - 0,40
Perumahan kerapatan sedang	0,40 - 0,70
Perumahan rapat	0,70 - 0,80
Taman dan daerah Rekreasi	0,20 - 0,30
Daerah Industri	0,80 - 0,90
Daerah Perniagaan	0,90 - 0,95

Sumber : Wesli, 2008

Perhitungan :

$$C = \frac{0,40 + 0,70}{2} = 0,55$$

4.7 Perhitungan waktu Konsentrasi

Waktu konsentrasi adalah waktu yang diperlukan untuk mengalirkan air dari titik yang paling jauh pada daerah aliran ke titik kontrol yang ditentukan di bagian hilir hulu suatu aliran. Rumus yang dipakai dalam waktu konsentrasi dapat diperoleh menggunakan rumus empiris, salah satunya adalah rumus *kirpich*, seperti berikut ini (Wesli, 2008) :

$$\begin{aligned} T_o &= \frac{0,0195}{60} \times \left(\frac{L_o}{\sqrt{S_o}} \right)^{0,77} \\ &= \frac{0,0195}{60} \times \frac{870}{\sqrt{0,0067}}^{0,77} = 0,409 \text{ jam} \end{aligned}$$

$$\begin{aligned} T_d &= \frac{Lt}{3600 \times V} \\ &= \frac{150}{3600 \times 0,60} = 0,069 \text{ jam} \end{aligned}$$

$$\begin{aligned} T_c &= \left(\frac{0,87 \times Ls^2}{100 \times So} \right)^{(0,385)} \\ &= \left(\frac{0,87 \times 0,15^2}{1000 \times 0,0067} \right)^{(0,385)} = 0,105 \text{ jam} \end{aligned}$$

$$C_s = \frac{2 T_c}{2 T_c + T_d}$$

$$= \frac{2 (0,105)}{2 (0,105) + 0,069} = 0,752$$

Xt = 138,795 mm/jam (durasi 1 jam periode ulang 10 Tahun Metode Shierman)

4.8 Tangkapan Air Hujan (*Catchment Area*)

Mencari luas *Catchment Area* (Tangkapan air hujan) pada daerah yang ditinjau sebagai berikut :

Q_e didapat dari debit rencana pada persamaan manning

$$Q_e = \frac{1}{n} \times A R^{\frac{2}{3}} S^{\frac{1}{2}}$$

$$Q_e = \frac{1}{0,025} \times 2731,4 \times 9,31^{\frac{2}{3}} \times 0,0067^{\frac{1}{2}}$$

$$Q_e = 120,042 \text{ m}^3/\text{detik}$$

$$C = 0,55$$

$$I = 138,795 \text{ mm/jam}$$

Dengan menggunakan rumus debit rencana dan difokuskan perhitungan pada persamaan debit Q_e , C , I .

$$Q_e = 0,278 \cdot C \cdot I \cdot A \text{ m}^3$$

$$120,042 \text{ m}^3/\text{detik} = 0,55 \times 138,795 \text{ mm/jam} \times A$$

$$120,042 \text{ m}^3/\text{detik} = 76,34 \text{ mm/jam} \times A$$

$$A \times 76,24 \frac{\text{mm}}{\text{jam}} = 120,042 \frac{\text{m}^2}{\text{detik}}$$

$$A = \frac{120,042}{0,210} \times \frac{\text{m}^3}{\text{detik}} \times \frac{\text{mm}}{\text{jam}}$$

$$A = 1,670 \times \frac{\text{m}^3}{\text{detik}} \times \frac{3600 \text{ det}}{0,001 \text{ m}}$$

$$A = 1,670 \times 1 \text{ m}^2 \times 3600000$$

$$A = 6012000 \text{ m}^2$$

$$A = 0,601 \text{ km}^2$$

Maka hasil perhitungan didapat luas Catchmen Area sebesar $0,601 \text{ km}^2$

4.9 Perhitungan Debit Banjir

Adapun rumus untuk menghitung debit rencana Metode Rasional dari hasil perhitungan diatas untuk debit banjir periode ulang 10 tahun. Dimasukkan kedalam persamaan dibawah, maka akan diperoleh debit banjir sebesar :

$$I_t = 138,795 \text{ mm/jam} = 0,138795 \text{ m/jam}$$

$$C = 0,55$$

$$A = 0,601 \text{ km}^2 = 6012000 \text{ m}^2$$

$$\begin{aligned} Q_{10} &= 0,278 \cdot C \cdot I_{10} \cdot A \\ &= 0,278 \times 0,55 \times 0,138795 \times 6012000 \\ &= 127,585 \text{ m}^3/\text{detik} \end{aligned}$$

Keterangan :

Q_T = Debit Banjir (m^3/detik)

C = Koefisien Pengaliran

C_s = Koefisien tumpungan

I = Intensitas Curah Hujan (mm/jam)

A = Luas Daerah Pengaliran (km^2)

4.10 Analisa Tinggi Muka Air

Analisa menggunakan persamaan manning untuk menghitung Tinggi muka air suatu sungai. Data dimasukkan kedalam persamaan dibawah, maka akan diperoleh :

$$Q_{10} = 127,585 \text{ m}^3/\text{detik}$$

$$b = 273,14 \text{ m}$$

$$So = 0,0067$$

$$n = 0,025$$

a) Tinggi Muka Air (y)

$$y = 10 \text{ m}$$

b) Luas penampang basah (A) = (b x y)

$$= (273,14 \times 10) = 2731,4 \text{ m}^2$$

c) Keliling basah (P) = $(b + 2y)$

$$= (273,14 + 2(10)) = 293,14 \text{ m}$$

d) Jari-jari hidrolik (R)

$$= \frac{A}{P} = \frac{2731,4}{293,14} = 9,31 \text{ m}$$

e) Persamaan Manning

$$Q_e = \frac{1}{n} \times A R^{\frac{2}{3}} S^{\frac{1}{2}}$$

$$Q_e = \frac{1}{0,025} \times 2731,4 \times 9,31^{\frac{2}{3}} \times 0,0067^{\frac{1}{2}}$$

$$Q_e \approx 120,042 \text{ m}^3/\text{s}$$

Dari Hasil analisa didapat, tinggi muka air Sungai Batanghari di kondisi debit $127,585 \text{ m}^3/\text{detik}$ bisa mencapai 10 meter yakni dalam level siaga 1 (waspada). Namun, jika debit lebih besar misal saat banjir, tinggi muka air bisa meningkat hingga 13 meter atau lebih. Berdasarkan ambang batas untuk aktivasi notifikasi *Early Warning System* dibagi menjadi beberapa level:

Siaga 1 (Waspada): Tinggi muka air mencapai 70% yakni ketinggian 10 m dari kapasitas sungai, notifikasi dikirim ke pihak terkait.

Siaga 2 (Awas): Tinggi muka air mendekati 13 meter dari kapasitas sungai, peringatan dikeluarkan kepada Masyarakat .

Siaga 3 (Bahaya): Tinggi muka air 15 meter melampaui kapasitas Sungai, peringatan darurat dan evakuasi direkomendasikan.

Berdasarkan Data Historis Tinggi muka air Sungai Batanghari pada Tanggal 28 Agustus 2023 di pos pengamatan Tanggo Rajo, Kota Jambi, menunjukkan tinggi muka air mencapai 9,43 meter, kondisi ini dalam kategori normal. Maka, Notifikasi akan dikirimkan ke pihak terkait.

Berdasarkan Data Historis Tinggi muka air Sungai Batanghari pada Tanggal 29 Januari 2020 di pos pengamatan Tanggo Rajo, Kota Jambi, menunjukkan indikator mendekati status siaga 3. Adapun tinggi muka air (TMA) mencapai 13,79 meter, melewati batas TMA Siaga 2 yakni 13 meter. Elevasi tersebut terpaut sedikit dengan batas elevasi siaga 13,87 meter. Notifikasi peringatan akan dikeluarkan kepada Masyarakat.

Berdasarkan Data Historis Tinggi muka air Sungai Batanghari pada Tanggal 31 Desember 2020 di pos pengamatan Tanggo Rajo, Kota Jambi, menunjukkan indikator tinggi muka air mencapai siaga 3 yakni 15 meter. Kondisi ini adalah peringatan darurat dan Petugas Dinas Pemadam Kebakaran dan Penyelamatan Kota Jambi perlu melakukan evakuasi korban banjir.

BAB V

KESIMPULAN DAN SARAN

5.1 Kesimpulan

Dari uraian pembahasan dapat disimpulkan sebagai berikut :

1. Berdasarkan data curah hujan selama 10 tahun (2014-2023) maka didapat
Intensitas curah hujan dengan durasi 60 menit sebesar $= 138,795 \text{ mm/jam}$
Debit banjir Sungai Batanghari dengan periode ulang 10 tahun adalah sebesar
 $= 127,585 \text{ m}^3/\text{detik}$.
2. Tinggi muka air Sungai Batanghari di kondisi debit $127,585 \text{ m}^3/\text{detik}$ bisa
mencapai 10 meter. Debit lebih besar saat banjir, tinggi muka air bisa
meningkat hingga 13 meter atau lebih. Pada ketinggian muka air 13 meter,
sistem akan memberikan notifikasi peringatan *Early Warning System*
waspada banjir kepada Masyarakat.

5.2 Saran

Dari hasil penelitian yang telah dilakukan maka didapat beberapa saran
sebagai berikut :

1. Untuk menghindari terjadinya banjir kepada masyarakat Kota Jambi dan
Pemerintah, khususnya yang tinggal di bantaran sungai untuk merawat dan
menjaga sungai tersebut, salah satunya dengan tidak membuang sampah ke
sungai dan pemerintah menyediakan tempat pembuangan sampah agar air yang
mengalir tidak mengalami hambatan.
2. Sensor ketinggian air perlu dikalibrasi lebih sering untuk meningkatkan
akurasi data. Serta Integrasi data debit banjir dan tinggi muka air ke dalam

sistem berbasis IoT (*Internet of Things*) agar informasi dapat diperbarui secara real-time.



DAFTAR PUSTAKA

- Ansori, H. Kuswadi, D. Saputra, A.E. 2012. Klasifikasi Peta Rawan Banjir Kabupaten Belu Dengan Aplikasi Arcgis 9.3 (Jurnal). Jurnal TekTan. Jurusan Teknologi Pertanian. Politeknik Negeri Lampung. Bandar Lampung.
- Badan Standardisasi Nasional. 2016. SNI-2415-2016 tentang Tata Cara Perhitungan Debit Banjir Rencana. Jakarta: Badan Standardisasi Nasional.
- CD Soemarto, Ir., B.I.E., Dipl.HE., "Hidrologi Teknik", Erlangga, Jakarta, 1995
- Departemen Kehutanan Dirjen Reboisasi dan Rehabilitasi Lahan, Dit. Konservasi Tanah, 2002.
- Fhadilla, N. 2020. Peran Badan Penanggulangan Bencana Daerah (Bpbd) Dalam Penanggulangan Bencana Banjir di Kota Jambi. Skripsi. Jurusan Ilmu Pemerintahan. UIN Sultan Thaha Syarifudin Jambi: Jambi
- Hadisusanto, Aplikasi Hidrologi, (Jogja Mediautama), 2010.
- Hari, Y., Widianto, Y., Dewi, L. P., Rusgawanto, F. H., Yanggah, M. E., & Setyarini, Y. (2023). Kajian Early Warning System Untuk Banjir Studi Kasus di Kenjeran Surabaya. *E-Jurnal SPIRIT PRO PATRIA*, 9(1), 84-92.
- Jamaika, Dydiyanto. 2023. Evaluasi Debit Banjir Rencana Pada Kecamatan Jelutung Kota Jambi : Fakultas Teknik, Universitas Batanghari.
- Kamiana, I. made. (2011). Teknik perhitungan debit rencana bangunan air (Pertama). Graha Ilmu.
- Kodoatie, J.R. dan Syarie, R. (2005). Pengelolaan Sumber Daya Air Terpadu. Yogyakarta: Andi Offset
- Loebis, J, 1999. Hidrologi Danau Toba dan Sungai Asahan. Jakarta: PT. Puri Fadjar Mandiri.

- Muzakky, Achmad, Akhmad Nurhadi, Ashuri Nurdiansyah, and Galih Wicaksana. 2018. "Perancangan Sistem Deteksi Banjir Berbasis IoT." Conference on Innovation and Application of Science and Technology 2018 (September): 660–67.
- Menteri Pekerjaan Umum dan Perumahan Rakyat Republik Indonesia, Peraturan Menteri Pekerjaan Umum dan Perumahan Rakyat Republik Indonesia Nomor 04/PRT/M/2015 Tentang Kriteria dan Penetapan Wilayah Sungai, vol. 3, no. 429. JDIH Kementerian PUPR, 2015.
- Peraturan Perundang-undangan Nomor 24 Tahun 2007 tentang Penanggulangan Bencana.
- Rahayu, et al Asparini. (2009). Banjir dan Upaya Penanggulangannya. Bandung, Indonesia, PROMISE Indonesia.
- Rahmanizah et al. (2023). (Analisis Tingkat Kerawanan Banjir Bandang dengan Metode Analytical Hierarchy Processdi Kecamatan Panti Kabupaten Jember). *Jurnal Pembelajaran Geografi*, 6(1): 22-29.
- Ramadhan, A. A. K., Kurniawan, E., & Sugiana, A. (2020). Perancangan Sistem Peringatan Dini Banjir Berbasis Mikrokontroler Dan Short Message Service (SMS). *eProceedings of Engineering*, 7(1).
- Sari, P. N., & Christanto, F. W. (2023). Early Warning System Berbasis Internet Of Things (IOT) pada Daerah Rawan Bencana Banjir di Semarang. *JOURNAL OF APPLIED MULTIMEDIA AND NETWORKING*, 7(2), 62-70.
- Sosrodarsono, S. Dan K, Takeda. 2003. Hidrologi untuk Pengairan. Editor: Sosrodarsono, S. Jakarta. Penerbit PT. Pradnya Paramita.
- Sri Harto BR, 1993, Analisis Hidrologi, PT. Gramedia Pustaka Utama, Jakarta.
- Sumardiono, A., Alimudin, E., & Susanti, H. (2022). Rancang Bangun Monitoring Early Warning System Bencana Banjir Berdasarkan Ketinggian Aliran Sungai Menggunakan Modem SIM900 dan Internet of Things. *Infotekmesin*, 13(1), 112-117.

Suripin, 2004. Sistem Drainase Perkotaan Yang Berkelanjutan. Penerbit Andi Offset, Yogyakarta.

Triatmodjo, B. 1999. Teknik Pantai. Beta Offset, Yogyakarta.

Triatmodjo, B. 2008. Hidrologi Terapan. Betta Offset, Yogyakarta.

Wandi, I. A., & Ashari, A. (2023). Monitoring Ketinggian Air dan Curah Hujan Dalam Early Warning System Bencana Banjir Berbasis IoT. *IJEIS (Indonesian Journal of Electronics and Instrumenations Systems)*, 13(1), 101-110.

Wesli. (2008). Drainase Perkotaan. Edisi Pertama. Graha Ilmu. Yogyakarta.

Wiarto. G. 2017. Tanggap Darurat Bencana Alam. Yogyakarta : Gosyen Publishing.



DAFTAR LAMPIRAN

Lampiran 1 Surat Keputusan Tugas Akhir

Lampiran 2 Surat Pengambilan Data

Lampiran 3 Tabel Nilai K Distribusi Log Pearson Type III

Lampiran 4 Tabel Nilai Uji Chi Kuadrat

Lampiran 5 Data Curah Hujan Harian

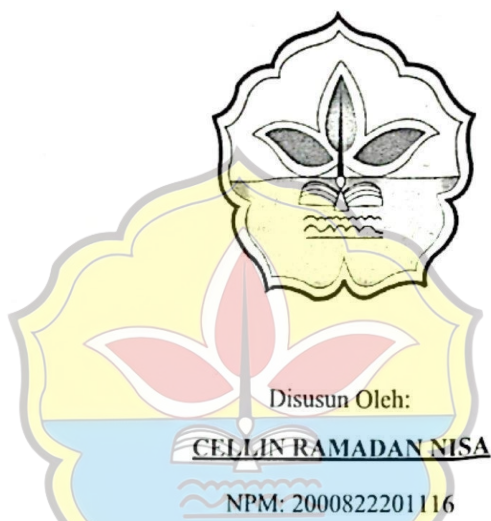
Lampiran 6 Lembar Asistensi Tugas Akhir



HALAMAN PERSETUJUAN

TUGAS AKHIR

**ANALISIS DEBIT BANJIR DAN MITIGASINYA MENGGUNAKAN APLIKASI
EARLY WARNING SYSTEM (EWS) DI KOTA JAMBI**



Dengan ini Dosen Pembimbing Proposal Tugas Akhir Program Studi Teknik Sipil Fakultas Teknik Universitas Batanghari menyatakan Proposal dengan judul dan penyusunan sebagaimana diatas telah disetujui sesuai prosedur, ketentuan dan kelaziman yang berlaku dan dapat diajukan dalam Seminar Proposal Tugas Akhir Program Strata Satu (S-1) Program Studi Teknik Sipil Fakultas Teknik Universitas Batanghari.

Jambi,

2025

Dosen Pembimbing IIr. Wari Dony, ST, MT.**Dosen Pembimbing II**Ir. H. Wirya Murad, MM.



Universitas Batanghari

FAKULTAS TEKNIK

Jalan Letkol Slamet Riyadi Broni - Jambi 36122 Telp./Fax. (0741) 668280 Website www.unbari.ac.id

**SURAT KEPUTUSAN
DEKAN FAKULTAS TEKNIK UNIVERSITAS BATANGHARI JAMBI**

NOMOR 16 TAHUN 2025

TENTANG

PERPANJANGAN PERTAMA

PENUNJUKAN DOSEN PEMBIMBING TUGAS AKHIR

MAHASISWA PROGRAM STUDI TEKNIK SIPIL PROGRAM STRATA SATU (S-1)
FAKULTAS TEKNIK UNIVERSITAS BATANGHARI

DEKAN FAKULTAS TEKNIK UNIVERSITAS BATANGHARI

- | | |
|-------------------|--|
| BACA | : Usulan Ketua Program Studi Teknik Sipil Tentang Pembimbing Tugas Akhir |
| MBANG | <ul style="list-style-type: none"> a. Bawa untuk melengkapi syarat-syarat yang diperlukan guna menyelesaikan Studi Strata Satu (S-1) Program Studi Teknik Sipil Fakultas Teknik Unbari perlu diselenggarakan Tugas Akhir Mahasiswa. b. Bawa mahasiswa yang namanya tercantum pada lampiran keputusan ini dianggap mampu dan memenuhi syarat dan berhak untuk melaksanakan Tugas Akhir. c. Bawa Staf Pengajar yang namanya tercantum pada lampiran keputusan ini dianggap mampu memenuhi syarat untuk ditunjuk sebagai Dosen Pembimbing Tugas Akhir Mahasiswa Program Studi Teknik Sipil Fakultas Teknik Universitas Batanghari d. Bawa untuk pelaksanaan Tugas Akhir Mahasiswa perlu dibuat Keputusan Dekan. |
| INGAT | <ul style="list-style-type: none"> 1. Undang-undang Nomor 20 Tahun 2003, tentang Sistem Pendidikan Nasional; 2. Undang-undang Nomor 14 Tahun 2005 tentang Guru dan Dosen; 3. Peraturan Pemerintah Nomor 4 Tahun 2014 tentang penyelenggaraan Pendidikan Tinggi dan pengelolaan Perguruan Tinggi; 4. Peraturan Akademik Universitas Batanghari Tahun 2018 5. Surat Perintah Pt. Direktur Jenderal Pendidikan Tinggi, Riset dan Teknologi Nomor : 0307/E.E3/KP.07.00/2022 Tanggal 31 Maret 2022 Tentang Penunjukkan Pejabat Sementara Rektor Universitas Batanghari, 6. Surat Keputusan Pj. Rektor Nomor : 27 Tahun 2022 tentang Perpanjangan Masa Tugas Pejabat Pada Jabatan Wakil Rektor, Dekan, Kepala Unit Kerja Di Lingkungan Universitas Batanghari; |
| MEMUTUSKAN | |
| SETAPKAN | <ul style="list-style-type: none"> ma : Mahasiswa Program Studi Teknik Sipil Program Strata Satu (S-1) yang nama dan NPM nya tercantum pada kolom (2) untuk melaksanakan Tugas Akhir dengan Judul seperti pada kolom (3) Lampiran Keputusan dan berhak untuk mendapatkan Bimbingan Tugas Akhir. ta : Menunjuk Staf Pengajar yang namanya tercantum pada kolom (4) menjadi Dosen Pembimbing I dan kolom (5) menjadi Dosen Pembimbing II mahasiswa dalam melaksanakan Tugas Akhir. ga : Dosen Pembimbing bertanggung jawab kepada Dekan melalui Ketua Program Studi Teknik Sipil Fakultas Teknik Unbari. mpat : Dosen Pembimbing Akademik bertanggung jawab kepada Dekan melalui Ketua Program Studi Teknik Sipil Fakultas Teknik Unbari. ha : Program Studi Agar Menyelenggarakan Seminar Proposal Tugas Akhir yang bersangkutan agar judul, tujuan, ruang lingkup, dan metode penelitian Tugas akhir mahasiswa benar dari kaidah kaidah ilmiah. ham : Masa berlaku Surat Keputusan ini adalah 6 (enam) bulan dan setelahnya dapat diperpanjang maksimal dua (2) kali atau ganti dengan pembimbing lain. nh : Keputusan ini berlaku sejak tanggal ditetapkan dan apabila dikemudian hari terdapat kekeliruan akan diadakan perbaikan sebagaimana mestinya. |

**DITETAPKAN DI
PADA TANGGAL**

Dekan,

**JAMBI
: 14 FEBRUARI 2025**

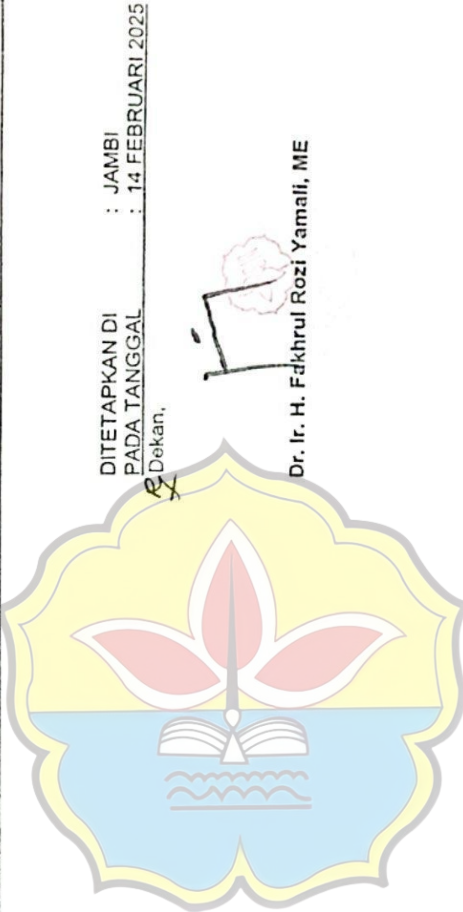
Dr. Ir. H. Fakhrul Ropzi Yamali, ME

Masukan disampaikan kepada :

Rth. Rektor Universitas Batanghari
Rth. Ketua Program Studi Teknik Sipil Fakultas Teknik Unbari
Rth. Dosen Pembimbing yang bersangkutan
Mahasiswa yang bersangkutan

**LAMPIRAN : LAMPIRAN NO. 11. TAHUN PELAJARAN 2023/2024
PROGRAM STUDI TEKNIK SIPIL PROGRAM STRATA SATU (S-1) FAKULTAS TEKNIK UNIVERSITAS BATANGHARI**

NO	NAMA NPM	DOSEN PEMBIMBING I		DOSEN PEMBIMBING II
		(2)	(3)	
1.	CELLIN RAMADAN NISA 2000822201116	ANALISIS DEBIT BANJIR DAN MITIGASINYA MENGGUNAKAN APLIKASI EARLY WARNING SYSTEM (EWS) DI KOTA JAMBI	Ir. WARI DONY, ST, MT	Ir. H. WIRYA MURAD, MM





Universitas Batanghari

FAKULTAS TEKNIK

Jalan Letkol Slamet Riyadi Broni - Jambi 36122 Telp./Fax. (0741) 668280 Website www.unbari.ac.id

Nomor : 506 /UBR-04/N/2024

Jambi, 27 Desember 2024

Lampiran : -

Perihal : Mohon Izin Pengambilan
Data Untuk Tugas Akhir

Kepada Yth,

Kepala Balai Wilayah Sungai Sumatera (BWSS) VI Jambi
di-

Jambi

Dengan hormat,

Sehubungan dengan telah memenuhi persyaratan akademik bagi mahasiswa kami untuk melaksanakan Tugas Akhir, maka bersama ini kami mohon kepada Bapak/Ibu agar berkenan untuk memberikan dan data yang terkait dengan Tugas Akhir yang berjudul "*Analisa Debit Banjir dan Mitigasinya Menggunakan Early Warning System (EWS) di Kota Jambi*".

Nama Mahasiswa yang dimaksud :

Nama : Cellin Ramadhan Nisa

NIM : 2000822201116

Program Studi : Teknik Sipil

Adapun data penelitian yang dibutuhkan yaitu :

1. curah hujan 10 Tahun di Kota Jambi
2. panjang dan lebar sungai Batanghari

Demikian permohonan ini, atas perhatian serta bantuannya diucapkan terimakasih.

Dekan,



Dr. Ir. H. Fakhrul Rozi Yamali, ME

Tembusan disampaikan kepada Yth:

- 1 Pjs. Rektor Unbari (sebagai laporan)
- 2 Ketua Prodi Teknik Sipil
- 3 Arsip

Nilai Kritis Uji Chi Kuadrat

dk	a derajat kepercayaan							
	0.995	0.99	0.975	0.95	0.05	0.025	0.01	0.005
1	0.00004	0.00016	0.00098	0.00039	3.841	5.024	6.635	7.879
2	0.010	0.020	0.051	0.103	5.991	7.378	9.210	10.597
3	0.0717	0.115	0.216	0.352	7.815	9.348	11.345	12.838
4	0.207	0.297	0.484	0.711	9.488	11.143	13.277	14.860
5	0.412	0.554	0.831	1.145	11.070	12.832	15.086	16.750
6	0.676	0.872	1.237	1.635	12.592	14.449	16.812	18.548
7	0.989	1.239	1.690	2.167	14.067	16.013	18.475	20.278
8	1.344	1.646	2.180	2.733	15.507	17.533	20.090	21.955
9	1.735	2.088	2.700	3.325	16.919	19.023	21.666	23.589
10	2.156	2.558	3.247	3.940	18.307	20.483	23.209	25.188
11	2.603	3.053	3.816	4.575	19.675	21.920	24.725	26.757
12	3.074	3.571	4.404	5.226	21.026	23.337	26.217	28.300
13	3.565	4.107	5.009	5.892	22.362	24.736	27.688	29.819
14	4.075	4.660	5.629	6.571	23.685	26.119	29.141	31.319
15	4.601	5.229	6.262	7.261	24.996	27.488	30.578	32.801
16	5.142	5.812	6.908	7.962	26.296	28.845	32.000	34.267
17	5.697	6.408	7.564	8.672	27.587	30.191	33.409	35.718
18	6.265	7.015	8.231	9.390	28.869	31.526	34.805	37.156
19	6.844	7.633	8.907	10.117	30.144	32.852	36.191	38.582
20	7.434	8.260	9.591	10.851	31.410	34.170	37.566	39.997
21	8.034	8.897	10.283	11.591	32.671	35.479	38.932	41.401
22	8.643	9.542	10.982	12.338	33.924	36.781	40.289	42.796
23	9.260	10.196	11.689	13.091	36.172	38.076	41.638	44.181
24	9.886	10.856	12.401	13.848	36.415	39.364	42.980	45.558
25	10.520	11.524	13.120	14.611	37.652	40.646	44.314	46.928
26	11.160	12.198	13.844	15.379	38.885	41.923	45.642	48.290
27	11.808	12.879	14.573	16.151	40.113	43.194	46.963	49.645
28	12.461	13.565	15.308	16.928	41.337	44.461	48.278	50.993
29	13.121	14.256	16.047	17.708	42.557	45.722	49.588	52.336
30	13.787	14.953	16.791	18.493	43.773	46.979	50.892	53.672

(Sumber : Scwarze, 1995)

Nilai K Distribusi Log Pearson Type III

dk	a derajat kepercayaan							
	0.995	0.99	0.975	0.95	0.05	0.025	0.01	0.005
1	0.00004	0.00016	0.00098	0.00039	3.841	5.024	6.635	7.879
2	0.010	0.020	0.051	0.103	5.991	7.378	9.210	10.597
3	0.0717	0.115	0.216	0.352	7.815	9.348	11.345	12.838
4	0.207	0.297	0.484	0.711	9.488	11.143	13.277	14.860
5	0.412	0.554	0.831	1.145	11.070	12.832	15.086	16.750
6	0.676	0.872	1.237	1.635	12.592	14.449	16.812	18.548
7	0.989	1.239	1.690	2.167	14.067	16.013	18.475	20.278
8	1.344	1.646	2.180	2.733	15.507	17.533	20.090	21.955
9	1.735	2.088	2.700	3.325	16.919	19.023	21.666	23.589
10	2.156	2.558	3.247	3.940	18.307	20.483	23.209	25.188
11	2.603	3.053	3.816	4.575	19.675	21.920	24.725	26.757
12	3.074	3.571	4.404	5.226	21.026	23.337	26.217	28.300
13	3.565	4.107	5.009	5.892	22.362	24.736	27.688	29.819
14	4.075	4.660	5.629	6.571	23.685	26.119	29.141	31.319
15	4.601	5.229	6.262	7.261	24.996	27.488	30.578	32.801
16	5.142	5.812	6.908	7.962	26.296	28.845	32.000	34.267
17	5.697	6.408	7.564	8.672	27.587	30.191	33.409	35.718
18	6.265	7.015	8.231	9.390	28.869	31.526	34.805	37.156
19	6.844	7.633	8.907	10.117	30.144	32.852	36.191	38.582
20	7.434	8.260	9.591	10.851	31.410	34.170	37.566	39.997
21	8.034	8.897	10.283	11.591	32.671	35.479	38.932	41.401
22	8.643	9.542	10.982	12.338	33.924	36.781	40.289	42.796
23	9.260	10.196	11.689	13.091	36.172	38.076	41.638	44.181
24	9.886	10.856	12.401	13.848	36.415	39.364	42.980	45.558
25	10.520	11.524	13.120	14.611	37.652	40.646	44.314	46.928
26	11.160	12.198	13.844	15.379	38.885	41.923	45.642	48.290
27	11.808	12.879	14.573	16.151	40.113	43.194	46.963	49.645
28	12.461	13.565	15.308	16.928	41.337	44.461	48.278	50.993
29	13.121	14.256	16.047	17.708	42.557	45.722	49.588	52.336
30	13.787	14.953	16.791	18.493	43.773	46.979	50.892	53.672

(Sumber : Soewarno, 1995)

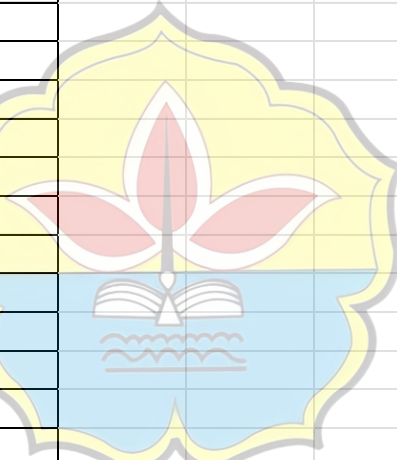


	2014	2015	2016	2017	2018	2019	2020	2021	2022	2023
Bulan	Curah Hujan (mm)									
Januari	92	158	104	129	135	167	152	192	292	191
Februari	26	111	195	191	220	291	86	48	173	158
Maret	101	178	70	196	307	151	232	357	305	286
April	338	304	234	298	212	386	205	329	127	171
Mei	109	134	80	158	290	161	220	231	197	335
Juni	102	35	76	233	87	160	95	145	148	197
Juli	195	73	127	55	31	21	198	186	227	150
Agustus	185	37	199	68	75	3	96	145	251	63
September	67	110	109	216	209	48	182	343	176	77
Oktober	101	36	130	230	138	195	368	236	478	26
November	228	345	209	340	421	95	268	313	269	227
Desember	238	298	140	273	237	148	324	247	156	210



Tanggal	RR
01-01-2023	
02-01-2023	
03-01-2023	4,5
04-01-2023	3,2
05-01-2023	0,3
06-01-2023	5
07-01-2023	1,7
08-01-2023	0
09-01-2023	44,4
10-01-2023	0
11-01-2023	23,6
12-01-2023	2,2
13-01-2023	0,4
14-01-2023	8888
15-01-2023	22,6
16-01-2023	0,6
17-01-2023	13,2
18-01-2023	13
19-01-2023	25,5
20-01-2023	0,8
21-01-2023	8888
22-01-2023	3
23-01-2023	7,5
24-01-2023	4,7
25-01-2023	0
26-01-2023	0,3
27-01-2023	8888
28-01-2023	1
29-01-2023	1,8
30-01-2023	8888
31-01-2023	11,7
	191

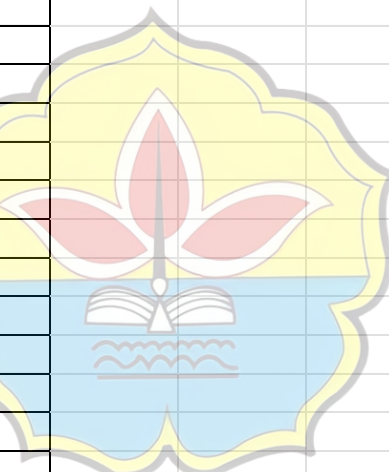
	ID WMO	: 96195			
	Nama Stasiun	: Stasiun Meteorologi Sultan Thaha			
	Lintang	: -1.63368			
	Bujur	: 103.64000			
	Elevasi	: 26			
<hr/>					
Tanggal	RR				
01-02-2023	3				
02-02-2023	8888				
03-02-2023	8888				
04-02-2023	0				
05-02-2023					
06-02-2023	13,4				
07-02-2023					
08-02-2023	0				
09-02-2023	8888				
10-02-2023					
11-02-2023					
12-02-2023	8888				
13-02-2023	5,4				
14-02-2023	0				
15-02-2023	11,3				
16-02-2023					
17-02-2023					
18-02-2023	0				
19-02-2023	4,5				
20-02-2023	0,4				
21-02-2023	0,8				
22-02-2023	38,7				
23-02-2023	41,3				
24-02-2023	1,4				
25-02-2023	9,6				
26-02-2023	8888				
27-02-2023	8888				
28-02-2023	28,3				
	158,1				
<hr/>					





ID WMO	: 96195			
Nama Stasiun	: Stasiun Meteorologi Sultan Thaha			
Lintang	: -1.63368			
Bujur	: 103.64000			
Elevasi	: 26			

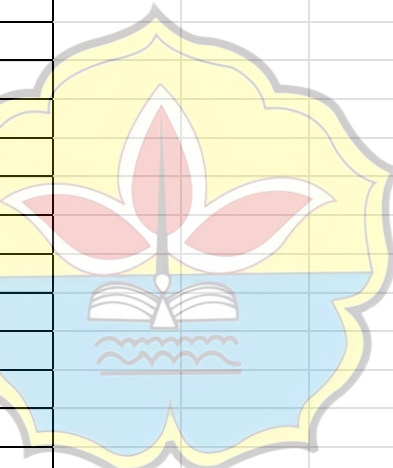
Tanggal	RR			
01-03-2023	11,5			
02-03-2023	8888			
03-03-2023	8888			
04-03-2023	0,8			
05-03-2023	8888			
06-03-2023	15			
07-03-2023				
08-03-2023	1,2			
09-03-2023	3			
10-03-2023	0			
11-03-2023	8888			
12-03-2023	64,1			
13-03-2023	0,6			
14-03-2023	0,5			
15-03-2023	7			
16-03-2023	3,6			
17-03-2023	1,2			
18-03-2023	8888			
19-03-2023	2,7			
20-03-2023	43,6			
21-03-2023	35,3			
22-03-2023				
23-03-2023	8,3			
24-03-2023	0			
25-03-2023	1,5			
26-03-2023	8888			
27-03-2023	31,3			
28-03-2023	0,1			
29-03-2023	0			
30-03-2023	0			
31-03-2023	50,5			
	281,5			





ID WMO	: 96195			
Nama Stasiun	: Stasiun Meteorologi Sultan Thaha			
Lintang	: -1.63368			
Bujur	: 103.64000			
Elevasi	: 26			

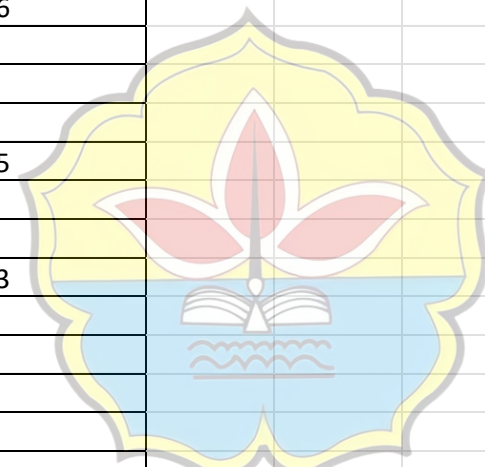
Tanggal	RR
01-04-2023	8888
02-04-2023	7,1
03-04-2023	0
04-04-2023	0,2
05-04-2023	3,7
06-04-2023	5,4
07-04-2023	
08-04-2023	32
09-04-2023	0,4
10-04-2023	0,6
11-04-2023	
12-04-2023	
13-04-2023	12,3
14-04-2023	0
15-04-2023	13,8
16-04-2023	9,6
17-04-2023	16,3
18-04-2023	0
19-04-2023	0,3
20-04-2023	15,8
21-04-2023	8,7
22-04-2023	2,4
23-04-2023	9,5
24-04-2023	0
25-04-2023	3,2
26-04-2023	8888
27-04-2023	7,6
28-04-2023	16,2
29-04-2023	8888
30-04-2023	6
	171,1





	ID WMO	: 96195		
	Nama Stasiun	: Stasiun Meteorologi Sultan Thaha		
	Lintang	: -1.63368		
	Bujur	: 103.64000		
	Elevasi	: 26		

Tanggal	RR
01-05-2023	42,4
02-05-2023	0,3
03-05-2023	0
04-05-2023	8,2
05-05-2023	21,6
06-05-2023	
07-05-2023	5,1
08-05-2023	3
09-05-2023	14,5
10-05-2023	0
11-05-2023	
12-05-2023	10,3
13-05-2023	0
14-05-2023	0
15-05-2023	0
16-05-2023	1,6
17-05-2023	
18-05-2023	0
19-05-2023	8888
20-05-2023	1,2
21-05-2023	19
22-05-2023	46,8
23-05-2023	68,7
24-05-2023	0
25-05-2023	2,5
26-05-2023	
27-05-2023	1,5
28-05-2023	2,2
29-05-2023	6,3
30-05-2023	54,5
31-05-2023	10,7
	334,8





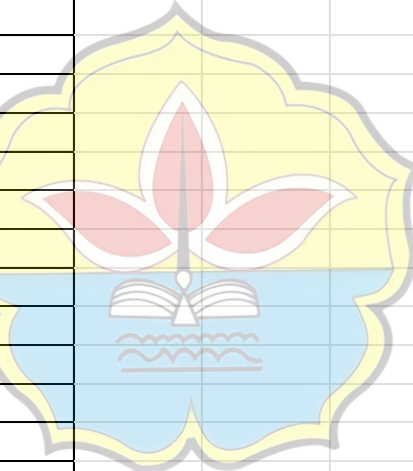
	ID WMO	: 96195		
	Nama Stasiun	: Stasiun Meteorologi Sultan Thaha		
	Lintang	: -1.63368		
	Bujur	: 103.64000		
	Elevasi	: 26		

Tanggal	RR
01-06-2023	
02-06-2023	23,3
03-06-2023	0
04-06-2023	0
05-06-2023	50,6
06-06-2023	
07-06-2023	8888
08-06-2023	0
09-06-2023	0
10-06-2023	8888
11-06-2023	
12-06-2023	0
13-06-2023	0
14-06-2023	4,7
15-06-2023	1,7
16-06-2023	2,3
17-06-2023	
18-06-2023	0
19-06-2023	
20-06-2023	91,2
21-06-2023	
22-06-2023	0
23-06-2023	0
24-06-2023	
25-06-2023	
26-06-2023	9,8
27-06-2023	9,7
28-06-2023	8888
29-06-2023	2,1
30-06-2023	3,2
	198,6

	ID WMO	: 96195			
	Nama Stasiun	: Stasiun Meteorologi Sultan Thaha			
	Lintang	: -1.63368			
	Bujur	: 103.64000			
	Elevasi	: 26			
Tanggal	RR				
01-07-2023	31,6				
02-07-2023	28,6				
03-07-2023	0				
04-07-2023	0				
05-07-2023					
06-07-2023	3,6				
07-07-2023	0				
08-07-2023					
09-07-2023	0				
10-07-2023	8888				
11-07-2023	0				
12-07-2023	0,8				
13-07-2023	0,8				
14-07-2023					
15-07-2023	4,3				
16-07-2023	0				
17-07-2023	0,4				
18-07-2023	31,3				
19-07-2023					
20-07-2023	2,8				
21-07-2023	8,5				
22-07-2023	0				
23-07-2023					
24-07-2023	36,9				
25-07-2023	0,4				
26-07-2023	0				
27-07-2023	0				
28-07-2023					
29-07-2023	0				
30-07-2023					
31-07-2023	0				
	150				

	ID WMO	: 96195			
	Nama Stasiun	: Stasiun Meteorologi Sultan Thaha			
	Lintang	: -1.63368			
	Bujur	: 103.64000			
	Elevasi	: 26			
Tanggal	RR				
01-08-2023	0				
02-08-2023					
03-08-2023	0				
04-08-2023	11,3				
05-08-2023	0,5				
06-08-2023	0				
07-08-2023					
08-08-2023	8888				
09-08-2023	8888				
10-08-2023	0				
11-08-2023					
12-08-2023					
13-08-2023	0				
14-08-2023					
15-08-2023	27,5				
16-08-2023	0				
17-08-2023	8888				
18-08-2023	0				
19-08-2023	0,3				
20-08-2023	4,6				
21-08-2023	9,2				
22-08-2023					
23-08-2023	0				
24-08-2023					
25-08-2023					
26-08-2023	0				
27-08-2023	2				
28-08-2023	7,4				
29-08-2023	0,6				
30-08-2023	8888				
31-08-2023	0				
	63,4				

	ID WMO	: 96195			
	Nama Stasiun	: Stasiun Meteorologi Sultan Thaha			
	Lintang	: -1.63368			
	Bujur	: 103.64000			
	Elevasi	: 26			
Tanggal	RR				
01-09-2023					
02-09-2023	0				
03-09-2023					
04-09-2023	0				
05-09-2023	0				
06-09-2023	0				
07-09-2023	0				
08-09-2023					
09-09-2023	0				
10-09-2023	6,9				
11-09-2023					
12-09-2023	0				
13-09-2023	8888				
14-09-2023	0				
15-09-2023	0				
16-09-2023					
17-09-2023	0				
18-09-2023	6,9				
19-09-2023	8888				
20-09-2023	6,6				
21-09-2023					
22-09-2023	57				
23-09-2023	0				
24-09-2023	0				
25-09-2023	0				
26-09-2023					
27-09-2023					
28-09-2023					
29-09-2023	0				
30-09-2023	0				
	77,4				



	ID WMO	: 96195			
	Nama Stasiun	: Stasiun Meteorologi Sultan Thaha			
	Lintang	: -1.63368			
	Bujur	: 103.64000			
	Elevasi	: 26			
Tanggal	RR				
01-10-2023	0				
02-10-2023	0				
03-10-2023	0				
04-10-2023	0				
05-10-2023	0				
06-10-2023					
07-10-2023	0				
08-10-2023	0				
09-10-2023	8888				
10-10-2023	2,5				
11-10-2023					
12-10-2023	0				
13-10-2023	8888				
14-10-2023					
15-10-2023	0				
16-10-2023	0				
17-10-2023	0				
18-10-2023					
19-10-2023	1,3				
20-10-2023	12,6				
21-10-2023	1,7				
22-10-2023	0				
23-10-2023					
24-10-2023					
25-10-2023	8888				
26-10-2023	7,1				
27-10-2023	0				
28-10-2023	0				
29-10-2023	0,4				
30-10-2023	0				
31-10-2023					
	25,6				

	ID WMO	: 96195			
	Nama Stasiun	: Stasiun Meteorologi Sultan Thaha			
	Lintang	: -1.63368			
	Bujur	: 103.64000			
	Elevasi	: 26			
Tanggal	RR				
01-11-2023	21,6				
02-11-2023	0,8				
03-11-2023	0				
04-11-2023					
05-11-2023	0				
06-11-2023	0				
07-11-2023	5,6				
08-11-2023					
09-11-2023	0				
10-11-2023					
11-11-2023	0				
12-11-2023	8888				
13-11-2023					
14-11-2023	8,9				
15-11-2023	18,2				
16-11-2023	0				
17-11-2023	37,7				
18-11-2023					
19-11-2023	21,9				
20-11-2023	0				
21-11-2023	0				
22-11-2023	8,5				
23-11-2023	0,4				
24-11-2023	0,3				
25-11-2023	101				
26-11-2023	0,7				
27-11-2023	0,8				
28-11-2023	0,3				
29-11-2023	0				
30-11-2023	8888				
	227,1				

	ID WMO	: 96195			
	Nama Stasiun	: Stasiun Meteorologi Sultan Thaha			
	Lintang	: -1.63368			
	Bujur	: 103.64000			
	Elevasi	: 26			
Tanggal	RR				
01-12-2023	26,9				
02-12-2023	22,2				
03-12-2023	11,8				
04-12-2023	4,1				
05-12-2023	0				
06-12-2023	6,6				
07-12-2023	3				
08-12-2023					
09-12-2023	0,7				
10-12-2023	18,8				
11-12-2023	5,6				
12-12-2023	3,5				
13-12-2023	0,9				
14-12-2023	0				
15-12-2023	0				
16-12-2023	0				
17-12-2023	0,3				
18-12-2023	4,6				
19-12-2023	0				
20-12-2023	11,1				
21-12-2023	1,4				
22-12-2023	23,8				
23-12-2023	15,1				
24-12-2023	0				
25-12-2023	43,4				
26-12-2023	0				
27-12-2023					
28-12-2023					
29-12-2023	8888				
30-12-2023	2,5				
31-12-2023	3,6				
	209,9				



UNIVERSITAS BATANGHARI JAMBI
FAKULTAS TEKNIK
PRODI TEKNIK SIPIL

JL. SLAMET RIYADI No. 1 KELURAHAN SUNGAI PUTRI KEC. DANAU SIPIN KOTA JAMBI

KARTU ASISTENSI TUGAS AKHIR

Nama	: CELLIN RAMADAN NISA
NPM	: 2000822201116
Judul Tugas Akhir	: Analisa Mitigasi Banjir menggunakan Aplikasi Early Warning System (EWS) Studi Kota Jambi

No	Tanggal	Instruksi/Catatan	Paraf
	1 / 7 2024	<ul style="list-style-type: none"> - Perbaiki latar belakang - jelaskan matnud dari Mitigasi Sub bab 	
	18 / 7 2024	<ul style="list-style-type: none"> - lengkapkan bagian alir Penelitian - tambah teori pada Bab 2. - lengkapkan 	
	31 / 7 2024	<ul style="list-style-type: none"> - Perbaiki Sesuai arahan. - tambahkan Foto lokasi tindakan. - lengkapkan. 	
	2 / 8 2024	<ul style="list-style-type: none"> - tambah teori sensor ultrasonik pada bab 2 - Perbaiki Penulisan. 	

Jambi, Juli 2024

Dosen Pembimbing I

IR. WARDONY, ST., MT.

Dosen Pembimbing II

Jr. H. WIRYA MURAD, MM



**UNIVERSITAS BATANGHARI JAMBI
FAKULTAS TEKNIK
PRODI TEKNIK SIPIL**

JL. SLAMET RIYADI No. 1 KELURAHAN SUNGAI PUTRI KEC. DANAU SIPIN KOTA JAMBI

KARTU ASISTENSI TUGAS AKHIR

Nama : CELLIN RAMADAN NISA
 NPM : 2000822201116
 Judul Tugas Akhir : Analisa Mitigasi Banjir menggunakan Aplikasi Early Warning System (EWS) Studi Kota Jambi

No	Tanggal	Intruksi/Catatan	Paraf
	6/3/24	<p>- Perbaiki tujuan ,masalah, manfaat, bataran.</p> <p>- Perbaiki tata tulis & tabel penelitian terdahulu.</p> <p>- sumber sumber di lengkap</p> <p>- lokasi & peta</p> <p>- alat penelitian disebarkan</p> <p>- waktu pelaksanaan</p> <p>- flow chart</p> <p>- Buat schedule penelitian</p>	

Jambi, 2024

Dosen Pembimbing I

Dosen Pembimbing II

Ir. WARI DONY, ST., MT.

Ir. H. WIRYA MURAD, MM



UNIVERSITAS BATANGHARI JAMBI
FAKULTAS TEKNIK
PRODI TEKNIK SIPIL

JL. SLAMET RIYADI No. 1 KELURAHAN SUNGAI PUTRI KEC. DANAU SIPIN KOTA JAMBI

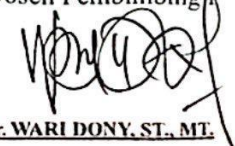
KARTU ASISTENSI TUGAS AKHIR

Nama : CELLIN RAMADAN NISA
 NPM : 2000822201116
 Judul Tugas Akhir : Analisa Mitigasi Banjir menggunakan Aplikasi Early Warning System (EWS) Studi Kota Jambi

No	Tanggal	Instruksi/Catatan	Paraf
	33/7/24	<ul style="list-style-type: none"> - Perbaiki figura & kesalahan - Tambahkan teori terkait penyelesaian banjir. - Melakukan analisis sumber daya. tabel pen. terdahulu - tambahkan teori bbl II - Lanjut DP 2. <p>Setuju untuk seminar Proposal</p>	
	7/8/24		 7/8/24

Jambi, Juli 2024

Dosen Pembimbing I


Ir. WARDONY, ST., MT.

Dosen Pembimbing II


Ir. H. WIRYA MURAD, MM



UNIVERSITAS BATANGHARI JAMBI

FAKULTAS TEKNIK

PRODI TEKNIK SIPIL

JL. SLAMET RYADI No. 1 KELURAHAN SUNGAI PUTRI KEC. DANAU SIPIN KOTA JAMBI

KARTU ASISTENSI TUGAS AKHIR

Nama : CELLIN RAMADAN NISA

NPM : 2000822201116

Judul Tugas Akhir : Analisa Mitigasi Banjir Menggunakan Aplikasi Early Warning System (EWS) Studi Kasus Kota Jambi

No	Tanggal	Intruksi/Catatan	Paraf
	15/8/24	Tambahan persenjataan alat di lapangan / lokasi gempa secara teknis.	
	22/8/24	DPI Acc persiapan untuk sempro.	

Jambi, 2024

Dosen Pembimbing I



Ir. WARDONY, ST, MT.

Dosen Pembimbing II



Ir. H. WIRYA MURAD, MM



**UNIVERSITAS BATANGHARI JAMBI
FAKULTAS TEKNIK
PRODI TEKNIK SIPIL**

JI. SLAMET RIYADI No. 1 KELURAHAN SUNGAI PUTRI KEC. DANAU SIPIN KOTA JAMBI

KARTU ASISTENSI TUGAS AKHIR

Nama	: CELLIN RAMADAN NISA
NPM	: 2000822201116
Judul Tugas Akhir	: Analisa Mitigasi Banjir menggunakan Aplikasi Early Warning System (EWS) Studi Kota Jambi

No	Tanggal	Intruksi/Catatan	Paraf
1.	10/10/29	<p>- folios berada <u>tajam</u>, <u>legkap</u> dari dan metodenya, bitar dituliskan pada penelitian terdahulu atau buku!</p> <p>- lengkapkan .</p>	
2.	16/10/29	<p>- tambahkan foto (interior <u>luar</u>, <u>luar c bangunan</u>, <u>kerusakan das & definisi yg.</u> .</p> <p>- lengkapkan bks <u>IV</u></p>	

Jambi, 2024

Dosen Pembimbing I

Dosen Pembimbing II

Ir. WARIDONY, ST., MT.

Ir. H. WIRYA MURAD, MM

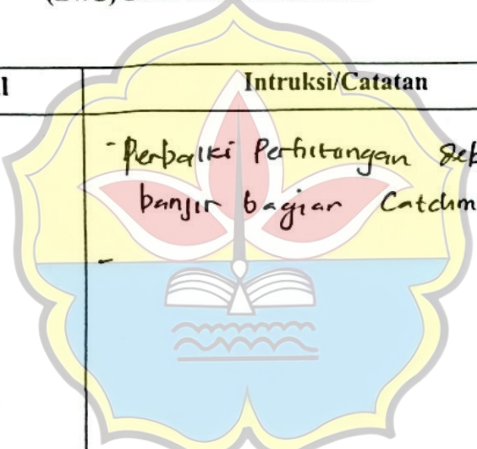


**UNIVERSITAS BATANGHARI JAMBI
FAKULTAS TEKNIK
PRODI TEKNIK SIPIL**

JI. SLAMET RIYADI No. 1 KELURAHAN SUNGAI PUTRI KEC. DANAU SIPIN KOTA JAMBI

KARTU ASISTENSI TUGAS AKHIR

Nama	: CELLIN RAMADAN NISA
NPM	: 2000822201116
Judul Tugas Akhir Warning System	: Analisis Debit Banjir dan Mitigasinya Menggunakan Aplikasi Early (EWS) Studi Kasus Kota Jambi

No	Tanggal	Intruksi/Catatan	Paraf
	13 / feb 2025	<p>- Perbaiki Perhitungan debit banjir bagian Catchment area</p> 	

Jambi, 2024

Dosen Pembimbing I

Dosen Pembimbing II

Ir. WARIDONY, ST, MT.

Ir. H. WIRYA MURAD, MM



**UNIVERSITAS BATANGHARI JAMBI
FAKULTAS TEKNIK
PRODI TEKNIK SIPIL**

JI. SLAMET RIYADI No. 1 KELURAHAN SUNGAI PUTRI KEC. DANAU SIPIN KOTA JAMBI

KARTU ASISTENSI TUGAS AKHIR

Nama : CELLIN RAMADAN NISA
 NPM : 2000822201116
 Judul Tugas Akhir : Analisis Debit Banjir dan Mitigasinya Menggunakan Aplikasi Early Warning System (EWS) Studi Kasus Kota Jambi

No	Tanggal	Intruksi/Catatan	Paraf
	17/1/25	<p>Cari Data penelitian aplikasi 2 tahun terakhir.</p>	
	23/1/25	<ul style="list-style-type: none"> - Cek Perhitungan debit banjir rencana Periode 10 Tahun - fokus pada tujuan Penelitian 	
	6/2/25	<ul style="list-style-type: none"> - Sertakan daftar hasil perbaikan bisa tidak untuk tugas ke 2. - Berbilang tujan & masalah. <p>✓ Kesiap-siaga mengikuti tujan Jambi, 2024</p>	

Dosen Pembimbing I

Dosen Pembimbing II

Ir. WARIDONY, ST, MT.

Ir. H. WIRYA MURAD, MM



UNIVERSITAS BATANGHARI JAMBI
FAKULTAS TEKNIK
PRODI TEKNIK SIPIL

JI. SLAMET RIYADI No. 1 KELURAHAN SUNGAI PUTRI KEC. DANAU SIPIN KOTA JAMBI

KARTU ASISTENSI TUGAS AKHIR

Nama : CELLIN RAMADAN NISA
 NPM : 2000822201116
 Judul Tugas Akhir : Analisa Mitigasi Banjir menggunakan Aplikasi Early Warning System (EWS) Studi Kota Jambi

No	Tanggal	Intruksi/Catatan	Paraf
	13/11/29	<p>- Buat contoh satu tiga dari tabel, mengurutkan sesuai urutan nilai angka pada tabel.</p> <p>- apa hubungan debit banjir dg debit saluran tambahan susahnya perbaikan tersebut.</p>	
	29/11/29	<p>- Tugasan dipenuhi oleh ketimbang pelajar.</p>	

Jambi, 2024

Dosen Pembimbing I

Dosen Pembimbing II

Ir. WARIDONY, ST., MT.

Ir. H. WIRYA MURAD, MM



**UNIVERSITAS BATANGHARI JAMBI
FAKULTAS TEKNIK
PRODI TEKNIK SIPIL**

JL. SLAMET RIYADI No. 1 KELURAHAN SUNGAI PUTRI KEC. DANAU SIPIN KOTA JAMBI

KARTU ASISTENSI TUGAS AKHIR

Nama : CELLIN RAMADAN NISA
 NPM : 2000822201116
 Judul Tugas Akhir : Analisis Debit Banjir dan Mitigasinya Menggunakan Aplikasi Early Warning System (EWS) Studi Kasus Kota Jambi

No	Tanggal	Intruksi/Catatan	Paraf
	27 / 11 2024	<ul style="list-style-type: none"> - data curah hujan minimal (5 - 10 tahun) untuk melihat pola Perubahan Yang terjadi - Perbaiki redaksional - lengkapkan Pertitungan 	
	8 / 12 2024	<ul style="list-style-type: none"> - tambahkan grafik pada setiap Analisa curah hujan bulanan - tambahkan Notasi - perbaiki tabel pada Pertitungan 	

Jambi, 2024

Dosen Pembimbing I

Dosen Pembimbing II

Irfan Dony, ST, MT.

Ir. H. WIRYA MURAD, MM



**UNIVERSITAS BATANGHARI JAMBI
FAKULTAS TEKNIK
PRODI TEKNIK SIPIL**

JI. SLAMET RIYADI No. 1 KELURAHAN SUNGAI PUTRI KEC. DANAU SIPIN KOTA JAMBI

KARTU ASISTENSI TUGAS AKHIR

Nama : CELLIN RAMADAN NISA
 NPM : 200082220116
 Judul Tugas Akhir : Analisis Debit Banjir dan Mitigasinya Menggunakan Aplikasi Early Warning System (EWS) Studi Kasus Kota Jambi

No	Tanggal	Intruksi/Catatan	Paraf
	12 / 10 24	<ul style="list-style-type: none"> - Tambahkan teori tentang mitigasi - Perbaiki Perhitungan dan Pedagogical. - tambahkan data Awliz. 	<i>L</i>
	16 / 10 24	<ul style="list-style-type: none"> - Perbaiki data Perhitungan - Tambahkan deskripsi data pada Das - Fokus cara kerja mitigasi ews 	<i>R</i>

Jambi, 2024

Dosen Pembimbing I

Dosen Pembimbing II

Ir. WARI DONY, ST, MT.

Ir. H. WIRYA MURAD, MM